



รายงานฉบับสมบูรณ์

ประชามติสัตว์หน้าดินขนาดใหญ่และวิธีเก็บตัวอย่างที่เหมาะสม
บริเวณต่อนล่างของทะเลสาบสงขลาตอนใน ภาคใต้ของประเทศไทย

คณะผู้วิจัย

สังกัด

สาวก อังสุภานิช

มหาวิทยาลัยสงขลานครินทร์

อำนาจ ศิริเพชร

มหาวิทยาลัยสงขลานครินทร์

มงคลรัตน์ เจริญพรพิพย์

มหาวิทยาลัยสงขลานครินทร์

๘๙๙

เลขที่	๕๒๗๒ ๘๖๘ . ๗๑๓
Bib Key	210655
	๖ ม.ย. ๒๕๔๖

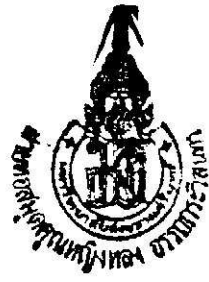
ผลงานวิจัยนี้ได้รับทุนสนับสนุนจากโครงการพัฒนาองค์ความรู้

และศึกษาโดยการจัดการทรัพยากรชีวภาพในไทย

ซึ่งร่วมจัดตั้งโดยสำนักงานกองทุนสนับสนุนการวิจัย

และศูนย์พันธุ์วิศวกรรมและเทคโนโลยีชีวภาพแห่งชาติ

รหัสโครงการ BRT 142016



Final Report

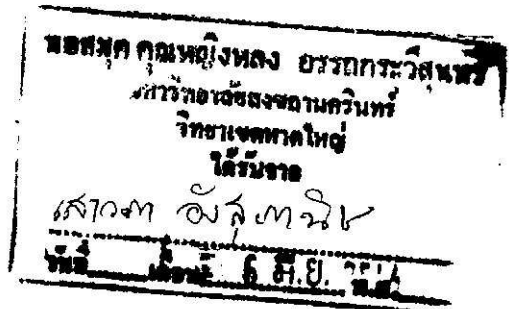
Macrobenthic Fauna Community and Optimum Sampling Protocol
for the Lower Part of Inner Songkhla Lake, Southern Thailand

Saowapa Angsupanich

Amnaj Siripech

Mongkolratana Charoenporntip

2000



This work was supported by TRF/BIOTEC Special Program for
Biodiversity Research and Training Grant BRT 142016



1



2



3



4



5



6

ทะเลสาบสงขลาตอนในและอุปกรณ์และกิจกรรมการวิจัย

1. บริเวณใกล้สถานี 8 ในถ้ำที่น้ำเป็นน้ำกร่อย
2. บริเวณสถานี 4 ในถ้ำที่น้ำเป็นน้ำจืด
- 3-4. อุปกรณ์
- 5-6. กิจกรรมการวิจัย

บทคัดย่อ

ในการศึกษาประชากรมสัตว์หน้าดินขนาดใหญ่บริเวณตอนล่างของทะเลสาบสงขลาตอนใน ตั้งแต่เดือนกุมภาพันธ์ 2541 ถึงกุมภาพันธ์ 2542 มีวัตถุประสงค์สองประการ คือ ศึกษาความหลากหลายและปริมาณของสัตว์หน้าดินและวิธีการเก็บตัวอย่างสัตว์หน้าดินที่เหมาะสมเพื่อการประเมินวัตถุประสงค์แรก พบว่ามีสัตว์หน้าดิน 8 ไฟลัม รวม 160 ชนิด (ไม่รวม polychaete larvae) ไฟลัมที่พบมากที่สุดและปริมาณ ได้แก่ Annelida (58 สปีชีส์) Crustacea (56 สปีชีส์) และ Mollusca (23 สปีชีส์) ส่วนอีก 5 ไฟลัมที่เหลือ ได้แก่ Nemertea (1 สปีชีส์), Platyhelminthes (1 สปีชีส์), Cnidaria (4 สปีชีส์), Hexapoda (7 สปีชีส์) และ Chordata (10 สปีชีส์) สัตว์หน้าดินที่พบมากและสม่ำเสมอ ได้แก่ polychaete (*Nephtys* sp., *Ceratonereis burmensis*, *Namalycastis indica*, *Minuspio* sp.1, *Pseudopolydora kempfi* และ *Prionospio cirrifera*) gastropod (สกุล *Maginella* sp.) pelecypod (สกุล *Macoma* sp.) amphipod (*Photis longicaudata*) และ tanaid (*Ctenapseudes* sp.)

ความแตกต่างของปริมาณของสัตว์หน้าดินระหว่างสถานี (926-10616 ตัว/ตร.ม.) มีมากกว่าระหว่างฤดูกาล (1508-6155 ตัว/ตร.ม.) โครงสร้างของประชากรมของสัตว์หน้าดิน ซึ่งวิเคราะห์แบบ non-metric MDS โดยใช้ Bray-Curtis similarity ที่ 60-63% สามารถแบ่งกลุ่มได้ 4 กลุ่ม ในเชิงสถานี และ 3 กลุ่ม ในเชิงเวลา จากการวิเคราะห์ความสัมพันธ์ระหว่างปัจจัยสิ่งแวดล้อมกับสัตว์หน้าดิน โดยหาค่าสหสัมพันธ์แบบ Harmonic rank correlation coefficient (ρ_w) พบว่าค่าสหสัมพันธ์สูงสุด 0.82 ในเชิงสถานี โดยมีปัจจัยร่วม คือ %sand, total nitrogen และ dissolved oxygen ส่วนในเชิงเวลา มีค่าสูงสุด 0.84 โดยมีปัจจัยร่วม คือ %clay, %silt, organic carbon, soil pH, depth, dissolved oxygen, total suspended solid และ temperature

ส่วนวิธีการเก็บตัวอย่างสัตว์หน้าดินที่เหมาะสม พบว่าจำนวนชั้นต่างกันมีโครงสร้างประชากรมสัตว์หน้าดินแตกต่างกันอย่างมีนัยสำคัญที่ 98.9% และเมื่อแสดงผลเป็น денโดกราฟ (dendrogram) ที่ 95% Bray-Curtis similarity พบว่า จำนวนชั้นที่เหมาะสม คือ 7 ชั้น ถ้าที่ 90% Bray-Curtis similarity เก็บตัวอย่างเพียง 3 ชั้น แต่ทำให้ได้ชนิดสัตว์ลดลง 26 สปีชีส์ ซึ่งผิดพลาดจากความเป็นจริงมาก นอกจากนี้ จำนวนชั้นที่เหมาะสมในการประเมินความหลากหลายของสัตว์หน้าดินขนาดใหญ่ในเชิงพื้นที่ และเชิงเวลา ที่ 95% Bray-Curtis similarity อยู่ระหว่าง 7-11 ชั้น และ 7-9 ชั้น ตามลำดับ โดยแตกต่างกันตามแหล่งที่อยู่อาศัยและฤดูกาล ส่วนจำนวนชั้นที่เหมาะสมในการประเมินความหลากหลายของสัตว์หน้าดินขนาดใหญ่ไฟลัม Annelida Crustacea Mollusca และไฟลัมอื่นๆ เท่ากับ 3, 7, 7 และ 11 ชั้น ตามลำดับ นอกจากนี้การใช้ตัวแปรของขนาดตา ≥ 1.0 และ ≥ 0.5 มิลลิเมตร แยกตัวอย่างสัตว์หน้าดินขนาดใหญ่ เปรียบเทียบโครงสร้างประชากรมสัตว์หน้าดินแต่ละกรีทเมนต์ด้วย Bray-Curtis similarity และวิเคราะห์ว่าเรียบหรือ (ANOSIM) พบว่า ไม่มีความแตกต่างอย่างมีนัยสำคัญที่ระดับ 95% แต่ค่าที่วัดได้จริงพบว่าการใช้ตัวแปรของขนาดตา ≥ 0.5 มิลลิเมตร เก็บตัวอย่างสัตว์ได้ 170 สปีชีส์ (รวม polychaete larvae) และจำนวนตัว 90194 ตัว แต่การใช้เพียงตัวแปรของขนาดตา 1.0 มิลลิเมตร ขนาดเดียวเก็บตัวอย่างสัตว์ได้ จำนวนสปีชีส์ลดลง 12 สปีชีส์ และจำนวนตัวลดลง 38264 ตัว ทำให้ประเมินความหลากหลาย และความซุกซุ่มมากกว่าความเป็นจริง

Abstract

The aims of the investigation of macrobenthic fauna at the lower part of the Inner Songkhla Lake from February 1998 to February 1999 were to determine the species diversity and abundance, and the optimum sampling protocol. A total of eight phyla and 160 species (excluding polychaete larvae) were identified, Annelida (58 species), Crustacea (56 species), Mollusca (23 species), Platyhelminthes (1 species), Cnidaria (4 species), Hexapoda (7 species) and Chordata (10 species). The most dominant species were polychaetes (*Ceratonereis burmensis*, *Namalycastis indica*, *Minospio* sp. 1, *Pseudopolydora kempfi* and *Prionospio cirrifera*), gastropod (*Maginella* sp.), pelecypod (*Macoma* sp.), amphipod (*Photis longicaudata*), and tanaid (*Ctenapseudes* sp.). The difference of number of total benthic fauna among stations (926-10616 ind. m⁻²) was larger than those among months (1508-6155 ind.m⁻²). A dendrogram of 9 stations, using group averages clustering from Bray-Curtis similarities on 4th root-transformed abundances showed four groups of stations at 60-63% similarity while a dendrogram of 6 months showed three groups of months. The results of linking biotic and 13 environmental variables (ρ_w) showed the best 3-variable combination of %sand, total nitrogen and dissolved oxygen ($\rho_w=0.82$) in temporal analysis and the best 8-variable combination of %clay, %silt, organic carbon, soil pH, depth, dissolved oxygen, total suspended solid and temperature ($\rho_w=0.84$) in time analysis.

For the optimum sampling protocol examination, significant differences were found among the macrobenthic communities of different replications at a significant level of 98.9%. Results showed at 95% Bray-Curtis similarity that 7 grabs are necessary for a representative sample. At 90% Bray-Curtis similarity, it was found that 3 grabs are necessary for a representative sample, but that 26 rare species were lost. It was also found that the number of replicates that are suitable for assessing the macrobenthic fauna in spatial and temporal analysis is between 7-11 replicates and 7-9 replicates, respectively. The differences in the number of replicates are related to the habitat and the season. The number of replicates that are suitable for assessing the macrobenthic fauna in the phyla Annelida, Crustacea, Mollusca and all other phyla were 3, 7, 7 and 11 replicates, respectively.

The comparison of macrobenthic fauna community structure between samples collected by the 2 mesh sizes was determined using Bray-Curtis similarity and analysis of similarity (ANOSIM). No significant differences were found among mesh samples at a significant level of 95%. But using the ≥ 0.5 mesh size, 170 species (including polychaete larvae) and 90194 individuals were found. No significant differences were found but using only the 1.0 mesh size 12 rare species and 38264 individuals were lost, thus any assessment of diversity and abundance of macrobenthic fauna base on such a sample will probably be low.

บทสรุปสำหรับผู้บริหาร

ทະเลสาบสงขลาตอนในประกอบด้วยแหล่งที่อยู่อาศัยหลายแบบ เช่น แหล่งพืชน้ำ ป่าชายเลน และมีพื้นที่เป็นโคลน กรวดและทราย นอกจากนี้มีกิจกรรมต่างๆ เช่น นาทุ่งตามชายฝั่ง และแหล่งเครื่องมือประมงประจำถิ่น การเลี้ยงปลาในกระชัง และมีบางพื้นที่ที่เป็นแหล่งชุมชนขนาดเล็ก เป็นต้น จากการศึกษาประชาคมสัตว์หน้าดินขนาดใหญ่บริเวณตอนล่างของทະเลสาบสงขลาตอนใน ตั้งแต่เดือนกุมภาพันธ์ 2541 ถึง กุมภาพันธ์ 2542 มีวัดถุประสงค์สองประการ คือ ศึกษาความหลากหลายและปริมาณของสัตว์หน้าดินและวิธีการเก็บตัวอย่างสัตว์หน้าดินที่เหมาะสมเพื่อการประเมินวัตถุประสงค์แรก พบสัตว์หน้าดินขนาดใหญ่จำนวน 8 ไฟล์ รวม 160 สปีชีส์ คือ Annelida (58 สปีชีส์) Crustacea (56 สปีชีส์) Mollusca (23 สปีชีส์) Platyhelminthes (1 สปีชีส์) Cnidaria (4 สปีชีส์) Hexapoda (7 สปีชีส์) Chordata (10 สปีชีส์) and Nemertea (1 สปีชีส์) และ จำนวนสปีชีส์เฉลี่ย 12 สปีชีส์ต่อ 0.05 ตารางเมตร จำนวนตัวเฉลี่ย 152 ตัวต่อ 0.05 ตารางเมตร จัดเป็นแหล่งน้ำที่มีความซุกชุมมาก แหล่งที่อยู่อาศัยซึ่งแตกต่างกันทำให้โครงสร้างประชาคมสัตว์หน้าดินขนาดใหญ่แตกต่างกันบริเวณที่เป็นกรวดทรายและพื้นที่ป่าชายเลนมีความหลากหลายมากที่สุด (105 สปีชีส์) จำนวนสปีชีส์น้อยที่สุดพบในบริเวณที่น้ำค่อนข้างจืด (65 สปีชีส์) นอกจากนี้ความแตกต่างของปริมาณของสัตว์หน้าดินระหว่างสถานี (926-10616 ตัว/ตร.ม.) มีมากกว่าระหว่างฤดูกาล (1508-6155 ตัว/ตร.ม.) โครงสร้างของประชาคมของสัตว์หน้าดิน ซึ่งวิเคราะห์แบบ non-metric MDS โดยใช้ Bray-Curtis similarity ที่ 60-63% สามารถแบ่งกลุ่มได้ 4 กลุ่ม ในเชิงสถานี และ 3 กลุ่ม ในเชิงเวลา จากการวิเคราะห์ความสัมพันธ์ระหว่างปัจจัยต่างๆ กับสัตว์หน้าดิน โดยหาค่าสหสัมพันธ์แบบ Harmonic rank correlation coefficient (ρ_w) พบว่าค่าสหสัมพันธ์สูงสุด 0.82 ในเชิงสถานี โดยมีปัจจัยร่วม คือ %sand, total nitrogen และ dissolved oxygen ส่วนในเชิงเวลา มีค่าสูงสุด 0.84 โดยมีปัจจัยร่วม คือ %clay, %silt, organic carbon, soil pH, depth, dissolved oxygen, total suspended solid และ temperature

วัตถุประสงค์ที่สอง จำนวนข้าวที่เหมาะสมเมื่อวิเคราะห์ด้วยความคล้ายคลึงแบบ Bray-Curtis ที่ระดับ 95% ใน การเก็บตัวอย่าง เพื่อศึกษาโครงสร้างประชาคมสัตว์หน้าดินขนาดใหญ่และไฟล์ ได้แก่ Annelida, Crustacea, Mollusca และไฟล์อื่น ๆ คือ 3, 7, 7 และ 11 ข้าว ตามลำดับ จำนวนข้าวที่เหมาะสมในการเก็บตัวอย่างโดยรวมทุกไฟล์ในบริเวณตอนล่างของทະเลสาบสงขลาตอนในคือ 7 ข้าว ส่วนการใช้ตะแกรงขนาดตา ≥ 1.0 และ ≥ 0.5 มิลลิเมตร แยกตัวอย่างสัตว์หน้าดินขนาดใหญ่โดยรวม พบว่าโครงสร้างประชาคมสัตว์หน้าดินขนาดใหญ่ซึ่งแยกตัวยวด้วยตะแกรงขนาดตา ≥ 1.0 และ ≥ 0.5 มิลลิเมตร ไม่มีความแตกต่างกันอย่างมีนัยสำคัญที่ระดับ 95% แต่ในความเป็นจริง การใช้ตะแกรงขนาดตา ≥ 0.5 มิลลิเมตร ทำให้พบจำนวนสปีชีส์เพิ่มขึ้น 12 สปีชีส์ เก็บตัวอย่างสัตว์หน้าดินซึ่งตัวเต็มวัยมีขนาดเล็กและสัตว์วัยอ่อนได้เพิ่มขึ้น 38264 ตัว ดังนั้นควรพิจารณาผลที่ได้จากการใช้สติ๊กประเมินข้อมูลทางชีวภาพในธรรมชาติให้รอบคอบก่อนนำไปใช้เพื่อการตัดสินใจ

แม้ว่าทະเลสาบสงขลาตอนใน เป็นแหล่งน้ำกร่อยที่น้ำมีการเปลี่ยนแปลงความเค็มช่วงกว้างมาก แต่พบว่ามีสัตว์น้ำหน้าดินที่สามารถแพร่กระจายได้อย่างกว้างขวางและมีปริมาณมากอยู่หลายชนิด/กลุ่ม แต่ละชนิด/กลุ่มมีปริมาณมากในช่วงเวลาที่ต่างกัน อาจกล่าวได้ว่าสัตว์น้ำหน้าดินเหล่านี้มีความสามารถในการปรับตัวได้ดี และเป็นแหล่งอาหารหลักของสัตว์น้ำอื่นๆ ที่มีขนาดใหญ่กว่าซึ่งอาจส่งผลให้มีสัตว์น้ำอื่นๆ หลากหลายด้วย ดังนั้นหากจะมีการจัดการทະเลสาบสงขลาเพื่อการใช้ประโยชน์หรือเพื่อให้คงอยู่ยั่งยืน ต้องพิจารณาและศึกษาให้รอบคอบ เพื่อให้เข้าใจการใช้ทรัพยากริมฝั่งน้ำที่สำคัญเหล่านี้ให้พอเหมาะสมและยั่งยืน

Summary

The Inner Songkhla Lake bottoms composed of various habitats: macrophyte communities, mangroves, clay, sand and gravel bottoms. In addition, there are several activities such as shrimp ponds, fish cages, permanent fishing gears and small households etc.

The aims of the investigation of macrobenthic fauna at the lower part of the Inner Songkhla Lake from February 1998 to February 1999 were to determine the species diversity, abundance and the optimum sampling protocol. A total of eight phyla and 160 species (excluding polychaete larvae) were identified. Annelida (58 species), Crustacea (56 species), Mollusca (23 species), Platyhelminthes (1 species), Cnidaria (4 species), Hexapoda (7 species), Chordata (10 species) and Nemertea (1 species). The average species number and density of macrobenthic fauna were 12/0.05 m² and 152 ind./m², highly productive. (The different habitats influence the diverse community structures of macrobenthic fauna.) Mangrove and gravel habitats gave the highest species diversity (105 species), while the lowest diversity (65 species) was in the low salinity areas. The difference of number of total benthic fauna among stations (926-10616 ind./m²) was larger than those among months (1508-6155 ind./m²). A dendrogram of 9 stations, using group averages clustering from Bray-Curtis similarities on 4th root-transformed abundances, showed four groups of stations at 60-63% similarity while a dendrogram of 6 months showed three groups of months. The results of linking biotic and 13 environmental variables (ρ_w) showed the best 3-variable combination of %sand, total nitrogen and dissolved oxygen ($\rho_w=0.82$) in temporal analysis and the best 8-variable combination of %clay, %silt, organic carbon, soil pH, depth, dissolved oxygen, total suspended solid and temperature ($\rho_w=0.84$) in time analysis.

For the optimum sampling protocol examination, results showed at 95% Bray-Curtis similarity that 7 grabs are necessary for a representative sample of all phyla. The number of replicates that are suitable for assessing the macrobenthic fauna in the phyla Annelida, Crustacea, Mollusca and all other phyla were 3, 7, 7 and 11 replicates, respectively. The comparison of macrobenthic fauna community structure between samples collected by the 2 mesh sizes was determined using Bray-Curtis similarity and analysis of similarity (ANOSIM). No significant differences were found among mesh samples at a significance level of 95%. No significant differences were found, but using only the 1.0 mesh size 12 rare species and 38264 individuals were missed, thus any assessment of diversity and abundance of macrobenthic fauna based on such a sample will probably be low.

Although the Inner Songkhla Lake is euryhaline, there were several species/taxa of macrobenthic fauna which were widely distributed with high density. Also, each species/taxa was dominant in different periods. The organisms may well adapt and be a major food source for other bigger aquatic animals. This lead to produce the diverse of them. Sustainable use management should be carefully considered and studied to understand how to achieve optimal, sustainable use of this important resource.

สารบัญ

บทนำ.....	1
ลักษณะพื้นที่ศึกษา	1
กิจกรรมต่าง ๆ ในทะเลสาบและรอบทะเลสาบ	1
สภาพทางน้ำ酇ของทะเลสาบสองข่าย	3
วัตถุประสงค์	5
อุปกรณ์และวิธีการศึกษา.....	5
พื้นที่ศึกษา	6
การศึกษาความหลากหลายและความซุกชุมของสัตว์น้ำดิน	6
การศึกษาคุณภาพน้ำ	6
การศึกษาคุณภาพดินตะกอน	7
การศึกษาจำนวนห้ามของการเก็บตัวอย่าง	7
การศึกษาการใช้ตะแกรงแยกตัวอย่างสัตว์ออกจากดินตะกอน	7
การวิเคราะห์โครงสร้างของประชาชัมสัตว์น้ำดิน	7
ผลการศึกษา.....	10
ตอนที่ 1 ปัจจัยทางกายภาพและเคมีของสิ่งแวดล้อมและสัตว์น้ำดิน.....	10
ปัจจัยทางกายภาพและเคมีของสิ่งแวดล้อม.....	10
ความหลากหลายและการแพร่กระจายของสัตว์น้ำดินขนาดใหญ่	17
ความอุดมสมบูรณ์ของประชาชัมสัตว์น้ำดิน (จำนวนชนิด บริมาณความซุกชุมและมวลชีวภาพ) ..	25
โครงสร้างประชาชัมสัตว์น้ำดิน	29
ความสัมพันธ์ระหว่างปัจจัยสิ่งแวดล้อมกับสัตว์น้ำดิน	33
ดัชนีความหลากหลายของสัตว์น้ำดิน	39
ตอนที่ 2 วิธีการเก็บตัวอย่างสัตว์น้ำดินที่เหมาะสม	41
จำนวนห้ามของการเก็บตัวอย่าง	41
ขนาดตะแกรงแยกตัวอย่าง	51
วิจารณ์ผลการศึกษา	59
คุณภาพน้ำ	59
คุณภาพดินตะกอน	59
ความหลากหลายและการแพร่กระจาย	60
ความอุดมสมบูรณ์ของสัตว์น้ำดิน	62
โครงสร้างประชาชัมสัตว์น้ำดินและความสัมพันธ์กับปัจจัยสิ่งแวดล้อม	62
จำนวนห้ามของการเก็บตัวอย่าง	64
ขนาดตะแกรงแยกตัวอย่าง	68
สรุป.....	70
เอกสารอ้างอิง	71

สารบัญตาราง

ตารางที่ 1	โครงสร้างตระกอนดินระหว่างเดือนเมษายน 2541-กุมภาพันธ์ 2542	16
ตารางที่ 2	สัตว์หน้าดินขนาดใหญ่บริเวณตอนล่างของทะเลสาบสงขลาตอนนี้ ตั้งแต่เดือนเมษายน 2541-กุมภาพันธ์ 2542	20
ตารางที่ 3	จำนวนสปีชีส์และจำนวนสัตว์หน้าดินต่อหน่วยพื้นที่ 0.05 ตารางเมตร หรือ 1 grab ในแต่ละสถานีและเดือนและจำนวนสปีชีส์ทั้งหมดของสัตว์หน้าดินแต่ละไฟลัม.....	25
ตารางที่ 4	เปอร์เซ็นต์ความชุกชุม(ตัว/ตร.ม.) ระหว่างสัตว์หน้าดินกลุ่มหลักในเชิงพื้นที่	29
ตารางที่ 5	เปอร์เซ็นต์ความชุกชุม (ตัว/ตร.ม.) ระหว่างสัตว์หน้าดินกลุ่มหลักตั้งแต่เดือน เมษายน 2541-กุมภาพันธ์ 2542	29
ตารางที่ 6	ค่า Harmonic rank correlation coefficient (weighted spearman) ระหว่างปัจจัยสิ่งแวดล้อม กับประชากรมสัตว์หน้าดินรวมตามสถานีต่างๆ	34
ตารางที่ 7	ค่า Harmonic rank correlation coefficient (weighted spearman) ระหว่างปัจจัยสิ่งแวดล้อม กับประชากรม Polychaeta ตามสถานีในทะเลหลวงตอนล่าง	34
ตารางที่ 8	ค่า Harmonic rank correlation coefficient (weighted spearman) ระหว่างปัจจัยสิ่งแวดล้อม กับประชากรม Crustacea ตามสถานีในทะเลหลวงตอนล่าง	35
ตารางที่ 9	ค่า Harmonic rank correlation coefficient (weighted spearman) ระหว่างปัจจัยสิ่งแวดล้อม กับประชากรม Mollusca ตามสถานีในทะเลหลวงตอนล่าง	35
ตารางที่ 10	ค่า Harmonic rank correlation coefficient (weighted spearman) ระหว่างปัจจัยสิ่งแวดล้อม กับประชากรมสัตว์หน้าดินกลุ่มอื่นๆ ตามสถานีในทะเลหลวงตอนล่าง	36
ตารางที่ 11	ค่า Harmonic rank correlation coefficient (weighted spearman) ระหว่างปัจจัยสิ่งแวดล้อม กับประชากรมสัตว์หน้าดินตามถุดูกาล	36
ตารางที่ 12	ค่า Harmonic rank correlation coefficient (weighted spearman) ระหว่างปัจจัยสิ่งแวดล้อม กับประชากรม Polychaeta ตามถุดูกาล	37
ตารางที่ 13	ค่า Harmonic rank correlation coefficient (weighted spearman) ระหว่างปัจจัยสิ่งแวดล้อม กับประชากรม Crustacea ตามถุดูกาล	37
ตารางที่ 14	ค่า Harmonic rank correlation coefficient (weighted spearman) ระหว่างปัจจัยสิ่งแวดล้อม กับประชากรม Mollusca ตามถุดูกาล	38
ตารางที่ 15	ค่า Harmonic rank correlation coefficient (weighted spearman) ระหว่างปัจจัยสิ่งแวดล้อม กับประชากรมสัตว์หน้าดินในกลุ่มอื่นๆ ตามถุดูกาล	38
ตารางที่ 16	ค่า univariate indices ของประชากรมสัตว์หน้าดินขนาดใหญ่ซึ่งเก็บตัวอย่างด้วยจำนวนช้ำ 1, 3, 5, 7, 9 และ 11 ช้ำ (n=6) ในแต่ละสถานี	40
ตารางที่ 17	ค่า univariate indices ของประชากรมสัตว์หน้าดินขนาดใหญ่ซึ่งเก็บตัวอย่างด้วยจำนวนช้ำ 1, 3, 5, 7, 9 และ 11 ช้ำ (n=9) ในแต่ละเดือน	43
ตารางที่ 18	ค่า univariate indices ของประชากรมสัตว์หน้าดินขนาดใหญ่ซึ่งเก็บตัวอย่างด้วยจำนวนช้ำ 1, 3, 5, 7, 9 และ 11 ช้ำ (n=54) โดยรวม	44
ตารางที่ 19	จำนวนช้ำที่เหมาะสมที่ความคล้ายคลึงแบบ Bray-Curtis 95 และ 90% ในแต่ละสถานี	47
ตารางที่ 20	จำนวนช้ำที่เหมาะสมที่ความคล้ายคลึงแบบ Bray-Curtis 95 และ 90% ในแต่ละเดือน	49

ตารางที่ 21 จำนวนช้าที่เหมาะสมที่ความคล้ายคลึงแบบ Bray-Curtis 95 และ 90% โดยรวม.....	51
ตารางที่ 22 ค่า univariate indices ของประชาคมสัตว์หน้าดินขนาดใหญ่ซึ่งแยกด้วยตะแกรง ขนาดตา ≥ 1.0 และ ≥ 0.5 มิลลิเมตร ($n=6$) ในแต่ละสถานี.....	52
ตารางที่ 23 ค่า univariate indices ของประชาคอมสัตว์หน้าดินขนาดใหญ่ซึ่งแยกด้วยตะแกรง ขนาดตา ≥ 1.0 และ ≥ 0.5 มิลลิเมตร ($n=9$) ในแต่ละเดือน.....	53
ตารางที่ 24 ค่า univariate indices ของประชาคอมสัตว์หน้าดินขนาดใหญ่ซึ่งแยกด้วยตะแกรง ขนาดตา ≥ 1.0 และ ≥ 0.5 มิลลิเมตร ($n=54$) โดยรวม.....	54
ตารางที่ 25 ข้อมูลเบื้องต้นแต่ละเดือนที่เป็นประโยชน์ต่อการปล่อยพันธุ์สัตว์น้ำ	64
ตารางที่ 26 ข้อมูลเบื้องต้นในแต่ละสถานีที่เป็นประโยชน์ต่อการปล่อยพันธุ์สัตว์น้ำ.....	64
ตารางที่ 27 จำนวนช้าที่เหมาะสมเมื่อจำแนกตามถึงระดับสปีชีส์และใช้ตะแกรง ขนาดตา ≥ 0.5 มิลลิเมตร.....	65
ตารางที่ 28 เปอร์เซ็นต์จำนวนตัวของสัตว์หน้าดินขนาดใหญ่ซึ่งเก็บตัวอย่างด้วยตะแกรง ขนาดตา ≥ 1.0 และ ≥ 0.5 มิลลิเมตร	69

สารบัญรูป

รูปที่ 1	สถานีเก็บตัวอย่างบริเวณต่อนล่างของทะเลสาบส่งคลาตอนใน.....	2
รูปที่ 2	คุณภาพน้ำทางกายภาพและเคมีบริเวณต่อนล่างของทะเลสาบส่งคลาตอนในตั้งแต่เดือนเมษายน 2541-กุมภาพันธ์ 2542	11
รูปที่ 3	อินทรีย์วัตถุและอินทรีย์คาร์บอนบริเวณต่อนล่างของทะเลสาบส่งคลาตอนในตั้งแต่เดือนเมษายน 2541-กุมภาพันธ์ 2542	13
รูปที่ 4	ปริมาณไนโตรเจนทั้งหมดในดินตะกอนบริเวณต่อนล่างของทะเลสาบส่งคลาตอนในตั้งแต่เดือนเมษายน 2541-กุมภาพันธ์ 2542	14
รูปที่ 5	พื้นที่ของตะกอนดินบริเวณต่อนล่างของทะเลสาบส่งคลาตอนในตั้งแต่เดือนเมษายน 2541-กุมภาพันธ์ 2542	15
รูปที่ 6	ความชุกชุมเฉลี่ย (ตัว/ตร.ม.) และมวลชีวภาพ (กรัม/ตร.ม.) ของสัตว์หน้าดินในแต่ละสถานี.....	27
รูปที่ 7	ความชุกชุมเฉลี่ย (ตัว/ตร.ม.) และมวลชีวภาพ (กรัม/ตร.ม.) ของสัตว์หน้าดินในแต่ละเดือน.....	28
รูปที่ 8	เดนໂຕrogram การจัดกลุ่มโครงสร้างประชาคมสัตว์หน้าดินไฟลัมต่างๆ ในเชิงพื้นที่ ($n=54$) และ MDS ของโครงสร้างประชาคอมสัตว์หน้าดินรวมทุกไฟลัม.....	31
รูปที่ 9	เดนໂຕrogram การจัดกลุ่มโครงสร้างประชาคอมสัตว์หน้าดินในเชิงเวลา ($n=54$) และ MDS ของโครงสร้างประชาคอมสัตว์หน้าดินรวมทุกไฟลัม.....	32
รูปที่ 10	เดนໂຕrogram ของการจัดกลุ่มประชาคอมสัตว์หน้าดินขนาดใหญ่ ซึ่งเก็บตัวอย่างด้วยจำนวนช้า 1, 3, 5, 7, 9, และ 11 ช้า ($n=6$) ในแต่ละสถานี	46
รูปที่ 11	เดนໂຕrogram ของการจัดกลุ่มประชาคอมสัตว์หน้าดินขนาดใหญ่ ซึ่งเก็บตัวอย่างด้วยจำนวนช้า 1, 3, 5, 7, 9, และ 11 ช้า ($n=9$) ในแต่ละเดือน	48
รูปที่ 12	เดนໂຕrogram ของการจัดกลุ่มประชาคอมสัตว์หน้าดินขนาดใหญ่ ซึ่งเก็บตัวอย่างด้วยจำนวนช้า 1, 3, 5, 7, 9, และ 11 ช้า ($n=54$) โดยรวมและไฟลัมต่างๆ และ MDS ของการจัดกลุ่มโดยรวม	50
รูปที่ 13	เดนໂຕrogram ของการจัดกลุ่มประชาคอมสัตว์หน้าดินขนาดใหญ่ ซึ่งแยกด้วยตะแกรงขนาดตา ≥ 1.0 และ ≥ 0.5 มิลลิเมตร ($n=6$) ในแต่ละสถานี	56
รูปที่ 14	เดนໂຕrogram ของการจัดกลุ่มประชาคอมสัตว์หน้าดินขนาดใหญ่ ซึ่งแยกด้วยตะแกรงขนาดตา ≥ 1.0 และ ≥ 0.5 มิลลิเมตร ($n=9$) ในแต่ละเดือน	57
รูปที่ 15	เดนໂຕrogram ของการจัดกลุ่มประชาคอมสัตว์หน้าดินขนาดใหญ่ ซึ่งแยกด้วยตะแกรงขนาดตา ≥ 1.0 และ ≥ 0.5 มิลลิเมตร ($n=54$) โดยรวม	58
รูปที่ 16	ปริมาณน้ำฝนรายเดือน (มม.) บริเวณทะเลหลวงตอนล่าง จังหวัดสระบุรีระหว่างปี 2538-2542	60
รูปที่ 17	กลุ่มของจำนวนช้ามากที่มีโครงสร้างประชาคอมสัตว์หน้าดินขนาดใหญ่ คล้ายคลึงแบบ Bray-Curtis 95 %	67

บทนำ

ลักษณะพื้นที่ศึกษา

ทะเลสาบสูงคลองอยู่ที่ $7^{\circ} 08' - 7^{\circ} 50'$ เหนือ และ $100^{\circ} 07' - 100^{\circ} 37'$ ตะวันออก (รูปที่ 1) เป็นทะเลสาบที่ใหญ่ที่สุดในประเทศไทย มีพื้นที่ 117 แห่ง (Lake Biwa Research Institute and International Lake Environment Committee 1989) ตามความเป็นจริงแล้ว ทะเลสาบสูงคลองไม่ควรเรียกว่า "Lake" เพราะน้ำในทะเลสาบที่มีทางติดต่อ กับทะเลทางเดียว น้ำในลากูนได้รับอิทธิพลจากแม่น้ำ น้ำฝน หรือน้ำหลักจากบนบก น้ำขึ้น น้ำลงไม่รุนแรง ทะเลสาบสูงคลองมีพื้นที่ส่วนใหญ่อยู่ในจังหวัดสงขลาและพัทลุง เป็นทะเลสาบที่อยู่ในประเทศไทย มีพื้นที่ 986.8 ตารางกิโลเมตร (98680 เฮกตาร์) และสามารถแบ่งออกได้เป็น 3 ส่วน (Brohmanonda and Sungkasem 1982) ดังนี้

-**ทะเลน้อย (Thale Noi)** เป็นส่วนของทะเลสาบตอนบนสุด อยู่ในเขตจังหวัดพัทลุง มีพื้นที่ประมาณ 28 ตารางกิโลเมตร (2800 เฮกตาร์) มีระดับทางโดยรอบประมาณ 20 กิโลเมตร เป็นทะเลสาบน้ำจืด และมีพื้นที่ชั่นอยู่ทั่วไปเป็นจำนวนมาก

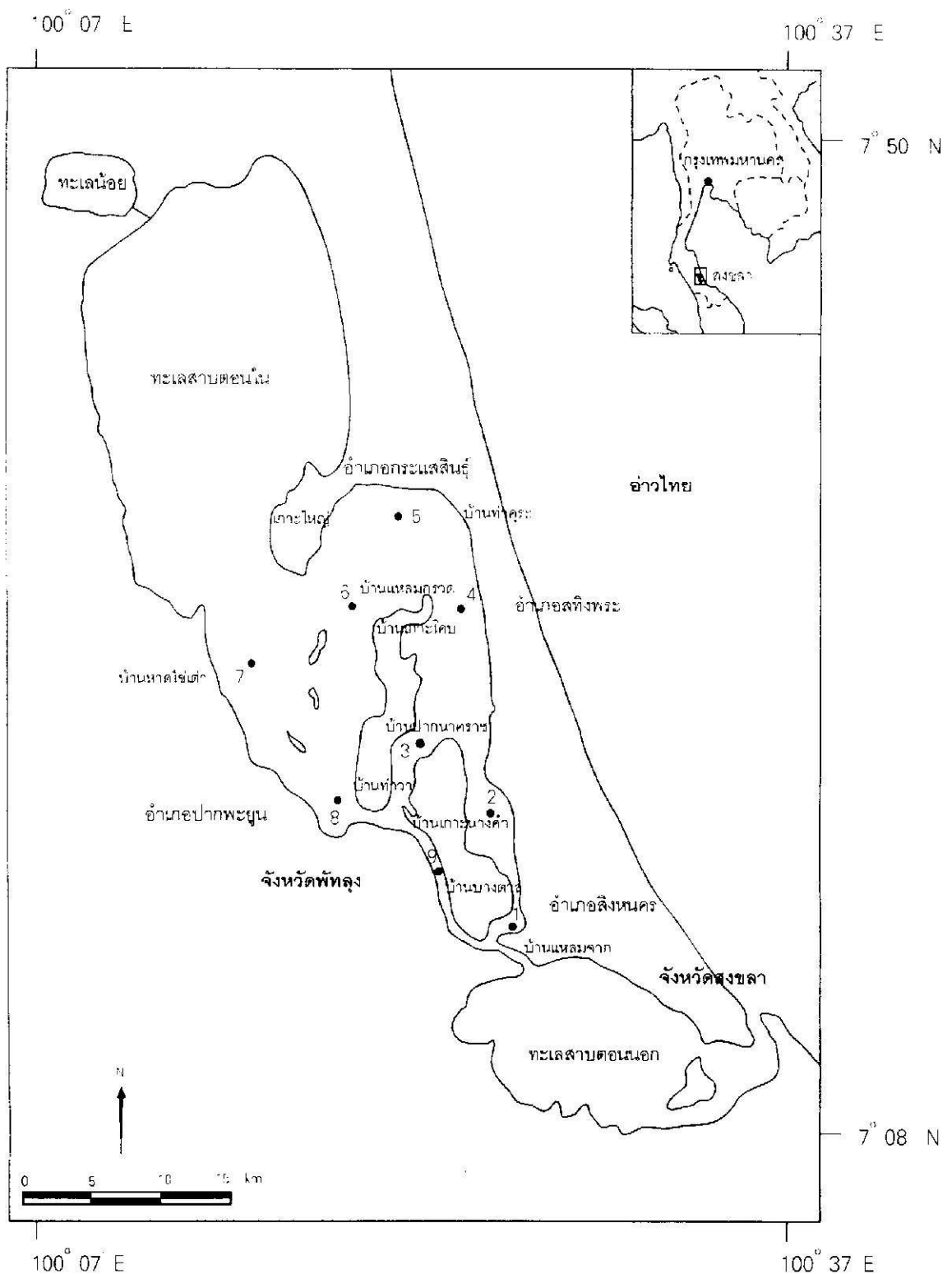
-**ทะเลสาบทอนใน (Inner Lake)** หรือตอนกลาง (Middle Lake) หรือทะเลหลวง (Thale Luang) เป็นส่วนที่อยู่ติดกับทะเลน้อยลงมาทางใต้ มีทางติดต่อกันโดยคลองสัน ๆ ส่วนนี้มีพื้นที่ 782.8 ตารางกิโลเมตร (78280 เฮกตาร์) มีระดับทางโดยรอบประมาณ 200 กิโลเมตร ชายฝั่งด้านตะวันตกอยู่ในเขตจังหวัดพัทลุงและชายฝั่งด้านตะวันออกอยู่ในเขตจังหวัดสงขลา ทะเลหลวงตอนบนมีความเค็มของน้ำเป็นน้ำจืดถึงน้ำกร่อย ชั่นอยู่กับดักกาล มีพื้นที่ป่าคลุมอยู่ทั่วไป และมีมากเป็นพิเศษบริเวณริมฝั่ง ส่วนในตอนล่างของทะเลสาบสูงคลองตอนใน (ประมาณ 390 ตร.กม) ซึ่งติดต่อกับทะเลสาบทอนนอก โดยคลองป่ากรอ มีทั้งพืชน้ำและป่าชายเลนเป็นบริเวณแคบ ๆ มีกิจกรรมการเลี้ยงปลากระเพงขาวอยู่ประมาณ 10,000 ตัน ความเค็มของน้ำในตอนล่างของทะเลสาบสูงคลองตอนในเป็นน้ำกร่อยอยู่ในช่วง 0-22 พีโตรสูตร (อังกฤษชื่อ Churnaphran และคณานะ 2539)

ทะเลสาบทอนนอก หรือทะเลสาบ (Outer Lake หรือ Thale Sap) เป็นส่วนล่างสุดของทะเลสาบสูงคลอง มีทางเปิดสู่ทะเล จึงเป็นทะเลสาบน้ำกร่อยจนถึงน้ำเค็มชั่นอยู่กับดักกาล มีพื้นที่ประมาณ 176 ตารางกิโลเมตร (17600 เฮกตาร์) อยู่ในเขตจังหวัดสงขลา จึงมักเรียกทะเลสาบในส่วนนี้ว่า ทะเลสาบสงขลา (Thale Sap Songkhla) ริมฝั่งทะเลสาบสูงคลองทางทิศใต้มีป่าชายเลนชั่นประปาอยู่ เช่น ในคลองพะวง แต่นับวันมีพื้นที่ป่าลดลงเรื่อย ๆ

กิจกรรมต่าง ๆ ในทะเลสาบและรอบทะเลสาบ

กิจกรรมรอบทะเลสาบส่วนใหญ่เกี่ยวข้องกับการปลูกผักทั้งจากโรงงานอุตสาหกรรมและบ้านเรือนลงสู่ทะเลสาบ การใช้ที่ดินเพื่อสิ่งก่อสร้าง การเพาะปลูก และการทำนาถั่ว (เสาวภา อังสุวนิช 2539)

กิจกรรมในทะเลสาบได้แก่ การจับสัตว์น้ำชั่งเกี่ยวข้องกับการวางแผนเชิงเมืองในทะเลสาบและการเพาะเลี้ยงปลาในกระชัง



รูปที่ 1 สถานีเก็บตัวอย่างบริเวณตอนล่างของทะเลสาบสงขลาตอนใน

นอกจากนี้มีกิจกรรมอื่น ๆ ที่อาจเกิดขึ้นในอนาคต ได้แก่ การสร้างคันกันน้ำเค็มในทะเลสาบตอนกลาง (ระหว่างทะเลสาบท่อนล่างกับทะเลสาบตอนบน) เพื่อเป็นแหล่งน้ำจืด การสร้างสะพานคุ้นช้ามไปทางขอยและการสร้างอุโมงค์ใต้น้ำที่ปากทะเลสาบ เป็นต้น กิจกรรมต่าง ๆ เหล่านี้มีผลกระทบต่อระบบนิเวศในทะเลสาบสงขลาทั้งสิ้น ดังนั้น กิจกรรมใด ๆ ที่อยู่ระหว่างการพิจารณาดังกรณีการสร้างคันกันน้ำเค็มระหว่างทะเลสาบทอนกลางกับตอนนอกจำเป็นต้องศึกษาข้อมูลพื้นฐานด้านต่าง ๆ ก่อนการตัดสินใจ ในปี 2537 จึงได้มีการศึกษาเบื้องต้นเพื่อประเมินผลกระทบต่อระบบนิเวศในทะเลสาบสงขลาเนื่องจากการสร้างคันกันน้ำเค็ม (เริงซัย และคณะ 2538 ข้อมูลไม่ตีพิมพ์เผยแพร่) แม้ข้อมูลในการศึกษาครั้งนั้นเป็นเพียงข้อมูลเบื้องต้น แต่แสดงแนวโน้มว่าให้ช่วยลดการสร้างคันกันน้ำเค็ม หรือถ้าสร้างจะต้องมีเงื่อนไขหลายประการ จากการศึกษาเบื้องต้นในครั้งนั้นพบว่าสัตว์หน้าดินในช่วงที่ศึกษามีความซุกชุมมาก และคาดว่ามีนกบางสัตหัญญาที่สูดต่อโข้ออาหารในทะเลสาบทอนกลาง ซึ่งเป็นทะเลสาบน้ำดื่น Lindegaard (1994) กล่าวว่าในทะเลสาบน้ำลึกมีแพลงก์ตอนสัตว์มาก ในขณะที่ทะเลสาบน้ำดื่นมีผลผลิตทุติยภูมิที่เป็นสัตว์หน้าดินมาก โดยเฉพาะสัตว์หน้าดินที่ฝังตัวในดิน (infauna) เป็นแหล่งอาหารที่สำคัญที่สุดสำหรับปลาหน้าดิน (FAO 1960) ซึ่งพบมากและหลากหลายชนิดในทะเลสาบทอนกลาง ได้แก่ ปลาหน้าดินชนิดต่าง ๆ และ ถุงก้ามภาร

อังสูนี ชูณหปราช และคณะ (2539) พบร้า ตอนล่างของทะเลสาบสงขลาตอนในตั้งแต่เกาะใหญ่และแหลมจองถานลงมาจนถึงคลองหลวงไกลีป่ากรอ มีหมู่บ้านที่ทำการประมงหนาแน่นถึง 72 หมู่บ้าน โดยมีครัวเรือนประมาณ 3346 ครัวเรือน ซึ่งมากกว่าในทะเลสาบท่อนบนที่มีหมู่บ้านประมาณเพียง 30 หมู่บ้าน โดยมีครัวเรือนประมาณ 1233 ครัวเรือน ผลการประเมินสัตว์น้ำที่จับขึ้นมาจากการตั้งน้ำหนักในทะเลสาบสงขลาตอนในมีปริมาณมากถึง 4460600 กิโลกรัมต่อปี สัตว์น้ำที่จับได้มีราคาสูงกว่าที่จับได้ในทะเลสาบท่อนบนซึ่งส่วนใหญ่เป็นสัตว์น้ำจิด ยิงกว้านันดอนล่างของทะเลสาบสงขลาตอนในยังเป็นแหล่งทรัพยากรักษาภาระด้วย

สภาพทางนิเวศของทะเลสาบสงขลา

ระบบนิเวศโดยรอบทะเลสาบสงขลาประกอบด้วย 4 ระบบอยู่คือ ระบบนิเวศป่าชายเลนซึ่งเหลืออยู่เล็กน้อย ที่ลุ่มรีนและ พื้นที่พรุ และพื้นที่การเกษตร ปัจจุบันมีแนวโน้มว่ามีการใช้พื้นที่ดังกล่าวในการพัฒนา กิจกรรมต่าง ๆ มากขึ้น ไม่ว่าจะเป็นการเพาะปลูกสัตว์น้ำ การผลิตทางการเกษตร การพัฒนาอุตสาหกรรม และการพัฒนาชุมชน ทำให้เกิดการขัดแย้งในการใช้ทรัพยากร เนื่องจากไม่มีการจัดการให้เป็นระบบอย่างมีประสิทธิภาพ และไม่ตั้งบันพื้นฐานของการใช้ทรัพยากรอย่างยั่งยืน ส่งผลให้ระบบนิเวศในทะเลสาบสงขลาต้องได้รับผลกระทบจากกิจกรรมต่าง ๆ นั้นในที่สุด (Kamnairat et al. 1994)

งานวิจัยทางด้านสิ่งแวดล้อมในทะเลสาบสงขลา ได้มีรายงานมาบ้างแล้วในอดีต (Limpadananai 1977) แต่ว่างานวิจัยดังกล่าวไม่ได้นเน้นความหลากหลายทางชีวภาพ จนกระทั่งปี 2537 ได้มีการวิจัยเกี่ยวกับผลวัด ของระบบนิเวศในทะเลสาบสงขลาตอนนอก ซึ่งเป็นการวิจัยที่ละเอียดมากขึ้น และได้รายงานภาวะทางนิเวศวิทยา หลาบต้าน ดังนี้

อุณหภูมิ, ความเค็ม และพื้นที่ละลายน้ำมีลักษณะการแปรผันตามฤดูกาล มีค่าต่ำในฤดูฝนและสูงในฤดูแล้ง ปริมาณออกซิเจนที่ละลายน้ำมีลักษณะการแปรผันตามฤดูกาลเช่นกัน แต่มีลักษณะตรงกันข้าม คือมีค่าสูงในฤดูฝนและค่าต่ำในฤดูแล้ง การแปรผันตามฤดูกาลของสารอาหารในต่อเรน ฟอสฟอรัส และซิลิเกดไม่ชัดเจน แต่มีแนวโน้มสูงขึ้นในฤดูฝนและต่ำลงในฤดูแล้ง การกระจายของเกลือในบริเวณทะเลสาบมีความเค็มเพิ่มขึ้นเมื่ออากาศร้อน ความเค็มของน้ำระดับผิวและระดับล่างไม่แตกต่างกัน แสดงว่า�้ำในทะเลสาบมีการผสมผสานกันดี (Rakkheaw 1994)

องค์ประกอบของดินตะกอนเป็นปัจจัยสำคัญต่อชนิดของหญ้าทะเลและสัตว์น้ำดินขนาดใหญ่ ปริมาณอินทรีย์ต่ำในแต่ละบริเวณของทะเลสาบมีความแตกต่างกันอย่างเห็นได้ชัด พบร่องรอยป่ากลองใน ตะเกา ป่ากลองพะวง มีอินทรีย์ต่ำมาก รองลงมาเป็นคลองหลางซึ่งเป็นคลองที่ติดต่อกับทะเลสาบท่อนใน ตะกอนที่ถูกนำผ้ามาตามลำคลองต่าง ๆ และจากทะเลสาบทอนในน่านจะมีส่วนทำให้อัตราการตื้นเขียนของทะเลสาบ เป็นไปอย่างรวดเร็ว แล้วนั่นหมายที่เป็นองค์ประกอบของดินตะกอนส่วนใหญ่เป็นแร่ในกลุ่ม kaolin และ quartz ซึ่งมีคักษภาพในการดูดซับธาตุอาหารและสารพิษต่าง ๆ น้อย ระดับธาตุอาหารในดินตะกอนที่เป็นประโยชน์ต่อแพลงก์ตอนพืชซึ่งอยู่ในเกณฑ์ต่ำด้วย และเมื่อเปรียบเทียบกับข้อมูลเมื่อประมาณ 15 ปีที่แล้ว พบร่วมกับการเปลี่ยนแปลงอย่างมีนัยสำคัญ (Chatupote et al. 1994) นอกจากนี้ปริมาณเหล็ก แมงกานีส ทองแดง สังกะสีและโครเมียมในดินตะกอน พบร่องรอยอยู่ในระดับต่ำกว่าปริมาณที่ถือเป็นอันตรายต่อสิ่งแวดล้อม (Maneepong 1996)

Sirimontaporn และคณะ (1995) รายงานว่าทะเลสาบส่งคลาดอนนอกพบ สัตว์น้ำมี 43 วงศ์ รวม 111 ชนิด โดยเป็นปลา 97 ชนิด หุ้งทะเล 9 ชนิด บุญทะเล 3 ชนิด และอังติกาแทน 2 ชนิด ปลาที่พบมากและบ่อยคือวงศ์ Leiognathidae รองลงมาคือ Clupeidae และ Atherinidae หุ้งทะเลที่พบมากที่สุดคือ *Metapenaeus ensis* สัตว์น้ำส่วนใหญ่เป็นสัตว์น้ำกร่อย (50 ชนิด) และน้ำเค็ม (47 ชนิด) ส่วนน้ำจืดมีน้อย (13 ชนิด) โดยพบว่าสัตว์น้ำดินมีความสัมพันธ์กับปลาหน้าดินบางวงศ์ (Gobiidae, $r^2=0.84$ และ Sillaginidae, $r^2=0.93$) และกุ้ง (Penaeidae, $r^2=0.89$)

สัตว์น้ำดินในทะเลสาบส่งคลาดอนนอกมีความอุดมสมบูรณ์ (Angsupanich and Kuwabara 1995) โดยมีกลุ่มหลัก 3 กลุ่ม ได้แก่ Polychaeta 44 ชนิด Mollusca 28 ชนิด และ Crustacea 44 ชนิด Polychaeta ที่เป็นชนิดเด่นได้แก่ *Diopatra neapolitana* และ *Heteromastus filiformis* Crustacea ที่เป็นชนิดเด่นได้แก่ *Apseudes* และ Amphipoda ส่วนพาก Mollusca ไม่มีชนิดใดเด่นเป็นพิเศษ โครงสร้างของสังคมสัตว์น้ำดินในทะเลสาบส่งคลาดอนนอกในเชิงพื้นที่มีความแตกต่างมากน้อยไม่เท่ากัน ทำให้สามารถแบ่งพื้นที่ทะเลสาบออกเป็น 2 บริเวณใหญ่ ๆ ตามโครงสร้างขององค์ประกอบสัตว์น้ำดินที่พบอยู่

นอกจากเป็นแหล่งอาหารที่สำคัญของสัตว์น้ำอื่น ๆ แล้ว มีการใช้สัตว์น้ำดินหลายชนิดเป็นเครื่องชี้บวกภาวะมลพิษจากสารอินทรีย์ (Indicator of organic pollutant) เพราะเป็นสัตว์ที่สามารถเคลื่อนที่ด้วยตัวเองอย่างอิสระ การเลือกอยู่หรือหนีไป ขึ้นกับความทนได้ของสัตว์เอง ได้มีการศึกษา กันอย่างแพร่หลายในประเทศในเขตหนาวและเขตตอนอุ่นใน 2-3 ทศวรรษที่ผ่านมา (Rosenberg 1976, 1997; Wu 1982; Hawthorne and Dauer 1983; Maurer et al. 1988; Brown et al. 1987; van Nes and Smit 1993; Henderson and Ross 1995) โดยเฉพาะประเทศไทยที่พัฒนาแล้ว และมีประสบการณ์การเก็บภาวะมลพิษเนื่องจากการพัฒนาทางอุตสาหกรรมการศึกษาในลักษณะนี้จึงไม่ใช่เรื่องใหม่หรับที่นี่ แต่ในประเทศไทยซึ่งเป็นประเทศในเขตต้อน การศึกษาในลักษณะนี้ยังมีน้อยมากและไม่ต่อเนื่อง ทั้ง ๆ ที่การพัฒนาทางอุตสาหกรรมเกิดขึ้นอย่างรวดเร็ว จึงต้องมีการศึกษาตามหลังประเทศพัฒนาแล้วหลาย ๆ ประเทศ แต่ถึงจะตามหลังบ้างก็ยังไม่สายเกินไปที่จะศึกษาเพื่อเป็นองค์ความรู้หนึ่งที่จะนำไปประกอบการศึกษาโดยการจัดการทรัพยากริชภาพในประเทศไทย

จากการศึกษาเกี่ยวกับสัตว์น้ำดินในทะเลสาบส่งคลาด (สวัสดิ์ วงศ์สมนึก และสมชาติ สุขวงศ์ 2512, 2513; ไฟโจน์ สิริมนตาการณ์ และคณะ 2520, 2521; ไฟโจน์ สิริมนตาการณ์ และคณะ ใช้ยาคำ 2525; ยงยุทธ ปรีดาลัมพะบุตร และ นิคม ละอองศิริวงศ์ 2540) เป็นการรายงานเฉพาะความอุดมสมบูรณ์ แต่ไม่มีการรายงานต้านความหลากหลายถึงระดับสกุลและสปีชีส์ ยังกว้างน้ำวิธีการเก็บสัตว์น้ำดินจำนวนข้า ขนาดพื้นที่ grab ขนาดตัวของตะแกรงร่อน เพื่อศึกษาในเชิงปริมาณและความหลากหลายในเขตต้อนยังไม่มีการรายงานการศึกษาโดยการวิเคราะห์ข้อมูลทางสถิติอย่างเป็นทางการ เท่าที่ผ่านมาเป็นการดำเนินการตามสะดวก งบประมาณ และ/หรืออ้างอิงวิธีการตามผลการศึกษาในประเทศไทยในเขตหนาวและตอนอุ่น ซึ่งเป็นการเก็บตัวอย่างสัตว์น้ำดิน

เพื่อศึกษาในเชิงปริมาณ โดยใช้ grab ที่มีพื้นที่ 0.1 ตารางเมตร จำนวนอย่างน้อย 5 ชั้ต่อสถานี (McIntyre *et al.* 1984) Ferraro และคณะ (1994) ได้ศึกษาการเก็บตัวอย่างสัตว์หน้าดินในเขตมลพิชัยในอ่าวแคลิฟอร์เนียตอนใต้พบว่าการเก็บตัวอย่างด้วย grab ที่มีพื้นที่น้อยกว่า 0.1 ตารางเมตร จำนวน 5 ชั้ต่อสถานี และรอนด้วยคะแนนขนาดตา 0.1 มิลลิเมตร มีประสิทธิภาพเพียงพอที่จะตรวจวัดการเปลี่ยนแปลงโครงสร้างของประชาชุมสัตว์หน้าดินได้ อย่างไรก็ตาม เป็นไปไม่ได้ที่จะใช้วิธีการศึกษาปริมาณสัตว์หน้าดินขนาดใหญ่โดยวิธีเดียวกันทั่วโลก (Gray 1981 quoted in Ferraro *et al.* 1989) เนื่องจากไม่มีวิธีการใดเพียงวิธีการเดียวที่จะใช้ได้เหมาะสมกับทุกสถานที่ ทุกแหล่งที่อยู่ และทุกวรรุปะสงค์ (Ferraro *et al.* 1989)

ดังนั้นการวิจัยในครั้นนี้ต้องการรู้ข้อมูลพื้นฐานด้านสัตว์หน้าดินกลุ่มสำคัญในตอนล่างของทะเลสาบสงขลาตอนใน ซึ่งเป็นบริเวณที่มีสัตว์น้ำอุดมสมบูรณ์ ดังแต่บ้านแหลมย่าง (เกาะใหญ่) ถึงบ้านปากขาด (ปากรอ) พร้อมทั้งค้นคว้าวิธีการศึกษาสัตว์หน้าดินในเชิงคุณภาพและปริมาณบริเวณชายฝั่งในเขตตอนที่เหมาะสมที่สุดและประยุตค่าใช้จ่าย เพื่อลดปัญหาการขาดข้อมูลพื้นฐานที่แท้จริงในขณะที่ยังไม่มีการพัฒนาการใช้พื้นที่เพื่อการอุดมทรัพย์และสิ่งก่อสร้างอื่นๆ โดยเฉพาะการสร้างคันกันน้ำเคิมในทะเลสาบตอนกลางดังกล่าวซึ่งยังไม่มีมติที่แนนอนในขณะนี้ นับเป็นเรื่องเร่งด่วนที่ต้องศึกษาอย่างจริงจัง

วัตถุประสงค์

- (1) ศึกษาความหลากหลายและความซูกชุมของสัตว์หน้าดินบริเวณตอนล่างของทะเลสาบสงขลาตอนใน
- (2) ต้องการรู้สัตว์หน้าดินสปีชีส์เด่นและ/หรือสปีชีส์ประจำถิ่นบริเวณตอนล่างของทะเลสาบสงขลาตอนใน
- (3) ศึกษาการแปรผันตามฤดูกาลของจำนวนสปีชีส์สัตว์หน้าดินดังกล่าวในรอบปี
- (4) ศึกษาลักษณะทางกายภาพและทางเคมีบางประการของน้ำและดินตะกอนเพื่อหาความสัมพันธ์กับสัตว์หน้าดิน
- (5) ศึกษาวิธีเก็บตัวอย่างที่เหมาะสมที่สุดเพื่อศึกษาปริมาณสัตว์หน้าดินขนาดใหญ่ในทะเลสาบสงขลา
- (6) เก็บรวบรวมตัวอย่างเพื่อเป็นพิพิธภัณฑ์ตัวอย่างสัตว์หน้าดินขนาดใหญ่ที่พับในทะเลสาบสงขลาตอนในในอนาคต

อุปกรณ์และวิธีการศึกษา

เนื่องจากทะเลสาบสงขลา มีลักษณะเป็นลากูนที่มีรูปร่างยาวเยื้องเข้าไปในแผ่นดินใหญ่ ทำให้ความเค็มของน้ำมีการเปลี่ยนแปลงโดยขึ้นกับระยะเวลา การแพร่กระจายทางความเค็มของน้ำมีแนวโน้มว่าลดลงตามระยะเวลาที่ห่างจากปากทะเลสาบ (ยงยุทธ ปรีดาลัมพะบุตร และนิคม ละอองศิริวงศ์ 2540) ใน การศึกษาสัตว์หน้าดินขนาดใหญ่ในเชิงคุณภาพ (qualitative) และปริมาณ (quantitative) ในเวลาเดียวกัน จึงต้องเก็บตัวอย่างให้ครอบคลุมแหล่งที่อยู่อาศัย (habitat) ของสัตว์หน้าดินทุกรูปแบบ และมีจำนวนชั้มากในแต่ละแหล่งที่อยู่อาศัย (McIntyre *et al.* 1984) ในการสำรวจเบื้องต้น (กุมภาพันธ์ 2541) จึงกำหนดสถานีเก็บตัวอย่าง 9 สถานี ในพื้นที่ตอนล่างของทะเลสาบสงขลาตอนในประมาณ 390 ตารางกิโลเมตร (รวมพื้นที่เกาะต่าง ๆ) โดยพิจารณาจากระยะเวลาของแต่ละสถานี รูปแบบของพื้นที่ไม่เท่ากันอยู่และข้อมูลคุณภาพน้ำทุติดภูมิ ที่มีผู้รายงานบ้างแล้ว (ยงยุทธ ปรีดาลัมพะบุตร และนิคม ละอองศิริวงศ์ 2540) หลังจากได้เก็บตัวอย่างและวิเคราะห์คุณภาพน้ำดินตะกอน และสัตว์หน้าดินในเบื้องต้นทั้ง 9 สถานี แล้วพบว่า มีบางสถานีที่คล้ายกันมาก และมีบางพื้นที่ที่ต้องกำหนดเป็นสถานีใหม่แทนสถานีเดิมที่คล้ายกัน โดยกำหนดเป็นสถานี 6 และ 9 เมื่อนเดิม แต่อยู่คนละที่กันและเป็นแหล่งที่อยู่ที่มีลักษณะเฉพาะ ตั้งรายละเอียดข้างล่าง (รูปที่ 1)

พื้นที่ศึกษา

(ตั้งแต่เดือนเมษายน 2541-กุมภาพันธ์ 2542)

สถานี 1 ออยไกลัชชันวัดแหลมจากและนาถุ่นบริเวณริมฝั่ง มีเครื่องมือประมง (ไชนัง) จำนวนไม่น้อย

สถานี 2 บันฝั่งมีชุมชนประมาณ 10 หลังคาเรือน มีเครื่องมือประมงหนาแน่น มีภูเขาพังกลาง

สถานี 3 ตั้งอยู่ระหว่างภูเขา มีนาถุ่นบริเวณริมฝั่ง

สถานี 4 เป็นพื้นที่ที่มีจุดและพืชน้ำอื่นๆ และมีเครื่องมือประมง

สถานี 5 บันฝั่งมีชุมชนอาศัยอยู่ประมาณ มีต้นลำพู นาถุ่นบริเวณริมฝั่ง

สถานี 6 เป็นบริเวณที่พื้นท้องน้ำเป็นลานกรดปนโคลน ซึ่งชาวประมงนิยมไปเก็บหอยสองฝ่าย (*Brachidontes arcuatulus*) ซึ่งมีเป็นจำนวนมากในบางฤดูกาล เพื่อนำไปเป็นอาหารสัตว์

สถานี 7 ใกล้ชายฝั่งมีชุมชนประมาณ 30 หลังคาเรือน มีป่าไม้เขียวไม่พบพืชน้ำ

สถานี 8 ใกล้ปากพยูน มีเครื่องมือประมงจำนวนมาก ชุมชนหนาแน่น มีภูเขาพังกลาง

สถานี 9 มีลำพู โงกเงาก เหงอกปลาหม้อ ปรง สำมะง่า ชื่นประประราย มีพืชน้ำพ汪กจูด สาหร่ายทาง
กระอก และพุงชะโได

การศึกษาความหลากหลายและความซุกซุมของสัตว์น้ำดิน

ทำการเก็บตัวอย่างสัตว์น้ำดินในแต่ละสถานี โดยดัดแปลงวิธีการของ McIntyre *et al.* (1984) และ Ferraro *et al.* (1994) และข้อเสนอแนะของ Green (1980) ซึ่งกล่าวว่าการเก็บตัวอย่างหลายชั้นโดยแต่ละชั้นมีขนาดเล็ก จะได้เปรียบในเรื่องการวิเคราะห์ทางสถิติในทางปฏิบัติ (ในบางกรณี) และครอบคลุมตัวแทนของพื้นที่ได้มากกว่าการเก็บตัวอย่างด้วยจำนวนชั้นน้อยโดย แต่ละชั้นมีขนาดใหญ่ถ้าประชากรที่ถูกเก็บมีการแพร่กระจายต่อเนื่องกันได้ ดังนั้นในการศึกษาครั้งนี้จะเก็บตัวอย่างสัตว์น้ำดินด้วย Tamura's grab (พื้นที่ 0.05 ตร.ม.) สถานีละ 11 grab แล้วร่อนตัวยังตะแกรงร่องที่มีขนาดตา 5, 1 และ 0.5 มิลลิเมตร เก็บรักษาตัวอย่างสัตว์น้ำดินกันที่ ด้วยน้ำยา rose bengal formalin เป็นกลาง 10% เก็บตัวอย่างทุกสองเดือนในหนึ่งรอบปี ฤดูกาล (รวม 7 ครั้ง เป็นจำนวน 693 ตัวอย่าง) โดยจะเป็นการสำรวจเบื้องต้น 1 ครั้ง ก่อนเพื่อกำหนดสถานีเก็บตัวอย่างให้ครอบคลุมพื้นที่ต่างๆมากที่สุด จำแนกตัวอย่างสัตว์น้ำดินถึงระดับสกุลหรือสปีชีส์ (ยกเว้นบางกรณี เช่น ไฟลัม Mollusca อาจจำแนกได้เพียงระดับวงศ์หรือสกุล) โดยทำการชำแหละ (dissect) ส่วนต่าง ๆ ของสัตว์น้ำดิน แล้วศึกษาเปรียบเทียบกับเอกสารอ้างอิงต่าง ๆ ทั่วโลก ศึกษาความซุกซุมโดยการนับจำนวนตัวและชั้นน้ำหนักเปรียบ

การศึกษาคุณภาพน้ำ

การศึกษาคุณภาพน้ำจะทำการวัดทุกครั้งที่เก็บตัวอย่างสัตว์น้ำดิน โดยเก็บสถานีละ 3 ชั้น

ศึกษาคุณภาพน้ำทางกายภาพ : วัดความลึกด้วยลูกดิ่ง วัดอุณหภูมิด้วยเทอร์โมมิเตอร์ และวัดความขุ่นโดยชั้นหน้าหนักแห้งของตะกอนแขวนลอยในน้ำ

ศึกษาคุณภาพน้ำทางเคมี : วัดความเค็มด้วยชาลิโนมิเตอร์ (SAL-50) วัดพีเอชด้วยพีเอชมิเตอร์ และวัดออกซิเจนที่ละลายน้ำด้วยออกซิเจนมิเตอร์ (YSI Model 57) การวัดคุณภาพน้ำทางเคมีวัดเฉพาะที่ความลึกหนึ่งผิวดินไม่เกิน 50 เซนติเมตร

การศึกษาคุณภาพดินตะกอน

การศึกษาคุณภาพดินตะกอนทำการวัดทุกครั้งที่เก็บตัวอย่างสัตว์หน้าดิน โดยเก็บสถานีละ 3 ชุด

ศึกษาคุณภาพดินตะกอนทางกายภาพ : วัดขนาดอนุภาคเม็ดดินโดยวิธี Hydrometer method (Gee and Bauder 1986)

ศึกษาคุณภาพดินตะกอนทางเคมี : วัดปริมาณสารบ่อนอินทรีย์และไนโตรเจโนอินทรีย์ (Nelson and Sommer 1982)

อนึ่งความก์ในการออกเก็บตัวอย่างได้ดำเนินการทุก 2 เดือน (กุมภาพันธ์, เมษายน, มิถุนายน, สิงหาคม, ตุลาคม, ธันวาคม) เดือนต่าง ๆ เหล่านี้ได้ยึดข้อมูลของกองภูมิอากาศ (2532) ซึ่งระบุว่าฤดูร้อนอยู่ในช่วงกลางเดือนกุมภาพันธ์ถึงกลางเดือนพฤษภาคม ฤดูฝนตกน้อย (มรสุมตะวันตกเฉียงใต้) ช่วงกลางเดือนพฤษภาคมถึงกลางเดือนตุลาคม และฤดูฝนตกหนัก (มรสุมตะวันออกเฉียงเหนือ) ช่วงกลางเดือนตุลาคมถึงกลางเดือนกุมภาพันธ์

การศึกษาจำนวนช้ำของการเก็บตัวอย่าง

กำหนดให้ทริกเมนต์ คือ จำนวนช้ำละสม (Elliott 1977; Gamito and Raffaelli 1992) ของการสุ่มเก็บตัวอย่างสัตว์หน้าดินขนาดใหญ่ จำนวน 6 ทริกเมนต์ ดังนี้

ทริกเมนต์ที่ 1 เก็บตัวอย่างสัตว์หน้าดินจำนวน 1 ช้ำ

ทริกเมนต์ที่ 2 เก็บตัวอย่างสัตว์หน้าดินจำนวน 3 ช้ำ

ทริกเมนต์ที่ 3 เก็บตัวอย่างสัตว์หน้าดินจำนวน 5 ช้ำ

ทริกเมนต์ที่ 4 เก็บตัวอย่างสัตว์หน้าดินจำนวน 7 ช้ำ

ทริกเมนต์ที่ 5 เก็บตัวอย่างสัตว์หน้าดินจำนวน 9 ช้ำ

ทริกเมนต์ที่ 6 เก็บตัวอย่างสัตว์หน้าดินจำนวน 11 ช้ำ

การศึกษาการใช้ตะแกรงแยกตัวอย่างสัตว์ออกจากดินตะกอน

เปรียบเทียบชนิดและจำนวนสัตว์หน้าดินขนาดใหญ่จากวิธีการแยกตัวอย่างสัตว์ 2 ทริกเมนต์ คือ

ทริกเมนต์ที่ 1. ตัวอย่างสัตว์หน้าดินที่แยกด้วยตะแกรงขนาดตา ≥ 1.0 มิลลิเมตร

ทริกเมนต์ที่ 2. ตัวอย่างสัตว์หน้าดินที่แยกด้วยตะแกรงขนาดตา ≥ 0.5 มิลลิเมตร

การวิเคราะห์โครงสร้างของประชาชุมสัตว์หน้าดิน

ข้อมูลที่ใช้ในการวิเคราะห์ประกอบด้วย จำนวนสปีชีส์ และจำนวนตัวในแต่ละสปีชีส์ จำแนกชนิดสัตว์หน้าดินขนาดใหญ่ถึงระดับสกุล (genus) หรือสปีชีส์ (species) เพื่อที่จะสามารถเป็นไปได้ โดยใช้เอกสารอนุกรมวิธาน และนำตัวอย่างสัตว์หน้าดินขนาดใหญ่ไปตรวจความถูกต้องในการจำแนกสปีชีส์กับผู้เชี่ยวชาญที่สถาบันต่างๆ ดังนี้ ตรวจความถูกต้องในการจำแนกสปีชีส์สู่กล่าวย่ออ่อนที่ศูนย์พัฒนาประมงทะเลอ่าวไทย ตอนบน (คุณรังสรรค์ ชาญาณุ) และที่สถาบันวิจัยการเพาะเลี้ยงสัตว์น้ำชายฝั่ง จังหวัดสงขลา (คุณไพร่อน ลิริมนาการณ์) ตรวจความถูกต้องในการจำแนกพวก Polychaeta ที่ Natural History Museum, England (Dr. Gordon Paterson and Dr. Alexander Ian Muir), Plymouth Marine Laboratory, England (Dr. Mike

Kendall), Coastal Museum of Natural History, Yokohama National University (Dr. Eijiro Nishi) และ Department of Ecologia Acuatica, Mexico (Dr. Sergio I. Salazar-Vallejo) ส่วนพวง Tanaidacea ตรวจสอบความถูกต้องในการจำแนกสปีชีส์ที่ Museum National D'Histoire Naturelle "Grigore Antipa", Romania (Dr. Modest Gutu) และ Natural History Museum, England (Dr. Roger Bamber) ตัวอย่างสัตว์พวง Amphipoda ได้รับการตรวจสอบความถูกต้องที่ Department of Zoology and Animal Ecology, Ireland (Dr. Alan A. Myers) และ Australian Museum (Dr. Jim Lowry) นำข้อมูลที่ได้มารวบรวมโดยวิธีทางสถิติ ด้วยโปรแกรม PRIMER ดังนี้

วิเคราะห์ข้อมูลโครงสร้างประชาคมสัตว์หน้าดินขนาดใหญ่ เพื่อหาทรีฟเมนต์ (จำนวนช้ำและขนาดค่าเดรง) ที่เหมาะสมในแต่ละสถานี แต่ละเดือน และโดยรวม (ทั้งสถานีและเวลารวมกัน) ในการวิเคราะห์โดยรวมนั้น นอกจากวิเคราะห์โครงสร้างประชาคอมสัตว์หน้าดินขนาดใหญ่เพื่อหาทรีฟเมนต์ที่เหมาะสม ในการเก็บตัวอย่างโดยรวมหมดทุก taxa แล้ว ยังแยกวิเคราะห์ทรีฟเมนต์ที่เหมาะสมในการศึกษาโครงสร้างประชาคอมสัตว์หน้าดินขนาดใหญ่แต่ละไฟล์ด้วย

วิเคราะห์ข้อมูลทรีฟเมนต์ที่เหมาะสมในแต่ละสถานี แต่ละเดือน และโดยรวม โดยการใช้ univariate analysis และ multivariate analysis ของโครงสร้างประชาคอมสัตว์หน้าดินขนาดใหญ่ในแต่ละทรีฟเมนต์ และจัดกลุ่มทรีฟเมนต์ที่มีความคล้ายคลึงแบบ Bray-Curtis (Bray-Curtis similarity) ที่ระดับ 95 % โดยใช้โปรแกรม PRIMER (Plymouth Routines in Multivariate Ecological Research) (Clarke and Warwick 1994; Carr 1997) ซึ่งประกอบด้วยโปรแกรมย่อย คำนวณค่าธรรมนิและค่าทางสถิติ ดังนี้

1. **Univariate analysis** ได้แก่ species richness, Shannon-Wiener index, และ evenness โดยใช้โปรแกรม DIVERSE มีสูตรของค่าธรรมนิดังนี้

Species richness คือ จำนวนสปีชีส์ทั้งหมด

Shannon-Wiener Index (H') สมการของ H' คือ

$$H' = - \sum_{i=1}^S (p_i \ln p_i)$$

เมื่อ S และ p_i เป็นพารามิเตอร์ของประชากร

S = จำนวนสปีชีส์

p_i = สัดส่วนจำนวนสัตว์หน้าดินแต่ละชนิดต่อจำนวนสัตว์หน้าดินทั้งหมด

($p_1, p_2, p_3, \dots, p_s$)

ค่า H' ที่ได้นำมาคำนวณหา evenness จากสมการ Pielou's evenness

Pielou's evenness

$$J' = H' / \ln (s)$$

เมื่อ H' คือ Shannon-Weiner index

S คือ จำนวนสปีชีส์

2. **Multivariate analysis** เพื่อแสดงถึงความคล้ายคลึงของโครงสร้างประชาคอมของสัตว์หน้าดินขนาดใหญ่ โดยการจัดกลุ่มและสร้างภาพสองมิติของแต่ละทรีฟเมนต์ดังนี้

2.1 วิเคราะห์ว่าเรียนชี้ของความคล้ายคลึง (analysis of similarities, ANOSIM) ของแต่ละทรีทเม้นต์โดยใช้โปรแกรม ANOSIM วิเคราะห์ Global test หาก้า Global R โดยตั้งสมมุติฐานดังนี้

H_0 : ไม่มีความแตกต่างระหว่างประชากรมสัตว์หน้าดินขนาดใหญ่ในแต่ละทรีทเม้นต์ ($R=0$)

H_1 : มีความแตกต่างระหว่างประชากรมสัตว์หน้าดินขนาดใหญ่ในแต่ละทรีทเม้นต์ ($R \neq 0$)

เมื่อ $R = (\bar{r}_B - \bar{r}_W) / (M/2)$

\bar{r}_B = The average of rank similarities arising from all pairs of replicates between different treatments

\bar{r}_W = The average of rank similarities among replicates within treatments

$M = n(n-1)/2$

(n = The total number of samples under consideration)

2.2 วิเคราะห์การจัดกลุ่ม โดยแปลงข้อมูลแบบ double square root แล้ววัดความคล้ายคลึงแบบ Bray-Curtis (Bray-Curtis similarities, D) ดังสมการ (Gray 1981)

$$D = \sum_{i=1}^s |(x_{1i} - x_{2i}) / (x_{1i} + x_{2i})|$$

เมื่อ x_{1i}, x_{2i} คือ ความซูกชุมของสปีชีส์ j ที่สถานี 1 และ 2

s คือ จำนวนสปีชีส์

ผลการวิเคราะห์ที่ได้แสดงในรูปของเดนโดรแกรม (dendrogram) โดยใช้โปรแกรม CLUSTER และ DENPLOT และแสดงให้เห็นเปอร์เซ็นต์ความคล้ายคลึงถึงระดับสปีชีส์ระหว่างกลุ่มของทรีทเม้นต์โดยใช้โปรแกรม SIMPER แต่ในการนี้ความหลากหลายของสัตว์หน้าดินขนาดใหญ่มีมากกว่า 160 สปีชีส์ ไม่สามารถวิเคราะห์เปอร์เซ็นต์ความคล้ายคลึงด้วยโปรแกรมนี้ได้ จะแสดงผลโดยการสร้างตารางรายชื่อสปีชีส์ที่พับในแต่ละทรีทเม้นต์แทน

2.3 สร้างภาพ 2 มิติ MDS (Non-Metric Multidimensional Scaling, MDS) โดยแปลงข้อมูลแบบ double square root เช่นเดียวกับการจัดกลุ่ม แต่แสดงผลการวิเคราะห์ที่ได้ลงบนรูปแบบ 2 มิติ โดยใช้โปรแกรม MDS และ CONPLOT เลือกแสดงผลเฉพาะภาพของจำนวนช้าที่เหมาะสม ในการศึกษาโครงสร้างประชากรมของสัตว์หน้าดินขนาดใหญ่ บริเวณตอนล่างของทะเลสาบสงขลาตอนในโดยรวม ส่วนการแสดงผลจำนวนช้าที่เหมาะสมในเชิงอื่นๆ อยู่ในรูปของเดนโดรแกรม การสร้างภาพ MDS นี้ต้องมีข้อมูลอย่างน้อย 4 ทรีทเม้นต์ จึงสามารถสร้างภาพ MDS ได้ ด้วยเหตุนี้การศึกษาขนาดตัวตัวแปร (2 ทรีทเม้นต์) จึงแสดงผลตัวอยเดนโดรแกรมเท่านั้น

หมายเหตุ: ข้อมูลที่ใช้ในการวิเคราะห์ความคล้ายคลึง และโครงสร้างประชากรมสัตว์หน้าดินได้จากการเก็บข้อมูล 6 ครั้งๆ ละ 9 สถานี ดังนั้น ค่า $n=54$ (รูปที่ 8, 9, 12 และ 15) ส่วนกรณีการวิเคราะห์เพื่อหาจำนวนช้าและขนาดตัวตัวแปรที่เหมาะสมได้วิเคราะห์แยกในแต่ละสถานี ซึ่งแต่ละสถานีมีข้อมูล 6 เตือน ($k=6$) (ปที่ 10 และ 13) และในแต่ละเตือนซึ่งมีข้อมูล 9 สถานี ($k=9$) (รูปที่ 9 และ 14) ในการนี้ได้ดำเนินการตามขั้นตอนใน Carr(1997)

ผลการศึกษา

จากการสำรวจเบื้องต้นในเดือนกุมภาพันธ์ 2541 พบร้า การกำหนดสถานี 9 สถานี สามารถครอบคลุมพื้นที่ศึกษาที่มีสภาพพื้นท้องน้ำที่ลักษณะแตกต่างกันทางด้านกายภาพหลายรูปแบบ ใน การศึกษาครั้งนี้ได้ตรวจสอบคุณภาพน้ำทางประการ พบร้าความเค็มของน้ำเป็นปัจจัยที่มีความแตกต่างกันมากระหว่างบางสถานี โดยพบอยู่ในช่วง 3.0-17.5 พีโอดซู โดยมีแนวโน้มว่าความเค็มลดลงตามระยะทางที่ห่างจากปากทะเลสาบสงขลา

ตอนที่ 1 ปัจจัยทางกายภาพและเคมีของสิ่งแวดล้อมและสัตว์น้ำติด

ปัจจัยทางกายภาพและเคมีของสิ่งแวดล้อม

คุณภาพน้ำ

คุณภาพน้ำทางกายภาพและเคมีตั้งแต่เดือนเมษายน 2541-กุมภาพันธ์ 2542 (รูปที่ 2) ค่าความลึกเฉลี่ยตลอดการศึกษา อยู่ในช่วง 1.0 ± 0.5 (ส.ค. 2541)- 1.8 ± 0.4 เมตร (ก.พ. 2542) ในสถานี 9 มีความลึกโดยเฉลี่ยต่ำสุด ($0.3-1.8$ ม.) ส่วนสถานี 8 มีความลึกเฉลี่ยสูงสุด ($1.8-2.7$ ม.) ความลึก (depth) โดยเฉลี่ยทั้ง 9 สถานี ประมาณ 1.4 ± 0.5 เมตร

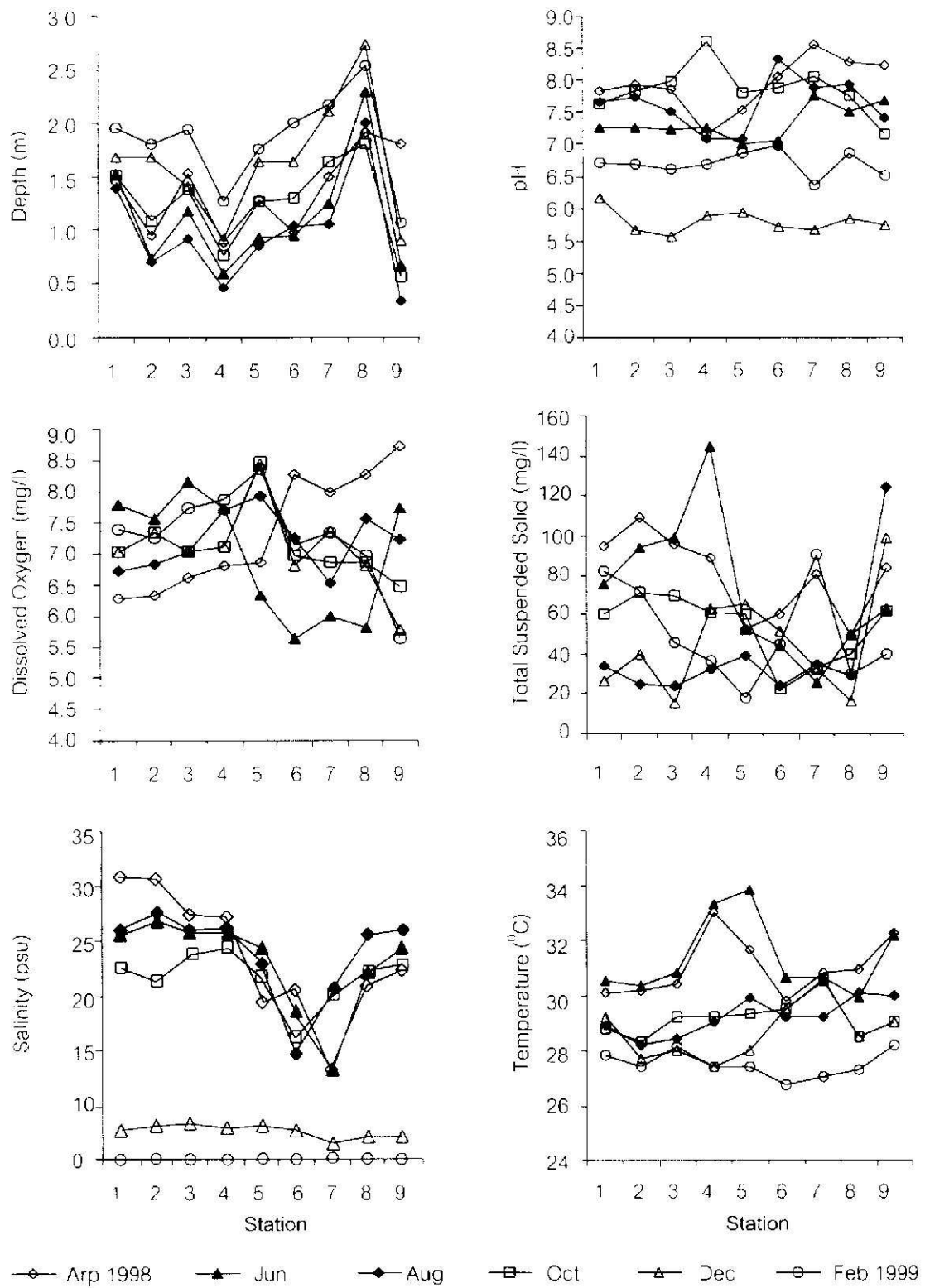
ค่าพีเอสของน้ำ (pHw) เฉลี่ยตลอดการศึกษา อยู่ในช่วง 5.8 ± 0.2 (ช.ค. 2541)- 7.9 ± 0.4 (เม.ย. 2541) ค่าพีเอสเฉลี่ยในแต่ละสถานีมีความแตกต่างกันน้อยมาก (7.1 ± 0.9 - 7.4 ± 1.1) แต่ค่าพีเอสเฉลี่ยในระหว่างฤดูกาลนี้ความแตกต่างมากกว่า โดยพบร้าในเดือนธันวาคมซึ่งเป็นฤดูมรสุมตะวันออกเฉียงเหนือ น้ำมีค่าพีเอสลดลงอยู่ในช่วง $5.6-6.2$ และมีค่าสูงขึ้นเล็กน้อย ($6.5-7.0$) ในเดือนต่อมา (ก.พ. 2542) ค่าพีเอสในสถานี 7 มีการแปรผันมากที่สุด ($5.7-8.5$) รองลงมาคือ สถานี 9 ($5.7-8.2$)

ปริมาณออกซิเจนที่ละลายน้ำ (DO) เฉลี่ยตลอดการศึกษาอยู่ในช่วง 7.0 ± 1.0 (มี.ย. 2541)- 7.4 ± 1.0 มิลลิกรัมต่อลิตร (เม.ย. 2541) สถานี 9 มีค่าออกซิเจนในน้ำแปรผันมากที่สุด ($5.6-8.7$ มก./ล.) รองลงมาคือ สถานี 5 ($6.3-8.5$ มก./ล.) ที่สถานี 5 มีค่าเฉลี่ยออกซิเจนในน้ำต่ำสุด (7.7 ± 0.9 มก./ล.) สูงกว่าสถานีอื่น ๆ เล็กน้อย (6.9 ± 1.2 - 7.4 ± 0.4 มก./ล.)

ปริมาณตะกอนแขวนลอยในน้ำ (TSS) เฉลี่ยตลอดการศึกษาอยู่ในช่วง 40.6 ± 31.9 (ส.ค. 2541)- 79.1 ± 21.0 มิลลิกรัมต่อลิตร (เม.ย. 2541) ที่สถานี 9 มีปริมาณตะกอนแขวนลอยเฉลี่ยสูงสุด (78.6 มก/ล) รองลงมาคือสถานี 4 (70.8 มก/ล)

ค่าความเค็มน้ำ (sal) เฉลี่ยตลอดการศึกษา อยู่ในช่วง $0.0-22.1 \pm 4.8$ พีโอดซู ในเดือนธันวาคมและกุมภาพันธ์ น้ำมีความเค็มลดลงมาก และมีค่าเป็น 0 ในเดือนกุมภาพันธ์ 2542 ส่วนช่วงเดือนเมษายนกึ่งตุลาคม น้ำมีความเค็มเฉลี่ยใกล้เคียงกันประมาณ 22 พีโอดซู นอกจากมีความแตกต่างตามฤดูกาลแล้ว ความเค็มของน้ำ ในแต่ละสถานีมีความแตกต่างเช่นกัน โดยมีแนวโน้มว่าความเค็มของน้ำที่สถานีใกล้ปากทะเลสาบสงขลา มีความเค็มสูงกว่า แต่ไม่ได้สูงขึ้นตามระยะทางเสมอไป ทั้งนี้อาจเกี่ยวข้องกับช่วงเวลาเก็บตัวอย่างกับน้ำขึ้นน้ำลง

ค่าอุณหภูมิน้ำ (temp) เฉลี่ยตลอดการศึกษาอยู่ในช่วง 27.5 ± 0.5 - $31.3 \pm 1.4^{\circ}\text{C}$ โดยพบอุณหภูมิต่ำสุด 26.8°C ในเดือนกุมภาพันธ์ 2542 ที่สถานี 6 โดยทั่วไปอุณหภูมิระหว่างสถานีมีความแตกต่างกันน้อย (ประมาณ 1°C)



รูปที่ 2 คุณภาพน้ำทางกายภาพและเคมีบริเวณตอนล่างของทะเลสาบสงขลาตอนใน ตั้งแต่เดือนเมษายน 2541-

กุมภาพันธ์ 2542

ดุลภาพดินตะกอน

ผลการศึกษาปริมาณอินทรีย์สารในดินตะกอนตั้งแต่เดือนเมษายน 2541-กุมภาพันธ์ 2542 (รูปที่ 3) ปริมาณอินทรีย์คาร์บอน (OC) โดยเฉลี่ยทั้งปีมีค่าอยู่ในช่วง 0.84 ± 0.26 - $1.23 \pm 0.85\%$ มีแนวโน้มว่าในฤดูมรสุม ตะวันออกเฉียงเหนือช่วงเดือนธันวาคมและกุมภาพันธ์มีค่าลดลง นอกจากนี้พบว่ามีความแตกต่างอย่างเห็นชัด เผพบางสถานี เช่น สถานี 9 มีค่าสารอินทรีย์คาร์บอนเฉลี่ยทั้งปีสูงสุดประมาณ $2.37 \pm 1.07\%$ โดยมีค่าตอนข้าง สูงกว่าสถานีอื่น ๆ อย่างเห็นได้ชัด โดยเฉพาะในเดือนเมษายน (3.46%) มิถุนายน (2.76%) และเดือนตุลาคม (3.69%) ส่วนสถานีอื่น ๆ ในเดือนสถานีมีค่าเฉลี่ยทั้งปีอยู่ในช่วง $0.53 \pm 0.12\%$ (สถานี 2)- $1.28 \pm 0.30\%$ (สถานี 1)

สำหรับปริมาณอินทรีย์วัตถุ (OM) สามารถคำนวณได้จากค่าอินทรีย์คาร์บอนโดยการคูณด้วย 1.72 จึงมีรูปแบบการแปรผันตามฤดูกาล และสถานีในท่านองเดียวกัน

ปริมาณในโตรเจนรวม (TN) โดยเฉลี่ยทั้งปี อยู่ในช่วง 0.02 ± 0.01 - $0.20 \pm 0.11\%$ (รูปที่ 4) โดยมี แนวโน้มว่าลดลงในฤดูมรสุมตะวันออกเฉียงเหนือเช่นเดียวกับปริมาณอินทรีย์คาร์บอน ส่วนความแตกต่างระหว่าง สถานานั้น พบร้าที่สถานี 6 และ 9 มีปริมาณในโตรเจนรวมโดยเฉลี่ย (0.17 ± 0.19 - $0.18 \pm 0.17\%$) สูงกว่าสถานีอื่น ๆ ซึ่งมีค่าอยู่ในช่วง 0.06 ± 0.05 - $0.08 \pm 0.07\%$

พีเอสในดิน (pHs) โดยเฉลี่ยทั้งปี (รูปที่ 5) มีค่าอยู่ในช่วง 6.3 ± 0.6 - 6.7 ± 0.4 ซึ่งเป็นค่าที่ใกล้เคียง กันตลอดทั้งปี ส่วนความแตกต่างระหว่างสถานีพบร้าน้อย เช่นกัน คือ อยู่ในช่วง 5.8 (สถานี 7)-6.8 (สถานี 2)

องค์ประกอบของขนาดอนุภาคเม็ดดินและโครงสร้างของดินมีการเปลี่ยนแปลงบ้างดังนี้ (ตารางที่ 1)

สถานี 1 : ในช่วงเดือนเมษายน-สิงหาคม มีลักษณะเป็น clay เป็น silty clay เป็น silty loam ในช่วง เดือนตุลาคม-กุมภาพันธ์

สถานี 2 : มีการเปลี่ยนแปลงค่อนข้างสูง คือ จาก silty clay loam (เมษายน) เป็น silty clay (มิถุนายน-สิงหาคม) เป็น loam (ตุลาคม) เป็น silty clay loam (ธันวาคม) และเป็น silt loam

สถานี 3 : โครงสร้างดินมีขนาดเปลี่ยนแปลงน้อย ส่วนใหญ่มีสภาพเป็น silty clay

สถานี 4 : มีการเปลี่ยนแปลงจาก silty clay (เมษายน-ตุลาคม) เป็น silty clay loam (ธันวาคม- กุมภาพันธ์)

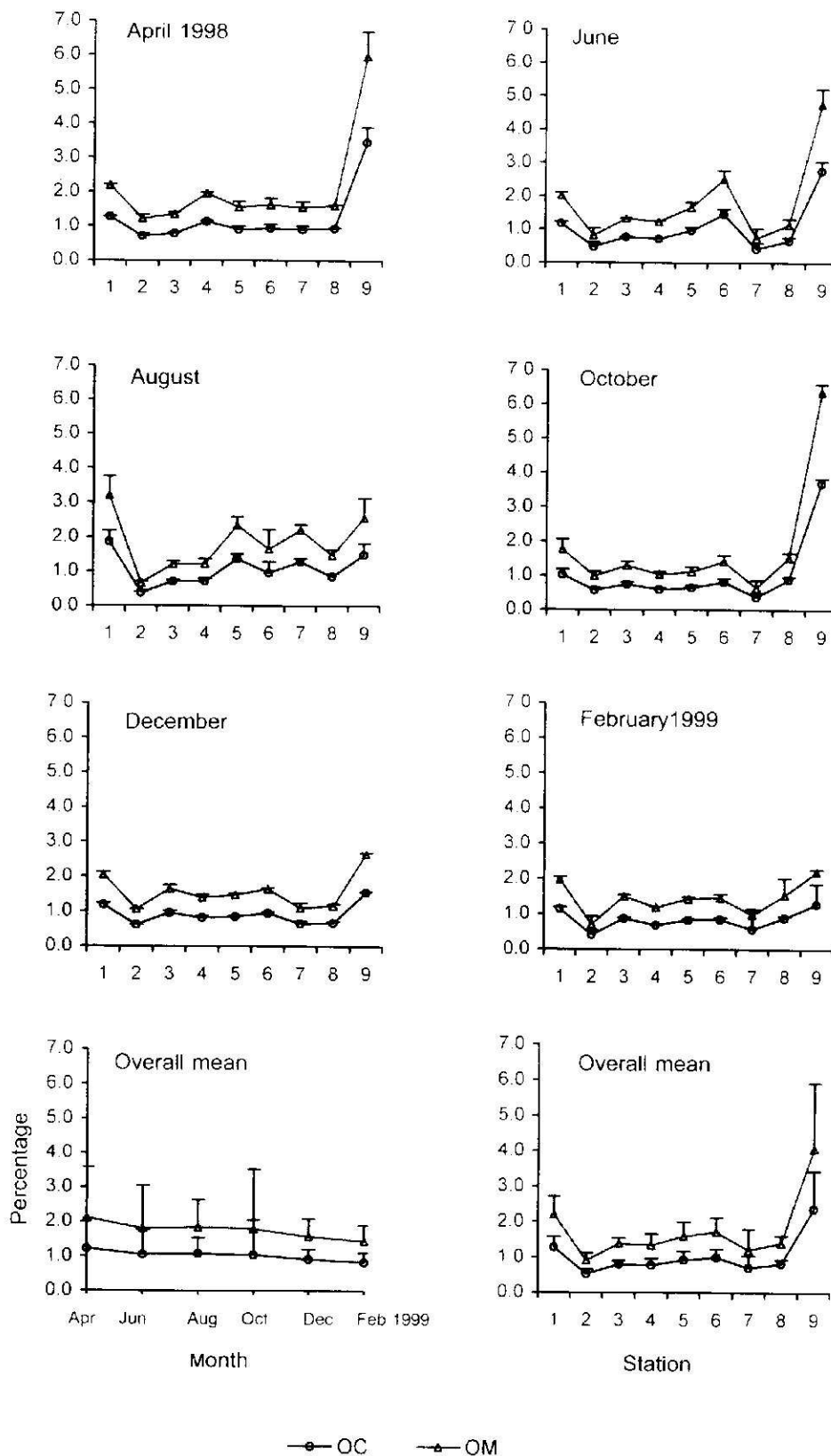
สถานี 5 : ส่วนใหญ่มีสภาพเป็น silty clay ยกเว้นในเดือนสิงหาคม มีสภาพเป็น clay และในเดือน ตุลาคมมีสภาพเป็น loam

สถานี 6 : เป็นสถานีที่มีสภาพพื้นท้องน้ำแตกต่างจากสถานีอื่น ๆ มาก เนื่องจากมีกรดปะปนอยู่มาก ลักษณะโครงสร้างของดินจึงจัดเป็น sand หรือ sandy loam ในเดือนตุลาคมและ กุมภาพันธ์

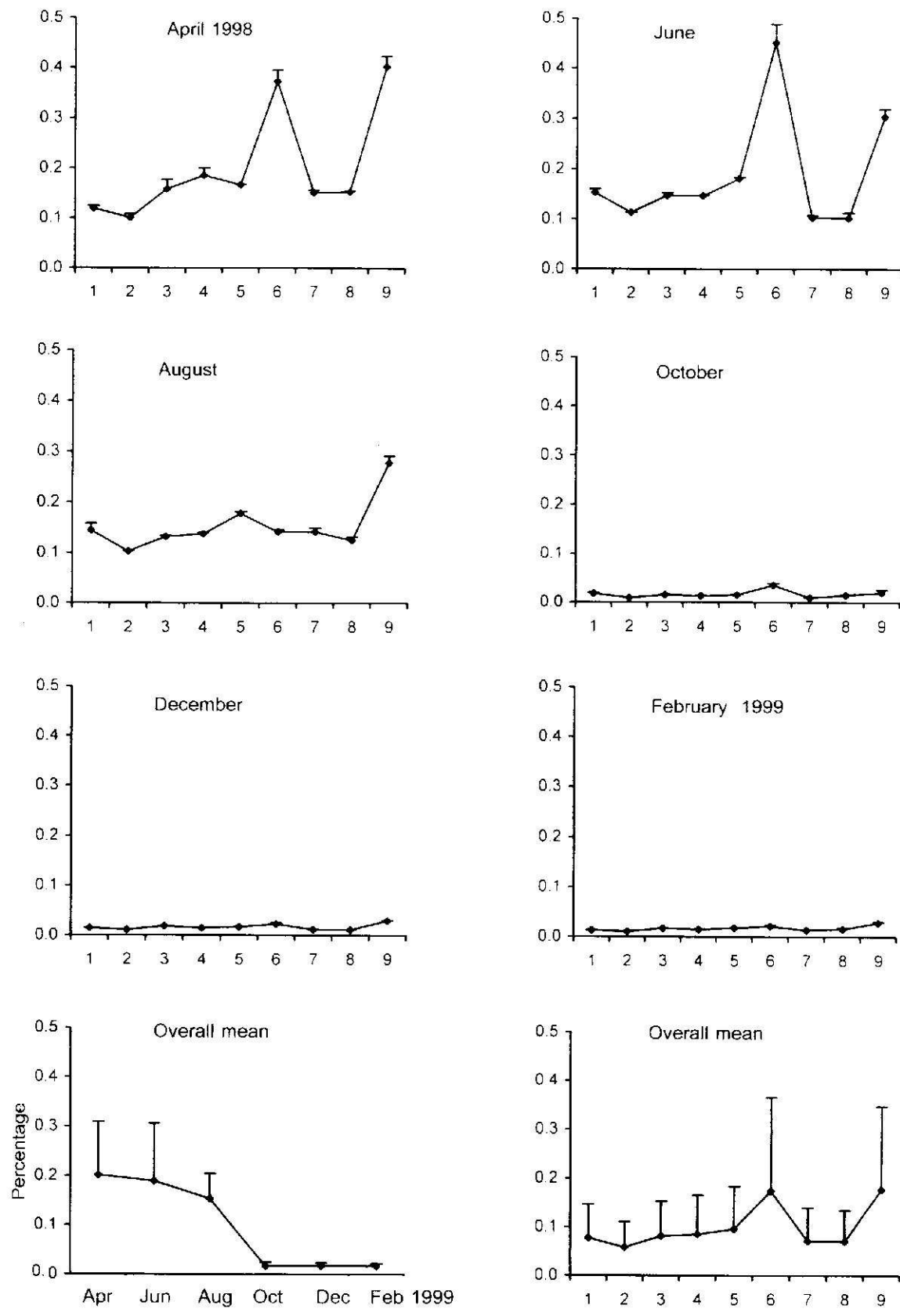
สถานี 7 : เป็นอีกสถานีหนึ่งที่มีโครงสร้างดินค่อนข้างแปรผัน ระหว่าง clay loam → sandy clay loam → clay loam → sandy loam → loam

สถานี 8 : โครงสร้างดินมีการแปรผันระหว่าง silty clay และ clay

สถานี 9 : โครงสร้างดินมีการแปรผันระหว่าง silty clay และ clay เช่นกัน

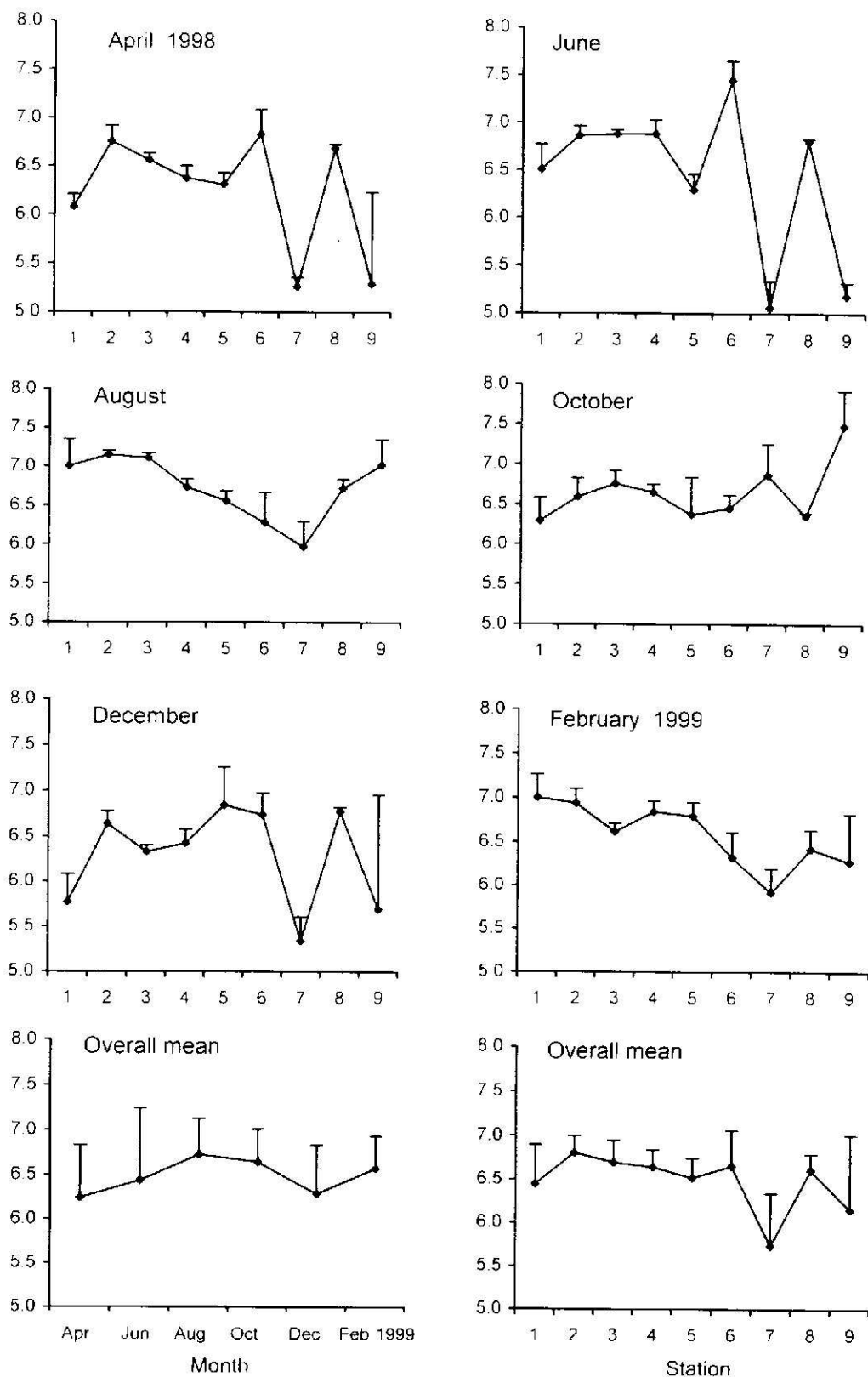


รูปที่ 3 อินทรีย์วัตถุและอินทรีย์คาร์บอนบริเวณต่อนล่างของทะเลสาบสงขลาตอนใน
ตั้งแต่เดือนเมษายน 2541-กุมภาพันธ์ 2542



รูปที่ 4 ปริมาณไนโตรเจนทั้งหมดในตินตะกอนบริเวณดอนล่างของทะเลสาบสูงขลາตอันใน

ตั้งแต่เดือนเมษายน 2541-กุมภาพันธ์ 2542



รูปที่ 5 พีเอชตะกอนดินบริเวณตอนล่างของทะเลสาบสงขลาตอนใน ตั้งแต่เดือนเมษายน 2541-

กุมภาพันธ์ 2542

ตารางที่ 1 โครงสร้างตะกอนดินระหว่างเดือนเมษายน 2541-กุมภาพันธ์ 2542

April 1998					October				
Station	%Clay	%Silt	%Sand	Soil structure	Station	%Clay	%Silt	%Sand	Soil structure
1	44.98	38.26	16.76	Clay	1	44.29	43.28	12.43	Silty clay
2	36.84	54.93	8.23	Silty clay loam	2	27.39	36.45	36.17	Loam
3	48.00	48.10	3.90	Silty clay	3	42.05	48.45	9.50	Silty clay
4	50.63	48.11	1.25	Silty clay	4	34.29	57.28	8.43	Silty clay loam
5	48.92	50.78	0.30	Silty clay	5	24.81	32.61	42.57	Loam
6	2.50	3.07	94.43	Sand	6	15.57	18.43	66.00	Sandy loam
7	37.97	38.02	24.01	Clay loam	7	16.72	14.78	68.50	Sandy loam
8	44.14	53.00	2.85	Silty clay	8	40.96	48.78	10.26	Silty clay
9	58.39	40.11	1.49	Silty clay	9	30.48	50.11	19.41	Silty clay loam

June					December				
Station	%Clay	%Silt	%Sand	Soil structure	Station	%Clay	%Silt	%Sand	Soil structure
1	61.20	38.56	0.24	Clay	1	44.20	45.92	9.88	Silty clay
2	44.53	54.28	1.19	Silty clay	2	27.20	61.92	10.88	Silty clay loam
3	53.87	44.28	1.85	Silty clay	3	46.59	39.92	13.49	Silty clay
4	45.44	53.71	0.85	Silty clay	4	35.64	54.56	9.80	Silty clay loam
5	56.39	42.42	1.19	Silty clay	5	40.59	49.59	9.83	Silty clay
6	1.67	2.08	96.25	Sand	6	3.08	7.28	89.64	Sand
7	26.39	13.42	60.19	Sandy clay loam	7	23.43	29.89	46.69	Loam
8	52.48	33.00	14.52	Clay	8	41.43	35.22	23.35	Clay
9	68.95	30.36	0.69	Clay	9	51.43	37.22	11.35	Clay

August					December 1999				
Station	%Clay	%Silt	%Sand	Soil structure	Station	%Clay	%Silt	%Sand	Soil structure
1	57.31	39.64	3.05	Clay	1	47.31	49.38	3.31	Silty clay
2	41.31	58.31	0.38	Silty clay	2	24.64	65.27	10.09	Silt loam
3	49.31	48.64	2.05	Silty clay	3	48.69	38.83	12.48	Clay
4	43.98	53.55	2.47	Silty clay	4	31.13	63.11	5.76	Silty clay loam
5	59.55	39.52	0.93	Clay	5	41.79	51.12	7.09	Silty clay
6	1.49	1.70	96.81	Sand	6	11.55	23.99	64.46	Sandy loam
7	35.70	31.61	32.69	Clay loam	7	22.97	30.89	46.13	Loam
8	51.37	41.28	7.35	Silty clay	8	41.64	48.23	10.13	Silty clay
9	48.37	48.95	2.69	Silty clay	9	61.64	31.67	6.69	Clay

ความหลากหลายและการแพร่กระจายของสัตว์น้ำดินขนาดใหญ่

จากการสำรวจสัตว์น้ำดิน ตั้งแต่เดือนกุมภาพันธ์ 2541 (สำรวจเบื้องต้น)-กุมภาพันธ์ 2542 นั้น พบว่า ชนิดของสัตว์น้ำดินเท่าที่พบในเดือนกุมภาพันธ์ 2541 ไม่มีชนิดใดที่พบนอกเหนือจากที่พบในการสำรวจครั้งอื่น ๆ แม้ว่ามีบางสถานีที่สำรวจ (สถานี 6, 8 และ 9) เป็นคนละสถานีกับที่กำหนดใหม่ให้หมายความว่ามีสภาพนิเวศอย่าง ๆ ของพื้นท้องทะเลหลวง เพื่อความถูกต้องในการอภิปรายผลการศึกษาทั้งในเชิงคุณภาพและปริมาณ ทางนิเวศวิทยา จึงไม่รวมข้อมูลเชิงปริมาณที่ได้จากการสำรวจเบื้องต้นในรายงานฉบับนี้

สัตว์น้ำดินที่พบในช่วงเดือนเมษายน 2541-เดือนกุมภาพันธ์ 2542 มี 8 ไฟลัม รวม 160 ชนิด (ไม่รวมตัวอ่อนของ polychaete ซึ่งมี 10 วงศ์) (ตารางที่ 2) ไฟลัมที่พบมากที่สุด ได้แก่ Annelida, Mollusca และ Crustacea ส่วนไฟลัมอื่น ๆ ที่เหลืออีก 5 ไฟลัม พบรูปแบบเป็นจำนวนน้อย ได้แก่ Nemertea, Platyhelminthes, Cnidaria, Hexapoda และ Chordata

1) Annelida

พบสัตว์ในไฟลัมนี้ 3 class คือ Polychaeta (ไส้เดือนทะเล) Oligochaeta และ Hirudinea (ปลิง) เนื่องจาก Oligochaeta ที่พบมีขนาดเล็กมาก ควรจะจัดอยู่ในกลุ่มสัตว์น้ำดินขนาดเล็ก (meiofauna) มากกว่า ตัวอย่างบางส่วนที่เก็บได้ติดมากับตะแกรงโดยบังเอิญ จึงไม่น่ามากถ้าถือในรายงานนี้

Polychaeta เป็นกลุ่มที่พบมากทั้งชนิดและจำนวน มี 20 วงศ์ 47 สกุล 57 สปีชีส์ (ไม่รวม larvae 10 วงศ์) สปีชีส์ที่พบทุกเดือนที่สำรวจ คือ *Heteromastus similis*, *Heteromastus* sp., *Nephtys* sp., *Ceratonereis bermensis*, *Namanereis* sp., *Namalyctis fauvelli*, *Namalyctis indica*, *Neanthes cf.mossambica*, Nereidae larvae, *Lagis* sp., unidentified Terebellidae, *Sigambra phuketensis*, *Imajima pholoe*, *Minuspio* sp.1, และ *Minuspio* sp.2 อย่างไรก็ตามบางสปีชีส์ที่กล่าวถึงนี้ แม้ว่ามีทุกเดือน แต่ มีการแพร่กระจายบางสถานีเท่านั้น เช่น Terebellidae แพร่กระจายอยู่บ่อบริเวณสถานี 6 และ 7 เป็นส่วนใหญ่ โดย พบรูปแบบมากที่สุดในเดือนเมษายน ที่สถานี 6 (855 ตัว/ตร.ม.) ส่วนสปีชีส์ที่มีการแพร่กระจายเกือบทุกสถานี ของทุกเดือน คือ *Nephtys* sp. แม้แต่ในเดือนกุมภาพันธ์ 2542 ซึ่งน้ำมีความเค็มเป็น 0 และเป็นที่น่าสังเกตว่า ระหว่างวัยอ่อนของ Nephytidae มีการแพร่กระจายทุกสถานีในเดือนกุมภาพันธ์ 2542 เช่นกัน *Imajima pholoe* เป็นไส้เดือนทะเลอีกสปีชีส์หนึ่งที่พบทุกเดือนแต่มีแนวโน้มว่าพบแพร่กระจายเกือบทุกสถานี (ยกเว้นสถานี 5) ใน ฤดูที่น้ำมีความเค็มต่ำ (ธันวาคมและกุมภาพันธ์) ส่วน *Heteromastus* spp. สามารถแพร่กระจายอย่างกว้างขวาง ทุกฤดูกาล แต่มีจำนวนค่อนข้างน้อย (จำนวนสูงสุด 30 ตัว/ตร.ม.) ไส้เดือนทะเลในวงศ์ Nereidae มีความหลากหลายมากที่สุด (14 สปีชีส์ ไม่รวม Nereidae larvae) และมีการแพร่กระจายทุกเดือน 4 สปีชีส์ เช่น *N. indica* มี การแพร่กระจายได้กว้างขวางในช่วงที่น้ำมีความเค็มค่อนข้างสูงในฤดูร้อน และมีจำนวนมาก (จำนวนสูงสุดที่พบ 542 ตัว/ตร.ม.) ส่วน *Ceratonereis bermensis* แพร่กระจายได้กว้างขวางทั้งในฤดูร้อนและฤดูฝน (จำนวนสูงสุดที่พบ 618 ตัว/ตร.ม.)

Prionospio cimifera และ *Pseudopolydora* sp. เป็นสปีชีส์ที่มีจำนวนมากในบางสถานี ในบางเดือน (ประมาณ 682-771 ตัว/ตร.ม.) แม้ว่าจะไม่พบว่ามีการแพร่กระจายทุกเดือน

ถ้าพิจารณาในภาพรวมแล้ว ไส้เดือนทะเลมีการแพร่กระจายได้ดีในช่วงเดือนเมษายน-ตุลาคม โดย กระจายได้ดีที่สุดในเดือนมิถุนายนถึงสิงหาคม สถานี 6 มีแนวโน้มว่ามีความชุกชุมของไส้เดือนทะเลมากที่สุดทั้ง ชนิดและจำนวน รองลงมาเป็นสถานี 9 ส่วนไส้เดือนระดับตัวอ่อนนั้น มีแนวโน้มว่าส่วนใหญ่มากในช่วงกตุ่มรสมุ ตัววันออกเฉียงเหนือ (ตุลาคม-กุมภาพันธ์) ยกเว้น Nereidae larvae พบรูปแบบ

Hirudinea เป็นกลุ่มที่พบจำนวนน้อยมากและพบสปีชีส์เดียว โดยพบสูงสุดประมาณ 11 ตัว/ตร.ม. มีการแพร่กระจายในช่วงฤดูฝนได้ดีกว่าฤดูอื่น ๆ

2) Mollusca

มี 2 class คือ Gastropoda และ Pelecypoda รวม 23 สปีชีส์

Gastropoda เป็นกลุ่มหอยกากเดียว พบว่ามี 9 วงศ์ 12 สปีชีส์ *Maginella* sp. มีการแพร่กระจายได้ดีที่สุด โดยพบเกือบทุกสถานีในทุก ๆ เดือน และมีปริมาณมากที่สุด ที่สถานี 6 ในเดือนเมษายน (633 ตัว/ตร.ม.) ส่วน *Sulcoretusa* sp. พบว่ามีการแพร่กระจายกว้างขวางในช่วงเดือนสิงหาคม-ธันวาคม ซึ่งน้ำมีความเค็มต่ำแต่ยังไม่จัดสมนิท หอยสปีชีส์นี้พบมากที่สุด 1411 ตัวต่อตารางเมตร ที่สถานี 1 ในเดือนตุลาคม นอกจากนี้ Unidentified Skeneopsidae และ *Stenothyra* sp. เป็นหอยอีกสองสปีชีส์ที่พบเป็นจำนวนมาก แม้ว่าการแพร่กระจายไม่กว้างขวางนัก แต่มีทุกเดือนที่สำรวจ

Pelecypoda เป็นกลุ่มหอยสองกาน พบว่ามีมากกว่า 8 วงศ์ 11 สปีชีส์ *Brachidontes arcuatulus* เป็นสปีชีส์ที่พบเป็นสปีชีส์เด่นมาก แม้ว่ามีการแพร่กระจายไม่กว้างขวางทุกสถานีแต่พบทุกเดือน เม็ดกรวดที่สถานี 6 เป็นสถานที่อาศัยที่สำคัญของหอยสปีชีส์นี้ โดยพบจำนวนสูงสุดที่สถานี 6 ในเดือนเมษายน ประมาณ 29449 ตัวต่อตารางเมตร *Macoma* sp. เป็นหอยอีกสปีชีส์หนึ่งที่สำคัญ แม้ว่ามีจำนวนไม่มากเท่า *B. arcuatulus* แต่พบว่ามีการแพร่กระจายเกือบทุกสถานีและพบทุกเดือนที่สำรวจโดยพบมากที่สุดที่สถานี 5 ในเดือนมิถุนายน (3495 ตัว/ตร.ม.) นอกจากนี้ unidentified Arcidae และ *Corbula* sp. เป็นหอยที่พบปริมาณปานกลางและการแพร่กระจายไม่กว้างขวาง ส่วนสปีชีส์อื่น ๆ พบเป็นจำนวนน้อยและการแพร่กระจายไม่กว้างขวาง

3) Crustacea

ประกอบด้วย Crustacea หลายออร์เดอร์ รวม 56 สปีชีส์ กสุ่มหลัก ๆ ที่พบ คือ Amphipoda, Isopoda, Tanaidacea และ Decapoda ส่วน Oostacoda และ Stomatopoda พบเป็นส่วนน้อยทั้งชนิดและจำนวน

Amphipoda มี 10 วงศ์ 22 สปีชีส์ *Photis longicaudata* เป็นสปีชีส์ที่มีการแพร่กระจายได้กว้างขวางที่สุด และพบทุกเดือนที่สำรวจจำนวนมากที่สุดที่พบประมาณ 1556 ตัวต่อตารางเมตร ที่สถานี 6 ในเดือนมิถุนายน สปีชีส์รองลงมา คือ *Grandidierella gilesi* มีจำนวนมากที่สุด ประมาณ 805 ตัวต่อตารางเมตร โดยพบที่สถานี 4 เดือนเมษายน สปีชีส์นี้มีการแพร่กระจายไม่กว้างขวางเท่าสปีชีส์แรก โดยพบว่ามีการแพร่กระจายอยู่ทุกสถานีเฉพาะเดือนเมษายนเท่านั้น ส่วนในเดือนอื่น ๆ พบเพียง 1-3 สถานีเท่านั้น *Melita* sp. 1 เป็น amphipod อีกชนิดหนึ่งที่พบบ่อย โดยพบมากที่สุดที่สถานี 9 เดือนเมษายน (640 ตัว/ตร.ม.) แม้ว่ามีจำนวนน้อยกว่า *G. gilesi* แต่ *Melita* sp. 1 มีการแพร่กระจายได้กว้างขวางกว่า นอกจากนี้มีบางสปีชีส์ที่พบในปริมาณไม่มากนักประมาณ 120-360 ตัวต่อตารางเมตร แต่มีการแพร่กระจายได้หลายสถานี ได้แก่ *Gitanopsis* sp., *Grandidierella* sp. 1 Isaeidae sp. 1, *Quadrivisio* sp., *Victoriopisa* sp. และ Unidentified Paracallioipiidae

Isopoda พบประมาณ 6 วงศ์ 18 สปีชีส์ *Cyathura* sp. 1 มีจำนวนมากที่สุด 813 ตัวต่อตารางเมตร ที่สถานี 6 ในเดือนมิถุนายน แม้ว่าพบทุกเดือนที่สำรวจ แต่มีการแพร่กระจายไม่กว้างขวางนัก แตกต่างจาก *Amakusantheta* sp. มีจำนวนไม่มากแต่มีการแพร่กระจายหลาຍสถานีเกือบทุกเดือน โดยภาพรวมพบว่า Isopod มีการแพร่กระจายมากในเดือนเมษายน-มิถุนายน และชูกชุมที่สุดที่สถานี 6

Tanaidacea มี 4 วงศ์ 4 สปีชีส์ สัตว์หน้าดินในกลุ่มนี้ แม้ว่ามีน้อยชนิดแต่มีบางชนิด เช่น *Ctenapseudes* sp. ซึ่งเป็นสกุลเดียวกับ *Apseudes* sp. 1 ที่ได้รายงานในการวิจัย โดย Angsupanich and Kuwabara (1995, 1999) จึงขอแก้ไขเป็น *Ctenapseudes* ตาม Bamber et al. 1996 *Ctenapseudes* มีการแพร่กระจายอย่างกว้างขวางทุกฤดูกาลและพบเป็นจำนวนมาก จำนวนมากที่สุดที่พบที่สถานี 1 ในเดือนกุมภาพันธ์ ประมาณ 5044 ตัวต่อตารางเมตร. รองลงมา คือ *Nesotanais lacustris*. มีจำนวนมากที่สุด 1467 ตัวต่อตารางเมตร ที่สถานี 6 เดือนกุมภาพันธ์ ส่วน *Leptochelia savignyi*? และ *Sinelobus standfordi* พบเป็นจำนวนน้อย และมีการแพร่กระจายไม่กว้างขวางนัก *Ctenapseudes* sp. เป็น Crustacea ที่มีจำนวนมากที่สุดในทะเลหลวง

Decapoda มี 5 วงศ์ 10 สปีชีส์ ส่วนใหญ่เป็นกุ้งดีดขันวงศ์ Alpheidae ซึ่งมี 5 สปีชีส์ มีการแพร่กระจายไม่กว้างขวางและมีจำนวนไม่มาก ส่วนวงศ์อื่น ๆ ซึ่งเป็นจำพวก กุ้ง และ บู พบน้อยทั้งชนิด (1-2 สปีชีส์/วงศ์) และจำนวนตัว (พบสูงสุดอยู่ในช่วง 2-47 ตัว/ตรม.)

Ostracoda และ Stomatopoda พบน้อยทั้งชนิด (2 สปีชีส์) และปริมาณ (2-5 ตัว/ตรม.)

4) ไฟลัมอื่น ๆ

Nemertea และ Platyhelminthes มีการแพร่กระจายหลายสถานีและเกือบทุกถูกตู้กาก แต่พบสูงสุดประมาณ 60 ตัวต่อตารางเมตร และ 25 ตัวต่อตารางเมตร ตามลำดับ ส่วน Cnidaria (4 สปีชีส์) บางสปีชีสมีการแพร่กระจายไปได้ไกลถึงสถานี 5 แต่พบไม่บ่อย ห้องสามไฟลัมนี้ไม่มีในเดือนกุมภาพันธ์ 2542 ซึ่งเป็นเดือนที่น้ำมีความเค็มต่ำ

Hexapoda ส่วนใหญ่เป็นเพวากตัวอ่อนแมลงมี 7 สปีชีส์ พบมากที่สุดประมาณ 11 ตัวต่อตารางเมตร ที่สถานี 9 ในเดือนธันวาคม

Chordata เป็นกลุ่มปลาทัยอ่อน 10 สปีชีส์ แต่ละสปีชีส์ที่พบในแต่ละครั้งมีจำนวน 2-5 ตัวต่อตารางเมตร

ตารางที่ 2 สัตว์น้ำดินขนาดใหญ่บริเวณตอนล่างของทะเลสาบสงขลาตอนใน ตั้งแต่เดือนเมษายน 2541-

ถึงกุมภาพันธ์ 2542

Taxa	Max density (ind m ⁻²)	Distribution occurrence (station no.)					
		April	June	August	October	December	February
Annelida							
Polychaeta							
Capitellidae							
<i>Capitamastus</i> sp.	2	2	2				
<i>Capitella capitata</i>	24					12356	1369
<i>Capitellides</i> sp.	155		56789	567			
<i>Heteromastus similis</i>	30	23589	24789	123456789	234589	23789	123789
<i>Heteromastus</i> sp.	30	23589	24789	123456789	234589	23789	123789
<i>Mediomastus</i> sp.	64		1238	12378	1234789	237	23
<i>Notomastus</i> sp.	2				7		7
<i>Parheteromastus</i> sp.	11	2	12	123			
<i>Capitellidae</i> larvae	45		1	13	12358	1234679	12367
Cirratulidae							
<i>Cirratulus</i> sp.	2				3		
Cossuridae							
<i>Aphelochaeta</i> sp.	4			3	3		
Dorvilleidae							
Unidentified sp	2	1					
Eunicidae							
<i>Marphysa</i> sp.	2			9	9		
Eumicidae							
<i>Eumicidae</i> larvae	2	1					
Goniadidae							
<i>Glycinde</i> sp.	102			1346789	123456789		123
<i>Goniodia</i> sp.	2	2		1			
<i>Goniadidae</i> larvae	22			7		123	
Hesionidae							
<i>Boniumia</i> sp.	2			67	69		
<i>Gyptis</i> sp.	53	189	12389	1236789	356789	39	
<i>Ophiodromus</i> sp.	62	1	1239	1356789	1356789	1	
<i>Parahestone</i> sp.	5			137			
<i>Hesionidae</i> larvae	2			7	9	258	
Nephtyidae							
<i>Aglaophamus</i> sp.	40	124789	347				
<i>Nephtys</i> sp.	273	12345789	123456789	12346789	34578	123468	1234678
<i>Nephtyidae</i> larvae	53			3	4	1245689	123456789
Nereidae							
<i>Ceratonereis burmensis</i>	618	8	123456789	123456789	13456789	1235679	12347
<i>Ceratonereis</i> sp.	22	2389					
<i>Dendronereis pinnaticirris</i>	31	9	9	9			
<i>Leonimates decipiens</i>	171	249	12349	4678	6		
<i>Leonimates persica</i>	7	8	249	68	8		
<i>Leonimates</i> sp.	35		679	89	6	9	
<i>Namalycastis fureuli</i>	84	279	23689	79	4	468	39
<i>Namalycastis indica</i>	542	2356789	3456789	3456	14678	45678	67
<i>Neanthes cf. mossambica</i>	127	136	6	689	6	6	16789
<i>Neanthes talehsapensis</i>	58	6	67	69	6	6	
<i>Neanthes</i> sp.	73					6	679
<i>Paraleonimates</i> sp. 1	4		24	3578	57	23689	
<i>Paraleonimates</i> sp. 2	7		8				
<i>Platynereis</i> sp.	18	9					
<i>Nereidae</i> larvae	135	1	123589	1234569	123456789	12346789	12369
Opheliidae							
Unidentified sp.	2				9		
Pectinariidae							
<i>Lagis</i> sp.	42	67	7	67	67	3689	134
<i>Pectinariidae</i> larvae	5					68	78
Phyllodocidae							
<i>Eteone</i> sp.	43		567	23456	68		

ตารางที่ 2 (ต่อ)

Taxa	Max density (ind m ⁻²)	Distribution occurrence (station no.)					
		April	June	August	October	December	February
<i>Phyllodocidae</i>							
<i>Phyllodocidae</i> sp.	5				569	6	
<i>Phyllodocidae</i> larvae	4					6	3
<i>Pilargidae</i>							
<i>Sigambra phuketensis</i>	176	289	1234789	1234689	1234689	1235679	8
<i>Synechis</i> sp.	5	3	9	13	3		
<i>Talchisapna amnandalei</i>	47	12	12348	123458	13	1235	
<i>Ptilargidae</i> larvae	7		1		9	19	123
<i>Poecilochaetidae</i>							
<i>Poecilochaetus</i> sp.	62	238	1389	7			
<i>Polynoidae</i>							
Unidentified sp.	4			39	38		
<i>Sabellidae</i>							
<i>Leuconoe</i> sp.	7			56		468	
<i>Sabellastarte</i> sp.	7		67				
<i>Serpulidae</i>							
<i>Eucopomatus</i> sp.	909		3689	689	6		489
<i>Pholidae</i>							
<i>Imajuma pholoe</i>	115	6	123478	35679	34678	1234678	12346789
<i>Spionidae</i>							
<i>Minuspio</i> sp.1	387	459	123456789	123456789	2569	29	1
<i>Minuspio</i> sp.2	73	12478	3458	13456789	35679	67	346789
<i>Minuspio</i> sp.3	22		5	59	2345678	5	
<i>Pseudopolydora kempfi</i>	771	57	356789	12356789	678	678	
<i>Pseudopolydora</i> sp.1	71	79		16	1234568	6	
<i>Pseudopolydora</i> sp.2	87	478	5	389	13589		6
<i>Pronospio cirrifera</i>	682		2568	12378	3456789	2459	9
<i>Pronospio</i> sp.	5		8	168	138		
<i>Spionidae</i> larvae	35			79	459	123456789	6
<i>Terebellidae</i>							
<i>Lysilla cf panbanensis</i>	11			12378			
Unidentified sp.	855	679	167	67	67	68	267
<i>Hirudinea</i>							
Unidentified sp.	11	9	78	689	679	14589	5678
<i>Nemertea</i>							
Unidentified sp.	60	37	123458	12345789	15789	123459	
<i>Platyhelminthes</i>							
Unidentified sp.	25	89	139	12346789	59		
<i>Cnidaria</i>							
Unidentified sp.1	9		136	16	5	4	
Unidentified sp.2	2		1		3		
Unidentified sp.3	2		1		3		
<i>Edwardsiidae</i>							
Unidentified sp.	2				1		
<i>Mollusca</i>							
<i>Gastropoda</i>							
<i>Gastropoda</i> sp.1	135						89
<i>Gastropoda</i> sp.2	2						9
<i>Buccinidae</i>							
Unidentified sp.	4			1			
<i>Bullidae</i>							
<i>Bulla</i> sp.	273	89	1249	8	178	2	
<i>Hydrobiidae</i>							
Unidentified sp.	11			1	6		
<i>Maginellidae</i>							
<i>Maginella</i> sp.	633	1234689	1235689	12356789	1456789	123456789	12456789
<i>Retisidae</i>							
<i>Retisa</i> sp.1	262		12689	237	18	1235	
<i>Retisa</i> sp.2	438		1	14678	1235		3
<i>Sulcoretisa</i> sp.	1411		8	123578	1456789	12356789	1258

ตารางที่ 2 (ต่อ)

	Max density (ind m ⁻²)	Distribution occurrence (station no.)					
		April	June	August	October	December	February
Skeneopsidae							
Unidentified sp.	700	3	1369	2356	14569	29	12459
Stenothyridae							
<i>Stenothyra</i> sp.	384	789	124789	12789	168	4	9
Turridae							
<i>Massyla</i> sp.	4	78			6		
Pelecypoda							
Pelecypoda sp.1	18		128	14	1		
Pelecypoda sp.2	111		9	2579	145678	38	
Pelecypoda sp.3	16		6	4679	6		9
Pelecypoda sp.4	9		1468	8	6	68	
Arcidae							
Unidentified sp.	2807	67	67	49		3	69
Corbulidae							
<i>Corbula</i> sp.	3156			6	28	13457	
Psammobiidae							
<i>Gari</i> sp.	25					2	
Nemelidae							
<i>Semele</i> sp.	4				78	6	
Lucinidae							
<i>Lucinoma</i> sp.	196		1248	89	1289	2789	29
Tellinidae							
<i>Macoma</i> sp.	3495	2345789	123456789	123456789	1456789	12345678	1247
Mytilidae							
<i>Brachidontes arcuatus</i>	29449	679	1367	67	678	46789	46789
Crustacea							
Amphipoda							
Amphiochidae							
<i>Gitanopsis</i> sp.	362	12367	69	9	69	4679	
Aoridae							
<i>Grandidierella gilesi</i>	805	123456789	4	6	46	9	189
<i>Grandidierella</i> sp.1	245	6	126	56789	4679	24678	16
<i>Grandidierella</i> sp.2	16		12	6	46	6	9
Corophiidae							
Unidentified sp	75	227				69	9
Hyahidae							
<i>Hyale</i> sp.	29	1237	2	9	18	68	6
Isacidae							
<i>Phons longicaudata</i>	1556	125679	123456789	123456789	1456789	123456789	124689
<i>Gammaropsis</i> sp	113	367			6	4	13689
Unidentified sp.1	189	37	1234678	1358		8	6
Unidentified sp.2	5		6				
Isochyroceridae							
<i>Cerapis</i> sp.	2	6					
Melitidae							
<i>Melita</i> sp.1	640	1234689	123456789	12345689	569	12359	49
<i>Melita</i> sp.2	65	36	6	6	6		6
<i>Melita</i> sp.3	2		6				
<i>Melita</i> sp.4	25	26	26		4569	269	13468
<i>Melita</i> sp.5	31	6		29	3456	1349	489
Quadrivisio sp.	127	12359	9	15679	459	459	1459
<i>Victoriopsis</i> sp.	167	2356789	1235789	23456789	145679	1345679	126789
<i>Elasmopus</i> sp.	2					4	
Oedicerotidae							
<i>Perioculodes</i> sp.	64	1234578	1458	1245678	14568	1245678	124589
Paracalliopiidae							
Unidentified sp	231		9	26789	5689	156789	29
Talitridae							
<i>Orchestia</i> sp	5		9	45	135	7	

ตารางที่ 2 (ต่อ)

	Max density (ind m ⁻²)	Distribution occurrence (station no.)					
		April	June	August	October	December	February
Decapoda							
Alpheidae							
<i>Alpheus</i> sp.1	18	46		3			
<i>A. malabaricus songkla</i>	5	789	3458			48	
<i>A. euphrosyne</i>	7	4	8	8	145	7	1789
<i>Athanas</i> sp.1	4			9		1	
<i>Athanas</i> sp.2	2					1	
Atyidae							
<i>Caridina</i> sp.	47	1234579	0	129			9
Hymenosomatidae							
<i>Halicarmon</i> sp.1	7	6		9		6	9
<i>Halicarmon</i> sp.2	11	6	37	7	9	8	49
Leucosidae							
Unidentified sp.	2			36	67		6
Ocypodidae							
Unidentified sp.	4			2			
Isopoda							
Anthuridea							
Anthuridae							
<i>Anakusanthura</i> sp.	78	2	123468	12345678	1468	1234567	1246789
<i>Cyathura</i> sp.1	813	134678	267	67	68	568	26
<i>Cyathura</i> sp.2	65	8	16	6	6	468	16
Flabellifera							
Aegidae							
<i>Aegae</i> sp.	2			2			
<i>Rocinela</i> sp.	4	3					
Cirolanidae							
<i>Anoplilana jonesi</i> *	136	679	169	6			
<i>Anoplilana browni</i> *	42	67	6		6		6
<i>Anoplilana</i> sp.1	5	23467		2			
<i>Anoplilana</i> sp.2	16	236789	1238	7			
<i>Anoplilana</i> sp.3	5	6	6				6
<i>Anoplilana</i> sp.4	40	34	6				
<i>Anoplilana</i> sp.5	2	34			9		1
<i>Anoplilana</i> sp.6	4	4	1				
Sphaeromatidae							
Cassidinidea sp	11	22	146	6		49	89
< <i>Exosphaeroma</i> sp.	7	2	4				
Oniscidea							
<i>Armadilloniscus</i> sp.	2			2		2	
Unidentified sp	2				4		
Valvifera							
Idoteidae							
<i>Idotea</i> sp	2				6		
Ostracoda							
Unidentified sp.	5					1	
Stomatopoda							
Unidentified sp	2	1					
Tanaidacea							
Apseudidae							
<i>Ctenapseudes</i> sp	5044	123456789	123456789	1234568	1456789	123456789	12456789
Leptocheiliidae							
<i>Leptocheila savignyi</i> *	16				6789	8	79
Pseudotanaidae							
<i>Nesotanais lacustris</i> *	1467	6	16	13456	68	246789	6789
Tanaidac							
<i>Sinelobus stanfordi</i>	124	6			69		48
Hexapoda							
Collembola							
Isotomidae							
Unidentified sp.	9	5				67	

ตารางที่ 2 (ต่อ)

	Max density (ind m ⁻²)	Distribution occurrence (station no.)					
		April	June	August	October	December	February
Insecta							
Diptera							
Unidentified sp.	2						9
Tendipedidae							
<i>Tendipes</i> sp.	11		6	9	13567	389	269
Hemiptera							
Unidentified sp.	5						12
Cicadellidae							
Unidentified sp	2						7
Mecoptera							
Bittacidae							
Unidentified sp	4						9
Odonata							
Agrionidae							
<i>Hetaerina</i> sp.	7						9
Chordata							
Teleostomi							
Fish larvae sp.1	2					2	
Fish larvae sp.2	2						6
Fish larvae sp.3	2						1
Fish larvae sp.4	2						2
Apogonidae							
Unidentified sp.	5	689					
Gobiidae							
<i>Oxyurichthys</i> sp.	2	7	59	7			
Unidentified sp.1	2	3	5				
Unidentified sp.2	2		14	2	5	149	67
Hemirhamphidae							
Unidentified sp	2		1	2			
Symbranchidae							
<i>Macrotrema caligans</i>	2		9	8	12	2	19

* อาจมี *Nesotanais* สเปชิสอื่นปะปนอยู่บ้างเป็นส่วนน้อยซึ่งอยู่ระหว่างการจำแนก

ความอุดมสมบูรณ์ของประชาชमสัตว์หน้าดิน (จำนวนชนิด ปริมาณความชุกชุมและมวลชีวภาพ)

จำนวนสปีชีส์ต่อพื้นที่ 0.05 ตารางเมตร ในสถานีต่าง ๆ อยู่ในช่วง 8-19 สปีชีส์ (ตารางที่ 3) สถานี 5 และ สถานี 6 มีจำนวนสปีชีส์ต่อพื้นที่น้อยและมากที่สุดตามลำดับ ส่วนจำนวนตัวต่อพื้นที่อยู่ในช่วง 46-177 ตัว สถานีที่มีจำนวนต่ำกว่า 100 ตัวต่อ 0.05 ตารางเมตร คือ สถานี 3, 7, 8 และ 9 โดยมีค่ามากที่สุดที่ สถานี 6

สถานี 6 และ สถานี 9 มีจำนวนสปีชีส์ของสัตว์หน้าดิน (105 สปีชีส์) มากกว่าที่สถานีอื่น ๆ ซึ่งพบอยู่ในช่วง 65-100 สปีชีส์ polychaete annelid เป็นสัตว์หน้าดินที่พบหลายชนิดที่สุด โดยพบในแต่ละสถานีอยู่ในช่วง 30 (สถานี 4, 5)-49 (สถานี 9) สปีชีส์ Crustacea พบร่องลงมา โดยพบในแต่ละสถานีอยู่ในช่วง 19 (สถานี 5)-39 (สถานี 6) สปีชีส์ Mollusca พบร่องลงมาเป็นอันดับสาม อยู่ในช่วง 8-16 สปีชีส์ โดยมีจำนวนสปีชีส์น้อยที่สุดที่สถานี 5 ส่วนที่สถานีอื่นมีจำนวนใกล้เคียงกัน ส่วนสัตว์หน้าดินกลุ่มนี้ ๆ ซึ่งเป็นการรวมของไฟลัมย่อย ๆ ที่เหลือ พบร่วมกับสปีชีส์น้อย พบรอยู่ในช่วง 4-12 สปีชีส์

จำนวนสปีชีส์ต่อพื้นที่ 0.05 ตารางเมตร ในเดือนต่าง ๆ อยู่ในช่วง 8-15 สปีชีส์ (ตารางที่ 3) ในเดือนกุมภาพันธ์ มีจำนวนสปีชีส์น้อยที่สุด ส่วนจำนวนตัวต่อพื้นที่ 0.05 ตารางเมตร พบรอยู่ในช่วง 76-308 ตัวต่อตารางเมตร โดยมีค่าต่ำสุดและสูงสุดในเดือนตุลาคมและเมษายนตามลำดับ

จำนวนสปีชีส์ของสัตว์หน้าดินโดยรวมทุกไฟลัมในแต่ละเดือนมีมากที่สุดในช่วงกตุ่มรสมะวันตกเฉียงได้ (มิถุนายน-ตุลาคม) โดยมีอยู่ในช่วง 102-112 สปีชีส์ ส่วนฤดูหนาวอีนมีอยู่ในช่วง 81-95 สปีชีส์ Polychaeta (43-52 สปีชีส์) และ Mollusca (14-18 สปีชีส์) มีแนวโน้มว่ามีจำนวนสปีชีส์มากในกตุ่มรสมะวันตกเฉียงได้ เช่นกัน ส่วน Crustacea นั้น มีแนวโน้มว่ามากที่สุดในกตุ่ร้อนเดือนเมษายน (40 สปีชีส์) ส่วนเดือนอื่น ๆ อยู่ในช่วง 30-34 สปีชีส์ ไฟลัมย่อย ๆ ที่เหลือมีน้อยชนิด (6-11 สปีชีส์) โดยมีน้อยที่สุดในเดือนเมษายน

ตารางที่ 3 จำนวนสปีชีส์และจำนวนสัตว์หน้าดินต่อหน่วยพื้นที่ 0.05 ตารางเมตร หรือ 1 grab ในแต่ละสถานี และเดือนและจำนวนสปีชีส์ทั้งหมดของสัตว์หน้าดินแต่ละไฟลัม

Station/ Month	species / grab	Individuals / grab	No. species of				
			Total fauna	Polychaeta	Crustacea	Mollusca	Others
1	11	134	100	40	32	16	12
2	11	124	86	38	26	13	9
3	10	74	92	45	30	10	7
4	10	177	82	30	33	15	4
5	8	103	65	30	19	8	8
6	19	531	105	43	39	16	7
7	11	46	95	44	29	15	7
8	12	82	91	46	24	16	5
9	14	97	105	49	32	14	10
April 1998	10	308	89	35	40	8	6
June	14	180	102	43	34	14	11
August	15	109	112	52	34	18	8
October	12	76	105	47	30	18	10
December	12	114	95	39	31	16	9
February 1999	8	124	81	27	34	12	8

รูปที่ 6 แสดงปริมาณของสัตว์หน้าดินในสถานีต่าง ๆ จำนวนตัวโดยเฉลี่ยของสัตว์หน้าดินรวมมีมากที่สุดที่สถานี 6 (10616 ตัว/ตร.ม.) และน้อยที่สุดที่สถานี 7 (926 ตัว/ตร.ม.) ที่สถานี 6 มีสัตว์หน้าดินกลุ่มหลักมากที่สุดทุกกลุ่ม (*Polychaeta*=949 ตัว/ตร.ม., *Crustacea*=2397 ตัว/ตร.ม. และ *Mollusca*=7265 ตัว/ตร.ม.) ส่วนไฟลัมย่อยอื่นๆ พนมากที่สุดที่สถานี 9 (18 ตัว/ตร.ม.)

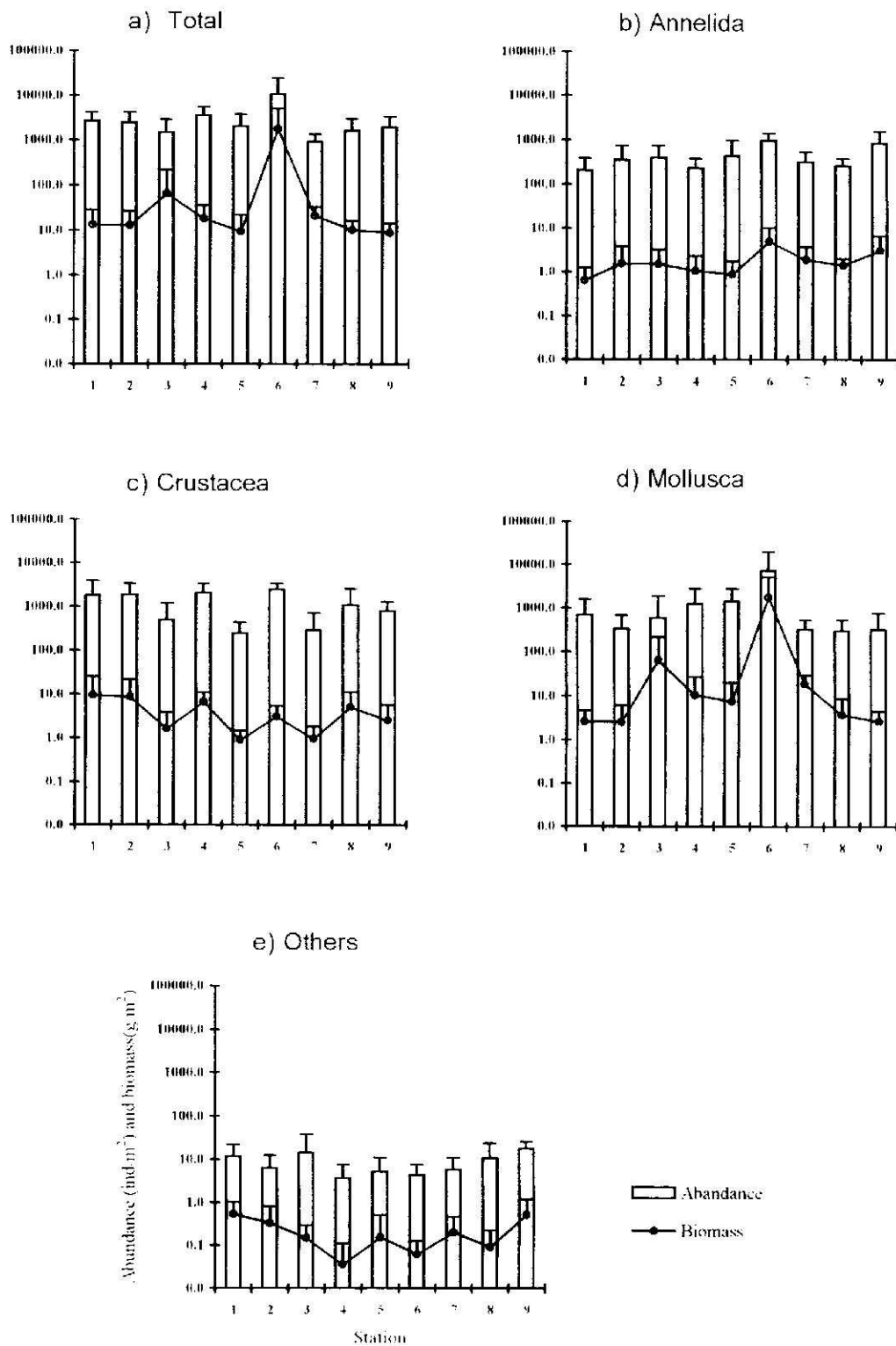
มวลชีวภาพโดยเฉลี่ยของสัตว์หน้าดินรวมมีมากที่สุดที่สถานี 6 (1813 กรัม/ตร.ม.) รองลงมาที่สถานี 3 (67 กรัม/ตร.ม.) ส่วนที่สถานีอื่น ๆ มีค่าใกล้เคียงกันอยู่ในช่วง 9-22 กรัมต่อตารางเมตร ที่สถานี 6 มีมวลชีวภาพของ *Polychaeta* (5 กรัม/ตร.ม.) และ *Mollusca* (1804 กรัม/ตร.ม.) สูงกว่าสถานีอื่น ๆ ส่วนปริมาณมวลชีวภาพของ *Crustacea* ที่สถานี 1 (10 กรัม/ตร.ม.) และสถานี 2 (9 กรัม/ตร.ม.) มีมากกว่าสถานีอื่น ๆ

รูปที่ 7 แสดงปริมาณสัตว์หน้าดินในเดือนต่าง ๆ จำนวนตัวของสัตว์หน้าดินรวมมีมากที่สุด (6155 ตัว/ตร.ม.) ในฤดูร้อนเดือนเมษายน ในเดือนตุลาคมมีจำนวนสัตว์หน้าดินน้อยที่สุด (1508 ตัว/ตร.ม.) *Polychaeta* มีแนวโน้มว่าซุกชุมในฤดูมรสุมตะวันตกเฉียงใต้ โดยมีปริมาณสูงสุดในเดือนมิถุนายน (772 ตัว/ตร.ม.) และมีปริมาณลดลงในฤดูฝนเดือนธันวาคม (228 ตัว/ตร.ม.) และเดือนกุมภาพันธ์ (173 ตัว/ตร.ม.) ไฟลัม *Crustacea* พบว่ามีปริมาณมากที่สุด (2015 ตัว/ตร.ม.) ในฤดูร้อนเดือนเมษายน และมีแนวโน้มว่ามีจำนวนลดลงในฤดูมรสุม ตะวันตกเฉียงใต้บางเดือน (สิงหาคม=645 ตัว/ตร.ม. และตุลาคม=351 ตัว/ตร.ม.) สัตว์หน้าดินไฟลัม *Mollusca* มีจำนวนมาก (3791 ตัว/ตร.ม.) ในฤดูร้อนเดือนเมษายนเช่นกัน โดยมีจำนวนน้อยที่สุด (429 ตัว/ตร.ม.) ในเดือนกุมภาพันธ์ ส่วนสัตว์หน้าดินไฟลัมย่อยอื่น ๆ รวมกันแล้วมีจำนวนอยู่ในช่วง 4 (เมษายน)-19 (สิงหาคม) ตัวต่อตารางเมตร.

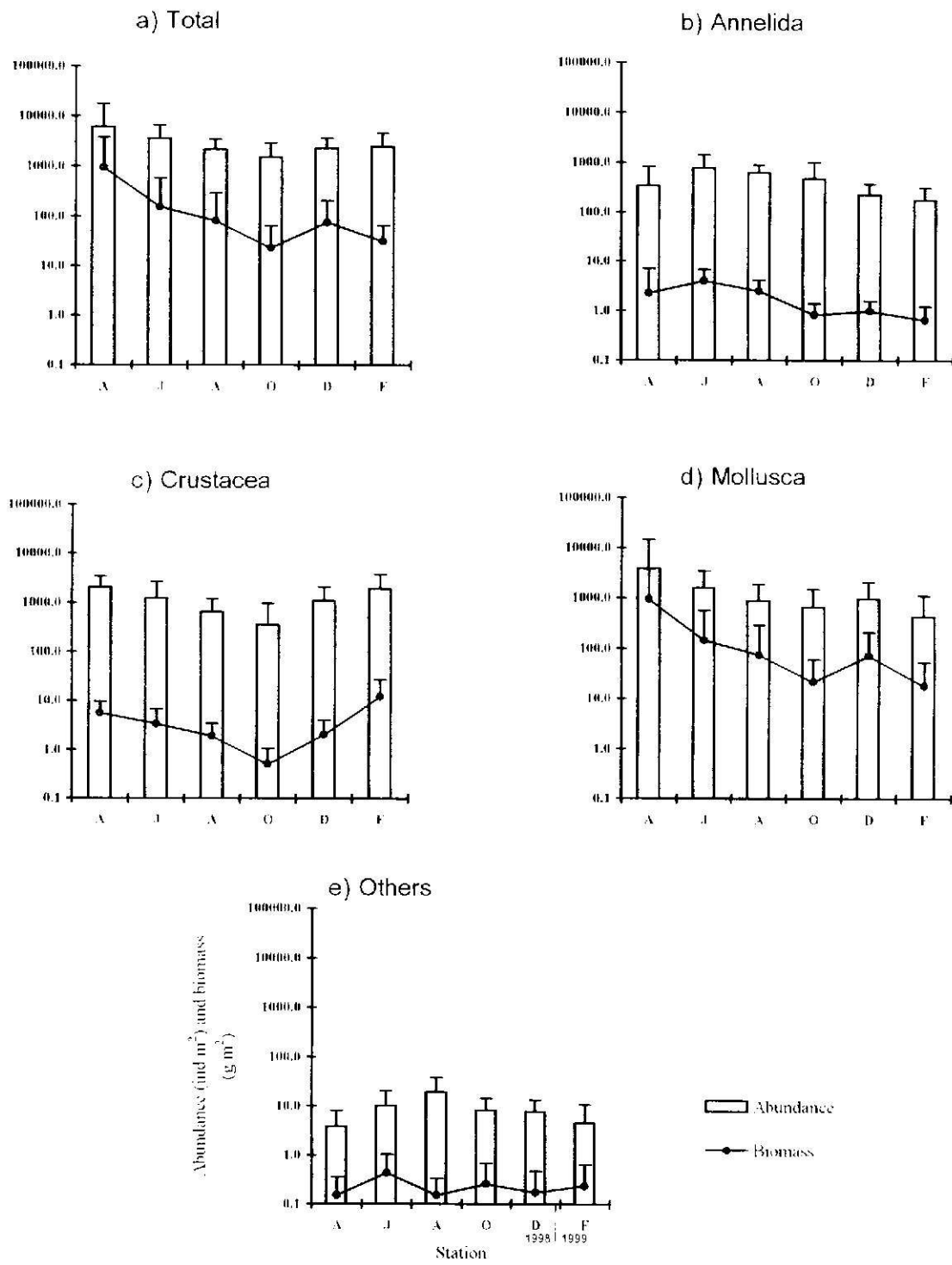
ในกรณีของมวลชีวภาพรวม พนว่า ในเดือนเมษายนมีปริมาณมากที่สุด (951 กรัม/ตร.ม.) ส่วนเดือนอื่น ๆ พนอยู่ในช่วง 23-155 กรัมต่อตารางเมตร โดยมีค่าต่ำที่สุดในเดือนตุลาคม *Polychaeta* มีมวลชีวภาพมากที่สุดในเดือนมิถุนายน (4 กรัม/ตร.ม.) *Crustacea* มีมวลชีวภาพมากที่สุดในเดือนกุมภาพันธ์ (12 กรัม/ตร.ม.) ส่วน *Mollusca* มีมวลชีวภาพมากที่สุดในเดือนเมษายน (943 กรัม/ตร.ม.) ในเดือนกุมภาพันธ์มีมวลชีวภาพของ *Polychaeta* (0.7 กรัม/ตร.ม.) และ *Mollusca* (18 กรัม/ตร.ม.) น้อยที่สุด

สัดส่วนของเบอร์เช็น์ความซุกชุมระหว่างสัตว์หน้าดินกลุ่มหลัก มีความแตกต่างกันบ้างในแต่ละสถานี (ตารางที่ 4) สถานีที่มี *Crustacea* เป็นกลุ่มเด่นที่สุด ได้แก่ สถานี 1 (66.17%) สถานี 2 (72.35%) สถานี 4 (57.91%) และสถานี 8 (64.97%) สถานีที่มี *Pelecypoda* เป็นกลุ่มเด่นที่สุด ได้แก่ สถานี 3 (38.79%) สถานี 5 (65.79%) และสถานี 6 (64.82%) ส่วนที่สถานี 7 และ 9 มีสัดส่วนระหว่าง *Crustacea* และ *Polychaeta* ใกล้เคียงกันคือ ประมาณ 30% และ 40% ตามลำดับ

สัดส่วนของเบอร์เช็น์ความซุกชุมระหว่างสัตว์หน้าดินกลุ่มหลักมีความแตกต่างกันในบางฤดูกาล (ตารางที่ 5) ในฤดูร้อนเดือนเมษายน *Pelecypoda* มีความซุกชุมที่สุด (60.28%) โดยมีแนวโน้มว่าลดลงเรื่อย ๆ ตั้งแต่ปีงเข้าฤดูฝนตากหนัก และมีปริมาณลดลงเหลือ 12.00% ในเดือนกุมภาพันธ์ ซึ่งน้ำมีความเค็มต่ำที่สุด (0 พีโอดซู) ตรงกันข้ามกับพาก *Crustacea* มีความซุกชุมมากในช่วงฤดูฝนตากหนักเดือนธันวาคม (48.06%) และเดือนกุมภาพันธ์ (75.76%) ส่วน *Polychaeta* นั้น โดยทั่วไปมีความซุกชุมน้อยกว่าสองกลุ่มแรก แม้ว่ามีจำนวนชนิดมากกว่า พากนี้มีปริมาณลดลงในฤดูร้อน (5.62%) และฤดูฝนตากหนัก (6.90-9.96%) แต่ค่อนข้างซุกชุม ในฤดูมรสุมตะวันตกเฉียงใต้ซึ่งมีฝนตกปานกลาง (21.42-32.01%)



รูปที่ 6 ความชุกชุมเฉลี่ย (ตัว/ตร.ม.) และมวลชีวภาพ (กรัม/ตร.ม.) ของสัตว์หน้าดินในแต่ละสถานี (Others ดูตารางที่ 2)



รูปที่ 7 ความชุกชุมเฉลี่ย (ตัว/ตร.ม.) และมวลชีวภาพ (กรัม/ตร.ม.) ของสัตว์หน้าดินในแต่ละเดือน (Others คุณารางที่ 2)

ตารางที่ 4 เปอร์เซ็นต์ความชุกชุม (ตัว/ตร.ม.) ระหว่างสัตว์น้ำดินกลุ่มหลักในเชิงพื้นที่

Taxa/ Station	1	2	3	4	5	6	7	8	9
Annelida	7.63	13.90	26.27	6.42	20.71	8.94	34.42	15.64	42.19
Gastropoda	24.58	6.97	1.17	0.81	1.69	3.63	15.41	12.70	14.25
Pelecypoda	1.17	6.53	38.79	34.76	65.79	64.82	19.11	6.03	2.24
Crustacea	66.17	72.35	32.79	57.91	11.56	22.58	30.43	64.97	40.37
Others	0.44	0.26	0.98	0.10	0.25	0.04	0.62	0.65	0.94

ตารางที่ 5 เปอร์เซ็นต์ความชุกชุม (ตัว/ตร.ม.) ระหว่างสัตว์น้ำดินกลุ่มหลักดังแต่เดือนเมษายน 2541- กุมภาพันธ์ 2542

Taxa/ Month	April	June	August	October	December	February 1999
Annelida	5.62	21.42	28.51	32.01	9.96	6.90
Gastropoda	1.31	5.12	5.31	22.32	19.07	5.15
Pelecypoda	60.28	39.06	35.54	21.84	22.57	12.00
Crustacea	32.73	34.12	29.76	23.29	48.06	75.76
Others	0.06	0.28	0.89	0.54	0.34	0.19

โครงสร้างประชาคมสัตว์น้ำดิน

เปอร์เซ็นต์ความคล้ายคลึงของโครงสร้างประชาคมสัตว์น้ำดินระหว่างสถานีและระหว่างฤดูกาล ซึ่งวิเคราะห์แบบ non-metric MDS โดยใช้ Bray-Curtis similarity ได้แสดงเป็นเดนไตรแกรม 2 มุมมองดังนี้

ความคล้ายคลึงของโครงสร้างประชาคมสัตว์น้ำดินในเชิงพื้นที่

ที่ระดับความคล้ายคลึง 60-63% พบว่าโครงสร้างสัตว์น้ำดินไฟลัมต่าง ๆ และโครงสร้างรวมสามารถจัดได้ 2-4 กลุ่ม (รูปที่ 8)

Annelida - จัดได้ 3 กลุ่ม คือ [6-9] [1-2-3-7-8] [4-5]

Crustacea - จัดได้ 3 กลุ่ม คือ [6] [5] [1-2-3-4-7-8-9]

Mollusca - จัดได้ 5 กลุ่ม คือ [6] [9] [4] [3-5] [1-2-7-8]

Others - จัดได้ 6 กลุ่ม คือ [6] [3] [4] [5-7] [1-2] [8-9]

ทุกไฟลัม - จัดได้ 4 กลุ่ม คือ [6] [9] [4-5] [1-2-3-7-8]

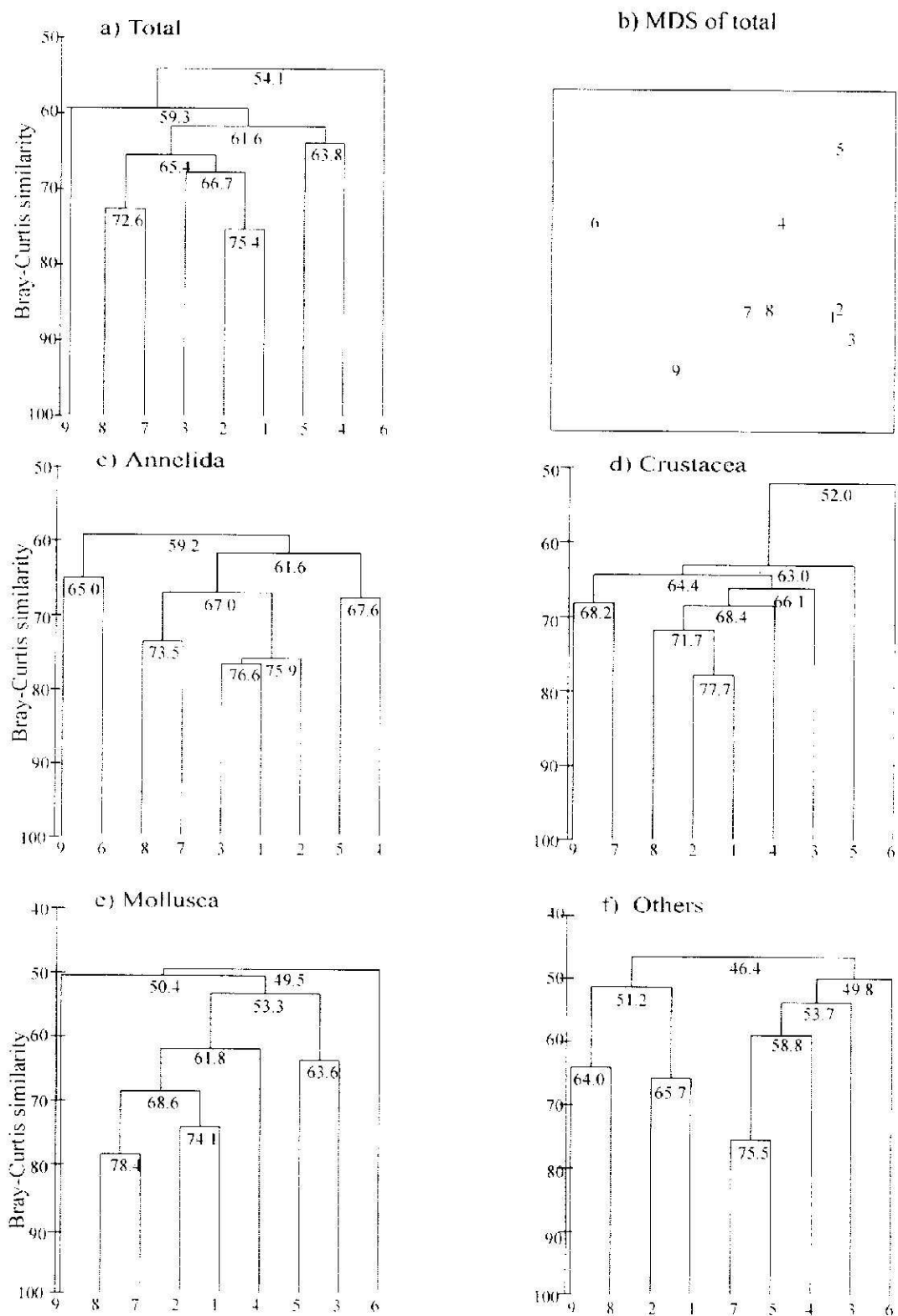
ถ้าพิจารณาที่เปอร์เซ็นต์ความคล้ายคลึงสูงขึ้น พบร่วมแต่ละสถานีจะแยกออกเป็นกลุ่มย่อยมากขึ้น เพราะแต่ละสถานีมีความคล้ายคลึงกับปานกลาง อุปนิชั่วง 50-78% โดยส่วนใหญ่จันทร์อุปนิชั่วง 60-70% ดัง เช่น ที่ระดับความคล้ายคลึง 70% พบร่วมโครงสร้างประชาคมสัตว์หน้าดินไฟลัมต่าง ๆ สามารถจัดกลุ่มได้ 7-8 กลุ่ม

- Annelida - จัดได้ 6 กลุ่ม คือ [9] [6] [7-8] [1-2-3] [4] [5]
- Crustacea - จัดได้ 7 กลุ่ม คือ [9] [6] [7] [5] [4] [3] [1-2-8]
- Mollusca - จัดได้ 7 กลุ่ม คือ [9] [6] [7-8] [5] [4] [3] [1-2]
- Others - จัดได้ 8 กลุ่ม คือ [9] [8] [6] [5-7] [4] [3] [2] [1]
- ทุกไฟลัม - จัดได้ 7 กลุ่ม คือ [9] [6] [5] [4] [3] [7-8] [1-2]

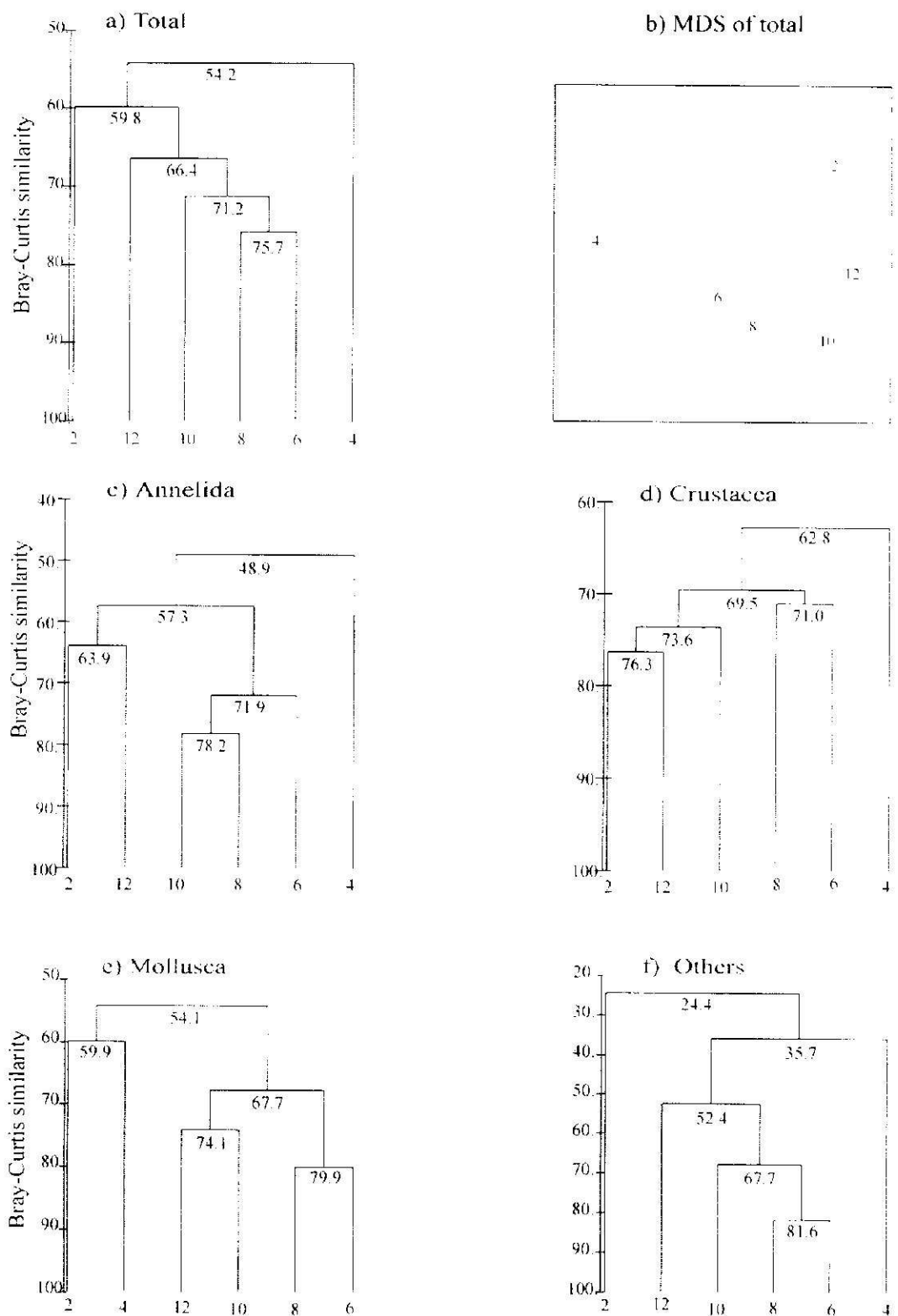
ความคล้ายคลึงของโครงสร้างประชาคมสัตว์หน้าดินในเชิงเวลา

ที่ระดับความคล้ายคลึง 60-63% พบร่วมโครงสร้างสัตว์หน้าดินไฟลัมต่าง ๆ และโครงสร้างรวม สามารถจัดได้ 2-4 กลุ่ม (รูปที่ 9)

- Annelida - จัดได้ 3 กลุ่ม คือ [ธันวาคม-กุมภาพันธ์] [มิถุนายน-สิงหาคม-ตุลาคม] [เมษายน]
- Crustacea - จัดได้ 2 กลุ่ม คือ [มิถุนายน-สิงหาคม-ตุลาคม-ธันวาคม-กุมภาพันธ์] [เมษายน]
- Mollusca - จัดได้ 2 กลุ่ม คือ [กุมภาพันธ์-เมษายน] [มิถุนายน-สิงหาคม-ตุลาคม-ธันวาคม]
- Others - จัดได้ 4 กลุ่ม คือ [กุมภาพันธ์] [ธันวาคม] [มิถุนายน-สิงหาคม-ตุลาคม] [เมษายน]
- ทุกไฟลัม - จัดได้ 3 กลุ่ม คือ [กุมภาพันธ์] [มิถุนายน-สิงหาคม-ตุลาคม-ธันวาคม] [เมษายน]



รูปที่ 8 เด่นโปรแกรมการจัดกลุ่มโครงสร้างประชากรมสัตว์หน้าดินไฟล์ต่างๆ ในเชิงพื้นที่ ($n = 54$) และ MDS ของโครงสร้างประชากรมสัตว์หน้าดินรวมทุกไฟล์ (ตัวเลข 1-9 บนแกนนอน แทนแต่ละสถานี)



รูปที่ 9 เทนโดยโปรแกรมการจัดกลุ่มโครงสร้างประชากรมสัตว์หน้าดินในเชิงเวลา ($n=54$) และ MDS ของโครงสร้างประชากรมสัตว์หน้าดินรวมทุกไฟล์ (ตัวเลข 2, 4, 6, 8, 10 และ 12 ในแต่ละแกนนอนแทนเดือนกุมภาพันธ์, เมษายน, มิถุนายน, สิงหาคม, ตุลาคม และธันวาคม ตามลำดับ)

ถ้าพิจารณาที่เปอร์เซ็นต์ความคล้ายคลึงสูงขึ้น พบร่วมแต่ละเดือนจะแบกออกเป็นกลุ่มย่อยมากขึ้น เพราะแต่ละเดือนมีความคล้ายคลึงกันบานกลาง อุปในช่วง 50-81% โดยส่วนใหญ่บวกกับอุปในช่วง 60-70% ดังเช่น ที่ระดับความคล้ายคลึง 70% พบร่วมโครงสร้างประชาคมสัตว์หน้าดินไฟลัมต่าง ๆ สามารถจัดกลุ่มได้ 3-5 กลุ่ม

Annelida	- จัดได้ 4 กลุ่ม คือ กลุ่ม [เมษายน] [ธันวาคม] [กุมภาพันธ์] [มิถุนายน-สิงหาคม-ตุลาคม]
Crustacea	- จัดได้ 3 กลุ่ม คือ กลุ่ม [เมษายน] [มิถุนายน-สิงหาคม] [ตุลาคม-ธันวาคม-กุมภาพันธ์]
Mollusca	- จัดได้ 4 กลุ่ม คือ กลุ่ม [มิถุนายน-สิงหาคม] [ตุลาคม-ธันวาคม] [เมษายน] [กุมภาพันธ์]
Others	- จัดได้ 5 กลุ่ม คือ กลุ่ม [มิถุนายน-สิงหาคม] [ตุลาคม] [ธันวาคม] [เมษายน] [กุมภาพันธ์]
ทุกไฟลัม	- จัดได้ 4 กลุ่ม คือ [มิถุนายน-สิงหาคม-ตุลาคม] [ธันวาคม] [เมษายน] [กุมภาพันธ์]

ความสัมพันธ์ระหว่างปัจจัยสิ่งแวดล้อมกับสัตว์หน้าดิน

ในเชิงพื้นที่

จากการวิเคราะห์ความสัมพันธ์ระหว่างปัจจัยสิ่งแวดล้อมกับประชาคอมสัตว์หน้าดิน (ชนิดและความซุกซุม) ในเชิงพื้นที่และเชิงเวลา โดยใช้การวิเคราะห์หาค่าสหสมพันธ์ (best variable combinations, P_w) แบบ Harmonic rank correlation coefficient (weighted spearman) พบร่วม ค่าสหสมพันธ์สูงสุดเท่ากับ 0.82 โดยมีปัจจัยที่เกี่ยวข้อง 3 ปัจจัย ซึ่งประกอบด้วย %Sand TN และ DO (ตารางที่ 6) นอกจากนี้ พบร่วมประชาคอมสัตว์หน้าดินแต่ละไฟลัมมีความสัมพันธ์กับปัจจัยแวดล้อมที่ต่างกัน แม้ว่าอาศัยอยู่ในบริเวณเดียวกัน ค่าสหสมพันธ์สูงสุด (0.74) เกิดขึ้นระหว่าง Polychaeta กับปัจจัยแวดล้อม 4 ปัจจัย ซึ่งประกอบด้วย %Silt TN DO และ temperature (ตารางที่ 7) ค่าสหสมพันธ์สูงสุด (0.71) เกิดขึ้นระหว่าง Crustacea กับปัจจัยแวดล้อม 3 ปัจจัย ซึ่งประกอบด้วย %Sand TN และ DO (ตารางที่ 8) ค่าสหสมพันธ์สูงสุด (0.53) เกิดขึ้นระหว่าง Mollusca กับปัจจัยแวดล้อม 3 ปัจจัย ซึ่งประกอบด้วย %Clay TN และ DO (ตารางที่ 9) ส่วนสัตว์หน้าดินในกลุ่มย่อย ๆ มีค่าสหสมพันธ์น้อยกว่า 0.4 (ตารางที่ 10)

ในเชิงเวลา

เป็นที่น่าสังเกตว่าความสัมพันธ์ระหว่างปัจจัยแวดล้อมกับประชาคอมสัตว์หน้าดินในเชิงเวลา มีค่าสหสมพันธ์โดยทั่วไปค่อนข้างสูง สูงกว่าค่าสหสมพันธ์ในเชิงพื้นที่ ยิ่งกว่านั้นมีความสัมพันธ์กับปัจจัยแวดล้อมที่ต่างกันทั้งรูปแบบและจำนวนปัจจัย โดยพบร่วมค่าสหสมพันธ์สูงสุด 0.84 และมีปัจจัยที่เกี่ยวข้องรวมกัน 8 ปัจจัย คือ %Clay %Silt OC pHs Depth DO TSS และ Temp. (ตารางที่ 11) อย่างไรก็ตาม OC เป็นปัจจัยที่มีความสำคัญต่อโครงสร้างสัตว์หน้าดินมากที่สุด นอกจากนี้พบร่วมประชาคอมสัตว์หน้าดินแต่ละกลุ่มหรือไฟลัมมีความสัมพันธ์กับปัจจัยแวดล้อมต่างกันด้วยเช่นกัน โดยพบร่วม Polychaeta มีค่าสหสมพันธ์สูงสุด (0.88) กับ 5 ปัจจัย คือ %Silt OC OM pHs และ Temp. (ตารางที่ 12) ในขณะที่ Crustacea มีค่าสหสมพันธ์สูงสุด (0.87) กับ 5 ปัจจัย คือ %Clay OC pHs DO และ TSS (ตารางที่ 13) Mollusca มีค่าสหสมพันธ์สูงสุด (0.68) กับ 6 ปัจจัย คือ %Sand OC OM pHs DO และ Temp. (ตารางที่ 14) ส่วนสัตว์หน้าดินในไฟลัมอื่น ๆ มีค่าสหสมพันธ์สูงสุด (0.90) กับปัจจัยเดียวคือ OC (ตารางที่ 15)

ตารางที่ 6 ค่า Harmonic rank correlation coefficient (weighted spearman) ระหว่างปัจจัยสิ่งแวดล้อมกับประชาคมสัตว์หน้าดินรวมตามสถานีต่างๆ

ตารางที่ 7 ค่า Harmonic rank correlation coefficient (weighted spearman) ระหว่างปัจจัยสิ่งแวดล้อมกับประชาชomatic Polychaeta ตามสถานีในทะเลหลวงตอนล่าง

1	0.41	TN												
2	0.58	TN	DO											
3	0.70	%Silt	TN	DO										
4	0.74	%Silt	TN	DO	Temp									
5	0.70	%Clay	%Silt	TN	DO	Temp								
6	0.65	%Clay	%Silt	%Sand	TN	DO	Temp							
7	0.64	%Silt	%Sand	OC	TN	DO	TSS	Temp						
8	0.62	%Clay	%Silt	%Sand	OC	TN	DO	TSS	Temp					
9	0.59	%Clay	%Silt	%Sand	OC	OM	TN	pHw	DO	Temp				
10	0.57	%Clay	%Silt	%Sand	OC	OM	TN	pHw	DO	TSS	Temp			
11	0.52	%Clay	%Silt	%Sand	OC	OM	TN	Depth	pHw	DO	Sal	Temp		
12	0.47	%Clay	%Silt	%Sand	OC	OM	TN	pHs	pHw	DO	TSS	Sal	Temp	
13	0.43	%Clay	%Silt	%Sand	OC	OM	TN	pHs	Depth	pHw	DO	TSS	Sal	Temp

ตารางที่ 8 ค่า Harmonic rank correlation coefficient (weighted spearman) ระหว่างปัจจัยสิ่งแวดล้อมกับ
ประชาชัม Crustacea ตามสถานีในทะเลหลวงตอนล่าง

1	0.35	TN												
2	0.61	%Sand	DO											
3	0.71	%Sand	TN	DO										
4	0.67	%Sand	TN	pHw	DO									
5	0.66	%Clay	%Sand	TN	pHw	DO								
6	0.64	%Clay	%Silt	%Sand	TN	pHw	DO							
7	0.62	%Clay	%Silt	%Sand	OC	TN	pHw	DO						
8	0.60	%Clay	%Silt	%Sand	OC	TN	pHw	DO	Sal					
9	0.57	%Clay	%Silt	%Sand	OC	TN	pHw	DO	TSS	Sal				
10	0.56	%Clay	%Silt	%Sand	OC	TN	pHw	DO	TSS	Sal	Temp			
11	0.56	%Clay	%Silt	%Sand	OC	TN	pHs	pHw	DO	TSS	Sal	Temp		
12	0.51	%Clay	%Silt	%Sand	OC	TN	pHs	Depth	pHw	DO	TSS	Sal	Temp	
13	0.48	%Clay	%Silt	%Sand	OC	OM	TN	pHs	Depth	pHw	DO	TSS	Sal	Temp

ตารางที่ 9 ค่า Harmonic rank correlation coefficient (weighted spearman) ระหว่างปัจจัยสิ่งแวดล้อมกับ
ประชาชัม Mollusca ตามสถานีในทะเลหลวงตอนล่าง

1	0.35	TN												
2	0.52	TN	DO											
3	0.53	%Clay	TN	DO										
4	0.48	%Clay	TN	pHw	DO									
5	0.48	%Clay	OC	TN	pHw	DO								
6	0.46	%Sand	OC	OM	TN	pHw	DO							
7	0.44	%Clay	%Sand	OC	TN	pHw	DO	Temp						
8	0.42	%Clay	%Silt	OC	OM	TN	pHw	DO	Temp					
9	0.40	%Clay	%Sand	OC	OM	TN	Depth	pHw	DO	Temp				
10	0.39	%Clay	%Sand	OC	OM	TN	Depth	pHw	DO	TSS	Temp			
11	0.36	%Clay	%Silt	%Sand	OC	OM	TN	Depth	pHw	DO	TSS	Temp		
12	0.30	%Clay	%Silt	%Sand	OC	OM	TN	pHs	Depth	pHw	DO	TSS	Temp	
13	0.26	%Clay	%Silt	%Sand	OC	OM	TN	pHs	Depth	pHw	DO	TSS	Sal	Temp

ตารางที่ 10 ค่า Harmonic rank correlation coefficient (weighted spearman) ระหว่างปัจจัยสิ่งแวดล้อมกับ
ประชามสัตว์หน้าดินกลุ่มอื่นๆ ตามสถานีในทะเลหลวงตอนล่าง

1	0.15	%Clay
2	0.30	%Clay Temp
3	0.33	%Clay TN Temp
4	0.36	%Clay TN TSS Temp
5	0.37	OC TN Depth Sal Temp
6	0.37	OC TN Depth TSS Sal Temp
7	0.36	%Silt OC TN Depth TSS Sal Temp
8	0.34	%Clay %Sand OC OM TN Depth Sal Temp
9	0.33	%Clay %Sand OC OM TN Depth TSS Sal Temp
10	0.29	%Clay %Silt %Sand OC OM TN pHs Depth TSS Sal Temp
11	0.25	%Clay %Silt %Sand OC OM TN Depth pHw TSS Sal Temp
12	0.22	%Clay %Silt %Sand OC OM TN Depth pHw DO TSS Sal Temp
13	0.20	%Clay %Silt %Sand OC OM TN pHs Depth pHw DO TSS Sal Temp

ตารางที่ 11 ค่า Harmonic rank correlation coefficient (weighted spearman) ระหว่างปัจจัยสิ่งแวดล้อมกับ
ประชามสัตว์หน้าดินรวมตามถุกกาล

1	0.81	OC
1	0.81	OM
2	0.81	OC OM
3	0.76	OC OM TSS
4	0.78	OC OM TN pHs
5	0.82	%Silt OC OM pHs Temp
6	0.82	%Sand OC OM pHs DO Temp
7	0.83	%Silt %Sand OC OM pHs Depth DO
8	0.80	%Sand OC OM TN pHs Depth DO Temp
9	0.84	%Clay %Silt OC OM pHs Depth DO TSS Temp
10	0.78	%Silt %Sand OC OM TN pHs Depth DO TSS Temp
11	0.75	%Silt %Sand OC OM TN pHs pHw DO TSS Sal Temp
12	0.72	%Silt %Sand OC OM TN pHs Depth pHw DO TSS Sal Temp
13	0.66	%Clay %Silt %Sand OC OM TN pHs Depth pHw DO TSS Sal Temp

ตารางที่ 12 ค่า Harmonic rank correlation coefficient (weighted spearman) ระหว่างปัจจัยสิ่งแวดล้อมกับ
ประชากม Polychaeta ตามถูกการ

1	0.85	OC												
1	0.85	OM												
2	0.85	OC	OM											
3	0.86	OC	OM	Temp										
4	0.85	OC	OM	pHs	Temp									
5	0.88	%Silt	OC	OM	pHs	Temp								
6	0.87	%Sand	OC	OM	pHs	DO	Temp							
7	0.86	%Silt	%Sand	OC	OM	pHs	Depth	DO						
8	0.85	%Silt	%Sand	OC	OM	pHs	Depth	DO	TSS					
9	0.88	%Silt	%Sand	OC	OM	pHs	Depth	DO	TSS	Temp				
10	0.86	%Clay	%Silt	OC	OM	pHs	Depth	DO	TSS	Sal	Temp			
11	0.83	%Silt	%Sand	OC	OM	TN	pHs	pHw	DO	TSS	Sal	Temp		
12	0.78	%Clay	%Silt	OC	OM	TN	pHs	Depth	pHw	DO	TSS	Sal	Temp	
13	0.70	%Clay	%Silt	%Sand	OC	OM	TN	pHs	Depth	pHw	DO	TSS	Sal	Temp

ตารางที่ 13 ค่า Harmonic rank correlation coefficient (weighted spearman) ระหว่างปัจจัยสิ่งแวดล้อมกับ
ประชากม Crustacea ตามถูกการ

1	0.75	TN												
2	0.76	TN	TSS											
3	0.86	TN	DO	TSS										
4	0.87	%Clay	OC	DO	TSS									
5	0.87	%Clay	OC	pHs	DO	TSS								
6	0.85	%Clay	OC	TN	DO	TSS	Temp							
7	0.86	%Clay	OC	OM	TN	pHs	DO	TSS						
8	0.81	%Clay	OC	OM	TN	pHs	DO	TSS	Temp					
9	0.79	%Clay	%Silt	OC	OM	TN	pHs	DO	TSS	Temp				
10	0.77	%Clay	%Silt	OC	OM	TN	pHs	Depth	DO	TSS	Temp			
11	0.67	%Clay	%Silt	%Sand	OC	TN	pHs	Depth	DO	TSS	Sal	Temp		
12	0.62	%Clay	%Silt	%Sand	OC	OM	TN	pHs	Depth	DO	TSS	Sal	Temp	
13	0.51	%Clay	%Silt	%Sand	OC	OM	TN	pHs	Depth	pHw	DO	TSS	Sal	Temp

ตารางที่ 14 ค่า Harmonic rank correlation coefficient (weighted spearman) ระหว่างปัจจัยสิ่งแวดล้อมกับประชาชัตม์ Mollusca ตามถูกุกาก

1	0.54	OC												
1	0.54	OM												
2	0.55	OC	DO											
3	0.56	OC	DO	TSS										
4	0.56	OC	OM	DO	Temp									
5	0.59	OC	OM	TN	pHs	DO								
6	0.68	%Sand	OC	OM	pHs	DO	Temp							
7	0.66	%Silt	%Sand	OC	OM	pHs	Depth	DO						
8	0.60	%Silt	%Sand	OC	OM	pHs	Depth	DO	TSS					
9	0.61	%Silt	%Sand	OC	OM	pHs	Depth	DO	TSS	Temp				
10	0.52	%Clay	%Silt	%Sand	OC	OM	pHs	Depth	DO	TSS	Temp			
11	0.47	%Silt	%Sand	OC	OM	TN	pHs	pHw	DO	TSS	Sal	Temp		
12	0.38	%Silt	%Sand	OC	OM	TN	pHs	Depth	pHw	DO	TSS	Sal	Temp	
13	0.35	%Clay	%Silt	%Sand	OC	OM	TN	pHs	Depth	pHw	DO	TSS	Sal	Temp

ตารางที่ 15 ค่า Harmonic rank correlation coefficient (weighted spearman) ระหว่างปัจจัยสิ่งแวดล้อมกับประชาชัตม์สัตว์หน้าดินในกลุ่มอื่นๆ ตามถูกุกาก

2	0.90	OC												
2	0.90	OM												
2	0.90	OC	OM											
3	0.81	OC	OM	Depth										
4	0.84	OC	OM	Depth	DO									
5	0.81	OC	OM	TN	Depth	DO								
6	0.81	%Sand	OC	OM	pHs	DO	Sal							
7	0.85	%Silt	%Sand	OC	OM	pHs	Depth	DO						
8	0.81	%Silt	%Sand	OC	OM	pHs	Depth	DO	Sal					
9	0.77	%Sand	OC	OM	TN	pHs	Depth	DO	Sal	Temp				
10	0.72	%Silt	%Sand	OC	OM	pHs	Depth	pHw	DO	TSS	Sal			
11	0.69	%Silt	%Sand	OC	OM	pHs	Depth	pHw	DO	TSS	Sal	Temp		
12	0.65	%Silt	%Sand	OC	OM	TN	pHs	Depth	pHw	DO	TSS	Sal	Temp	
13	0.58	%Clay	%Silt	%Sand	OC	OM	TN	pHs	Depth	pHw	DO	TSS	Sal	Temp

ดัชนีความหลากหลายของสัตว์หน้าดิน

จากการวิเคราะห์ดัชนีความหลากหลาย โดยใช้สูตร Shannon-Wiener Index พบว่าค่าดัชนีที่ได้ไม่สอดคล้องกับความเป็นจริงเสมอไป คือบางสถานีหรือบางเดือนมีค่าดัชนีต่ำกว่าทั้ง ๆ ที่จำนวนสปีชีส์ของสัตว์หน้าดินมีมากกว่าบางสถานีหรือบางเดือนอย่างชัดเจน (ตารางที่ 16) ทั้งนี้เนื่องจากจำนวนสัตว์แต่ละชนิด มีค่าแตกต่างกันมาก ผลการวิเคราะห์ลักษณะนี้มักเกิดขึ้นบ่อย ๆ อาจกล่าวได้ว่านี้เป็นจุดที่ต้องระมัดระวังในการใช้ Shannon-Wiener Index ซึ่งไม่ควรใช้ค่านี้โดยลำพังในการประเมินคุณภาพสิ่งแวดล้อม (Rosenberg 1976, 1977; Angsupanich and Kuwabara 1999)

ตารางที่ 16 ค่า univariate indices ของประชากรมสัตว์หน้าดินขนาดใหญ่ซึ่งเก็บตัวอย่างด้วยจำนวนชั้น 1, 3, 5, 7, 9 และ 11 ชั้น ($k = 6$) ในแต่ละสถานี

Station	Replication number	Total species number	Individual number /grab	Shannon - Wiener index		Station	Replication number	Total species number	Individual number /grab	Shannon - Wiener index		Station	Replication number	Total species number	Individual number /grab	Shannon - Wiener index	
				Evenness	Evenness					Evenness	Evenness					Evenness	Evenness
1	1	37	157	1.37	0.379	4	1	42	204	1.92	0.515	7	1	44	45	2.86	0.756
	3	68	139	1.47	0.348		3	56	181	1.78	0.442		3	68	45	3.08	0.729
	5	80	140	1.53	0.349		5	62	168	1.69	0.409		5	76	44	3.10	0.717
	7	90	136	1.6	0.355		7	73	184	1.87	0.435		7	86	44	3.14	0.705
	9	95	134	1.62	0.355		9	79	179	1.85	0.423		9	91	47	3.09	0.685
	11	100	134	1.68	0.365		11	82	177	1.8	0.409		11	95	46	3.07	0.673
2	1	34	89	1.86	0.529	5	1	29	140	1.43	0.425	8	1	46	100	1.94	0.507
	3	62	113	1.95	0.473		3	44	113	1.49	0.393		3	63	91	1.99	0.477
	5	70	119	1.84	0.433		5	52	119	1.39	0.352		5	73	90	2.21	0.516
	7	73	122	1.8	0.42		7	61	107	1.46	0.355		7	84	88	2.3	0.519
	9	77	125	1.72	0.396		9	64	104	1.53	0.367		9	88	86	2.3	0.513
	11	86	124	1.77	0.396		11	65	103	1.55	0.371		11	91	82	2.30	0.509
3	1	42	84	2.15	0.574	6	1	55	754	1.42	0.353	9	1	49	134	2.70	0.694
	3	65	76	2.16	0.517		3	72	484	1.77	0.414		3	76	124	3.08	0.712
	5	72	74	2.28	0.531		5	89	445	1.89	0.422		5	83	104	3.15	0.714
	7	82	73	2.32	0.525		7	95	444	1.87	0.410		7	94	96	3.27	0.720
	9	86	76	2.33	0.521		9	100	496	1.82	0.395		9	100	101	3.21	0.697
	11	92	74	2.35	0.519		11	105	531	1.85	0.396		11	105	97	3.24	0.696

ตอนที่ 2 วิธีการเก็บตัวอย่างสัตว์น้ำดินที่เหมาะสม จำนวนช้าของการเก็บตัวอย่าง

จากจำนวนตัวอย่างทั้งหมด 594 grabs (9 สถานี X 11ชั้น X 6 เที่ยว) จำนวนตัวรวม 90193 ตัว จำนวนตัวต่อgrab อยู่ในช่วง 0-4768 ตัวต่อgrabs (เฉลี่ย $152+329.06$ ตัวต่อgrab) จำนวนสปีชีส์รวม 170 สปีชีส์ จำนวนสปีชีส์ต่อgrab อยู่ในช่วง 0-29 สปีชีส์ (เฉลี่ย $12+5.38$ สปีชีส์ต่อgrab) วิเคราะห์โครงสร้างประชาคมที่ได้จากการเก็บตัวอย่างด้วยจำนวนช้า 1, 3, 5, 7, 9 และ 11 ชั้น ด้วย univariate analysis และ multivariate analysis ในแต่ละสถานี แต่ละเดือน และโดยรวม (สถานีและเวลารวมกัน) ดังนี้

Univariate analysis

1. ค่า univariate indices ของประชาคมสัตว์น้ำดินขนาดใหญ่ซึ่งเก็บตัวอย่างด้วยจำนวนช้าต่างกัน ในแต่ละสถานี

สถานีที่มีจำนวนสปีชีส์มากที่สุด (105 สปีชีส์) คือสถานี 6 และสถานี 9 (105 สปีชีส์) ส่วนสถานี 5 มีจำนวนสปีชีส์น้อยที่สุด (65 สปีชีส์) ค่า univariate indices ของประชาคอมสัตว์น้ำดินขนาดใหญ่ที่เก็บตัวอย่างด้วยจำนวนช้า 1, 3, 5, 7, 9 และ 11 ชั้น ($n=6$) ในแต่ละสถานี ดังตารางที่ 16 สัตว์น้ำดินขนาดใหญ่ที่พบมากซึ่งพบไม่ช้ากับสถานีอื่น ดังนี้

สถานี 1 มี 8 สปีชีส์ คือ Dorvilleidae (unidentified sp.), Eunicidae larvae, Edwardsiidae (unidentified sp.), Buccinidae (unidentified sp.), Athanas sp.2, Ostracoda (unidentified sp.), Stomatopoda (unidentified sp.) และ fish larvae sp.3

สถานี 2 มี 6 สปีชีส์ คือ Capitamastus sp., Gari sp., Ocypodidae (unidentified sp.), Aega sp., fish larvae sp.1 และ fish larvae sp.4

สถานี 3 มี 3 สปีชีส์ คือ Cirratulus sp., Aphelochaeta sp. และ Rocinela sp.

สถานี 4 มี 2 สปีชีส์ คือ Elasmopas sp. และ Oniscidae (unidentified sp.)

สถานี 5 ไม่พบ

สถานี 6 มี 6 สปีชีส์ คือ Isaeidae (Unidentified sp.2), Cerapus sp., Melita sp.3, Anopsilana sp.3, Idotea sp. และ fish larvae sp.2

สถานี 7 มี 2 สปีชีส์ คือ Notomastus sp. และ Cicadeliidae (unidentified sp.)

สถานี 8 มี 1 สปีชีส์ คือ Paraleonates sp.2

สถานี 9 มี 7 สปีชีส์ คือ Marphysa sp., Platynereis sp., Opheliidae (unidentified sp.), Gastropoda (unidentified sp.2), Diptera (unidentified sp.), Bittacidae (unidentified sp.) และ Hetaerina sp.

สปีชีส์ที่พบเป็นประจำ (common species) แม้ว่าจะเก็บตัวอย่างเพียงช้าเดียว ก็พบทุกสถานี จำนวน 7 สปีชีส์ คือ Nephtys sp., Ceratonereis burmensis, Nereidae larvae, Maginella sp., Macoma sp., Victoriopisa sp. และ Ctenapseudes sp.

2. ค่า univariate indices ของประชากรมสัตว์หน้าดินขนาดใหญ่ซึ่งเก็บตัวอย่างด้วยจำนวนช้ำต่างกันในแต่ละเดือน

เดือนที่พบจำนวนสปีชีส์มากที่สุดคือเดือนสิงหาคม จำนวน 112 สปีชีส์ และมีจำนวนสปีชีส์น้อยที่สุดในเดือนกุมภาพันธ์ จำนวน 81 สปีชีส์ ค่า univariate indices ของประชากรมสัตว์หน้าดินขนาดใหญ่ที่เก็บตัวอย่างด้วยจำนวนช้ำ 1, 3, 5, 7, 9 และ 11 ช้ำ ($n=9$) ในแต่ละเดือน ตั้งตารางที่ 17. สัตว์หน้าดินขนาดใหญ่ที่พบมากซึ่งพบไม่ช้ำกับเดือนอื่น ดังนี้

เดือนเมษายน มี 8 สปีชีส์ ได้แก่ Dorvilleidae (unidentified sp.), Eunicidae larvae, Ceratonereis sp., Platynereis sp., Cerapus sp., Rocinela sp., Stomatopoda (unidentified sp.) และ Apogonoidae (unidentified sp.)

เดือนมิถุนายน มี 4 สปีชีส์ ได้แก่ Paraleonnates sp.2, Sabellastarte sp., Isaeidae (unidentified sp.2) และ Melita sp.3

เดือนสิงหาคม มี 6 สปีชีส์ ได้แก่ Cirratulus sp., Parahesione sp., Lysilla sp., Buccinidae (unidentified sp.), Ocypodidae (unidentified sp.) และ Aega sp.

เดือนตุลาคม มี 5 สปีชีส์ ได้แก่ Opheliidae (unidentified sp.), Edwardsiidae (unidentified sp.), Oniscidea (unidentified sp.), Idotea sp. และ fish larvae sp.1

เดือนธันวาคม มี 6 สปีชีส์ ได้แก่ Gari sp., Elasmopus sp., Ostracoda (unidentified sp.), Cicadeliidae (unidentified sp.), fish larvae sp.2 และ fish larvae sp.4

เดือนกุมภาพันธ์ มี 8 สปีชีส์ ได้แก่ Gastropoda sp.1, Gastropoda sp.2, Athanas sp.2, Diptera (unidentified sp.), Hemiptera (unidentified sp.), Bittacidae (unidentified sp.), Hetaerina sp. และ fish larvae sp.3

สปีชีส์ที่พบเป็นประจำแม้ว่าจะเก็บตัวอย่างเพียงช้ำเดียวก็พบตัวอย่างทุกเดือนมี 9 สปีชีส์ ได้แก่ Nephtys sp., Minuspio sp.2, Maginella sp., Macoma sp., Brachidontes arcuatus, Photis longicaudata, Victorioipa sp., Cyathura sp.1 และ Ctenapseudes sp.

3. ค่า univariate indices ของประชากรมสัตว์หน้าดินขนาดใหญ่ซึ่งเก็บตัวอย่างด้วยจำนวนช้ำต่างกันโดยรวม

ประชากรมสัตว์หน้าดินขนาดใหญ่ซึ่งเก็บตัวอย่างด้วยจำนวนช้ำต่างกันโดยรวมประกอบด้วย สัตว์หน้าดินขนาดใหญ่ 8 ไฟลัม (170 สปีชีส์) คือ Annelida, Crustacea, Molusca, Chordata, Hexapoda, Cnidaria, Platyhelminthes และ Nemertea ไฟลัม Annelida มีจำนวนสปีชีส์มากที่สุด (68 สปีชีส์) รองลงมาคือ Crustacea (56 สปีชีส์) Molusca (23 สปีชีส์) และอื่นๆ (23 สปีชีส์) (ตารางที่ 18)

ตารางที่ 17 ค่า univariate indices ของประชากรมสัตว์หน้าดินขนาดใหญ่ซึ่งเก็บตัวอย่างด้วยจำนวนชั้า 1, 3, 5, 7, 9 และ 11 ชั้า ($n=9$) ในเชิงเวลา

Month	Replication number	Species number	Individual number /grab	Shannon-Wiener index	Evenness
April 1998	1	35	456	1.28	0.361
	3	62	270	1.58	0.383
	5	73	235	1.70	0.395
	7	77	253	1.66	0.381
	9	82	286	1.67	0.378
	11	89	308	1.73	0.386
June	1	59	198	2.86	0.701
	3	79	204	2.80	0.640
	5	86	192	2.76	0.620
	7	90	181	2.78	0.619
	9	98	185	2.78	0.607
	11	102	180	2.76	0.596
August	1	59	125	2.80	0.686
	3	79	108	2.78	0.637
	5	87	116	2.79	0.624
	7	99	114	2.88	0.626
	9	102	112	2.89	0.626
	11	112	109	2.93	0.620
October	1	52	83	3.00	0.755
	3	68	71	3.15	0.746
	5	84	71	3.18	0.717
	7	91	68	3.24	0.718
	9	99	74	3.28	0.713
	11	105	76	3.24	0.697
December	1	49	141	2.31	0.594
	3	69	118	2.60	0.616
	5	79	122	2.67	0.612
	7	84	112	2.67	0.603
	9	92	112	2.68	0.592
	11	95	114	2.66	0.584
February 1999	1	40	134	1.36	0.369
	3	57	136	1.76	0.434
	5	64	133	1.71	0.410
	7	76	134	1.82	0.420
	9	77	130	1.74	0.401
	11	81	124	1.76	0.400

ตารางที่ 18 ค่า univariate indices ของประชากรมสัตว์หน้าดินขนาดใหญ่ซึ่งเก็บตัวอย่างด้วยจำนวนชั้น 1, 3, 5, 7, 9 และ 11 ชั้น ($n=54$) โดยรวม

Phyla	Replication number	Species number	Individual	Shannon-	Evenness
			number / grab	Wiener index	
Total	1	110	189	2.62	0.557
	3	144	151	2.82	0.568
	5	150	145	2.83	0.565
	7	158	144	2.83	0.559
	9	161	150	2.82	0.554
	11	170	152	2.82	0.549
Annelida	1	48	23	2.98	0.771
	3	61	22	3.08	0.749
	5	63	22	3.13	0.755
	7	64	22	3.12	0.751
	9	66	22	3.16	0.744
	11	68	22	3.16	0.741
Crustacea	1	37	71	1.62	0.449
	3	45	63	1.66	0.437
	5	47	62	1.62	0.422
	7	51	60	1.60	0.407
	9	51	61	1.62	0.412
	11	56	60	1.63	0.405
Mollusca	1	16	95	1.32	0.477
	3	19	66	1.51	0.512
	5	21	61	1.51	0.496
	7	23	62	1.53	0.488
	9	23	66	1.50	0.478
	11	23	69	1.52	0.485
Others	1	9	0.4	1.97	0.896
	3	19	0.5	2.25	0.765
	5	19	0.4	2.15	0.729
	7	20	0.4	2.06	0.687
	9	21	0.4	2.05	0.674
	11	23	0.4	2.00	0.638

Multivariate analysis

1. ค่าความคล้ายคลึงของประชากรมัตต์ว์หน้าดินขนาดใหญ่ซึ่งเก็บตัวอย่างด้วยจำนวนช้าๆ ต่างกัน

ในแต่ละสถานี

เมื่อจัดกลุ่มจำนวนช้าๆ แล้วแสดงผลเป็น денโตรแกรม (รูปที่ 10) ประกอบด้วยกลุ่มจำนวนช้าๆ หลายกลุ่ม มีทั้งกลุ่มจำนวนช้าน้อยและกลุ่มจำนวนช้ามาก จำนวนช้าๆ สุดในกลุ่มที่มีจำนวนช้ามากที่สุดที่ระดับความคล้ายคลึงแบบ Bray-Curtis 95% เป็นจำนวนช้าๆ ที่เหมาะสมในการเก็บตัวอย่างในแต่ละสถานีดังนี้

สถานี 1 มี 5 กลุ่มคือ [1] [3] [5] [7] และ [9-11] จำนวนช้าๆ สุดในกลุ่มที่มีจำนวนช้ามากที่สุดคือ 9 ช้าๆ (ไม่แตกต่างอย่างมีนัยสำคัญที่ระดับ 95%)

สถานี 2 มี 4 กลุ่มคือ [1] [3] [5-7-9] และ [11] จำนวนช้าๆ สุดในกลุ่มที่มีจำนวนช้ามากที่สุดคือ 11 ช้าๆ (แตกต่างอย่างมีนัยสำคัญที่ระดับ 99.8%)

สถานี 3 มี 5 กลุ่มคือ [1] [3] [5] [7] และ [9-11] จำนวนช้าๆ สุดในกลุ่มที่มีจำนวนช้ามากที่สุดคือ 9 ช้าๆ (แตกต่างอย่างมีนัยสำคัญที่ระดับ 99.6%)

สถานี 4 มี 5 กลุ่มคือ [1] [3] [5] [7] และ [9-11] จำนวนช้าๆ สุดในกลุ่มที่มีจำนวนช้ามากที่สุดคือ 9 ช้าๆ (แตกต่างอย่างมีนัยสำคัญที่ระดับ 99.5%)

สถานี 5 มี 4 กลุ่มคือ [1] [3] [5] และ [7-9-11] จำนวนช้าๆ สุดในกลุ่มที่มีจำนวนช้ามากที่สุดคือ 7 ช้าๆ (แตกต่างอย่างมีนัยสำคัญที่ระดับ 98.6%)

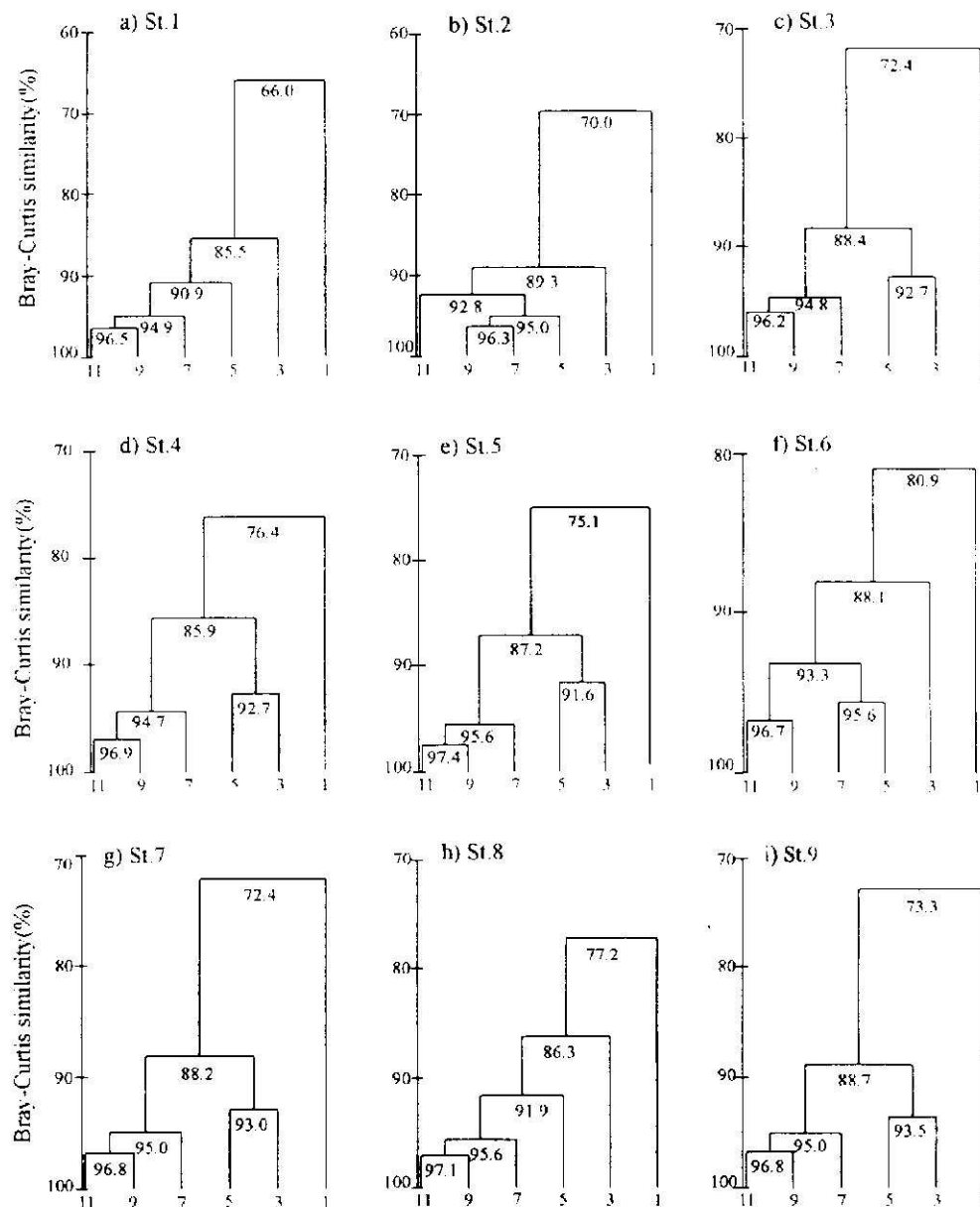
สถานี 6 มี 4 กลุ่มคือ [1] [3] [5-7] และ [9-11] จำนวนช้าๆ สุดในกลุ่มที่มีจำนวนช้ามากที่สุดคือ 9 ช้าๆ (แตกต่างอย่างมีนัยสำคัญที่ระดับ 99.1%)

สถานี 7 มี 4 กลุ่มคือ [1] [3] [5] และ [7-9-11] จำนวนช้าๆ สุดในกลุ่มที่มีจำนวนช้ามากที่สุดคือ 7 ช้าๆ (แตกต่างอย่างมีนัยสำคัญที่ระดับ 96.9%)

สถานี 8 มี 4 กลุ่มคือ [1] [3] [5] และ [7-9-11] จำนวนช้าๆ สุดในกลุ่มที่มีจำนวนช้ามากที่สุดคือ 7 ช้าๆ (ไม่แตกต่างอย่างมีนัยสำคัญที่ระดับ 95%)

สถานี 9 มี 4 กลุ่มคือ [1] [3] [5] และ [7-9-11] จำนวนช้าๆ สุดในกลุ่มที่มีจำนวนช้ามากที่สุดคือ 7 ช้าๆ (แตกต่างอย่างมีนัยสำคัญที่ระดับ 98.8%)

นั่นคือ จำนวนช้าๆ ที่เหมาะสมในการศึกษาสัตว์หน้าดินในตอนล่างของทะเลสาบสงขลาตอนใน เชิงสถานที่ อุปในช่วง 7-11 ช้าๆ (Bray-Curtis similarity 95%) อย่างไรก็ตาม ถ้าพิจารณาที่ความคล้ายคลึง 90% จำนวนช้าๆ อาจลดลงอยู่ในช่วง 5-7 ช้าๆ (ตารางที่ 19) แต่เป็นการเพิ่มโอกาสที่จะไม่ได้สัตว์หน้าดินบางชนิดที่มีน้อย



รูปที่ 10 เดโนดรัมของ การจัดกลุ่มประชาชุมสัตว์หน้าดินขนาดใหญ่ ซึ่งเก็บตัวอย่างด้วยจำนวนซ้ำ 1, 3, 5, 7, 9, และ 11 ซ้ำ ($n=6$) ในแต่ละสถานี

ตารางที่ 19 จำนวนช้าที่เหมาะสมที่ความคล้ายคลึงแบบ Bray-Curtis 95 และ 90% ในแต่ละสถานี

Station	Bray-Curtis similarity 95%		Bray-Curtis similarity 90%		Number of lost species
	Replicate number	Species number	Replicate number	Species number	
1	9	95	5	80	15
2	11	86	5	70	16
3	9	86	7	82	4
4	9	79	7	73	6
5	7	61	7	61	0
6	9	100	5	89	11
7	7	86	7	86	0
8	7	84	5	73	11
9	7	94	7	94	0

2. ค่าความคล้ายคลึงของประชากรมสัตว์หน้าดินขนาดใหญ่ซึ่งเก็บตัวอย่างตัวย่างจำนวนช้าต่างกันในแต่ละเดือน

เมื่อจัดกลุ่มแล้วแสดงผลเป็นเด่นโปรแกรมของการจัดกลุ่มประชากรมสัตว์หน้าดินขนาดใหญ่ (รูปที่ 11) พบว่า จำนวนช้าต่าสุดในกลุ่มที่มีจำนวนช้ามากที่สุดที่ระดับความคล้ายคลึง 95% ในแต่ละเดือน ดังนี้

เดือนเมษายนมี 4 กลุ่ม คือ [1] [3] [5-7] และ [9-11] จำนวนช้าต่าสุดในกลุ่มที่มีจำนวนช้าสูงสุด คือ 9 ช้า (ไม่แตกต่างอย่างมีนัยสำคัญที่ระดับ 95%)

เดือนมิถุนายนมี 4 กลุ่ม คือ [1] [3] [5-7] และ [9-11] จำนวนช้าต่าสุดในกลุ่มที่มีจำนวนช้ามากที่สุด คือ 9 ช้า (ไม่แตกต่างอย่างมีนัยสำคัญที่ระดับ 95%)

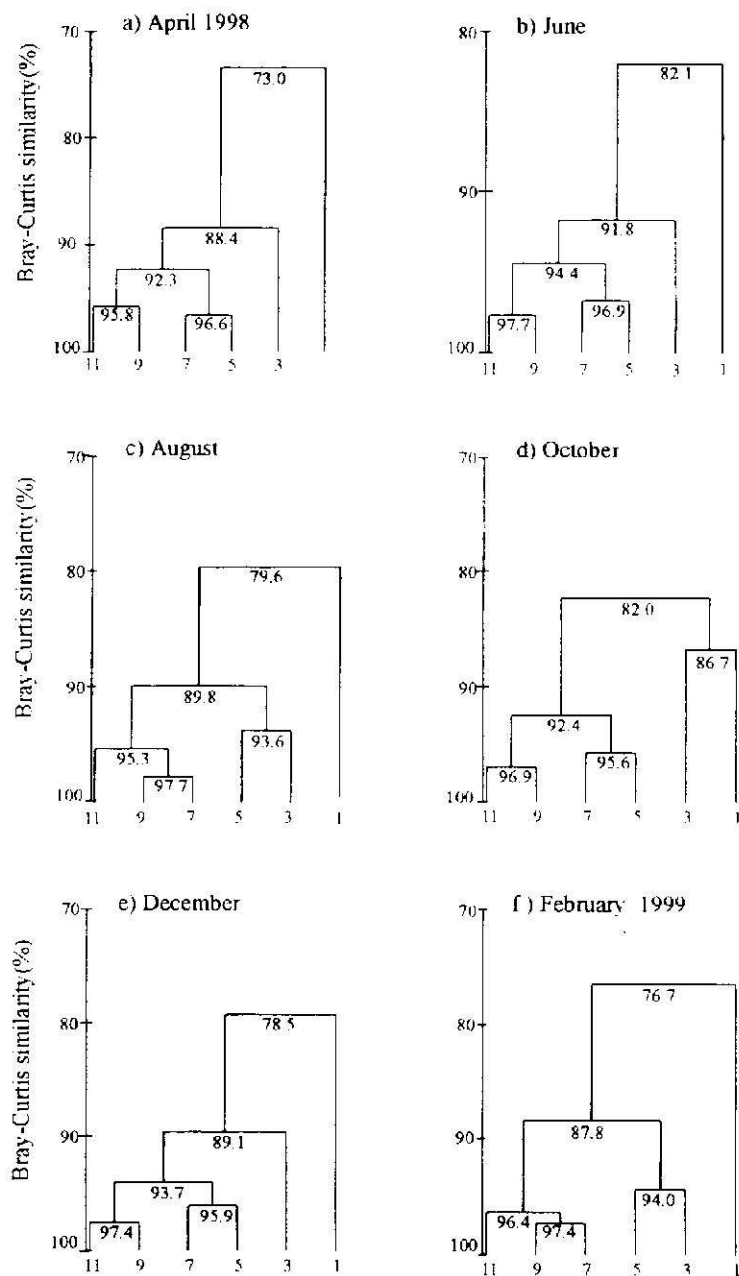
เดือนสิงหาคมมี 4 กลุ่ม คือ [1] [3] [5] และ [7-9-11] จำนวนช้าต่าสุดในกลุ่มที่มีจำนวนช้ามากที่สุด คือ 7 ช้า (ไม่แตกต่างอย่างมีนัยสำคัญที่ระดับ 95%)

เดือนตุลาคมมี 4 กลุ่ม คือ [1] [3] [5-7] และ [9-11] จำนวนช้าต่าสุดในกลุ่มที่มีจำนวนช้ามากที่สุด คือ 9 ช้า (ไม่แตกต่างอย่างมีนัยสำคัญที่ระดับ 95%)

เดือนธันวาคมมี 4 กลุ่ม คือ [1] [3] [5-7] และ [9-11] จำนวนช้าต่าสุดในกลุ่มที่มีจำนวนช้ามากที่สุด คือ 9 ช้า (ไม่แตกต่างอย่างมีนัยสำคัญที่ระดับ 95%)

เดือนกุมภาพันธ์มี 4 กลุ่ม คือ [1] [3] [5] และ [7-9-11] จำนวนช้าต่าสุดในกลุ่มที่มีจำนวนช้ามากที่สุด คือ 7 ช้า (แตกต่างอย่างมีนัยสำคัญที่ระดับ 95.7%)

นั้นคือ จำนวนช้าที่เหมาะสมในการศึกษาสัตว์หน้าดินขนาดใหญ่บริเวณดอนล่างของทะเลสาบ ลงขลາດตอนในในแต่ละเดือน อยู่ในช่วง 7-9 ช้า (Bray-Curtis similarity) อย่างไรก็ตาม ถ้าพิจารณาที่ความคล้ายคลึง 90% จำนวนช้าลดลงอยู่ในช่วง 3-7 ช้า (ตารางที่ 20) แต่เป็นการเพิ่มโอกาสที่จะไม่ได้สัตว์หน้าดินบางชนิดที่มีน้อย



รูปที่ 11 เด็นโดรแกรมของการจัดกลุ่มประชาชุมสัตว์หน้าดินขนาดใหญ่ ซึ่งเก็บตัวอย่างด้วยจำนวนช้ำ 1, 3, 5, 7, 9, และ 11 ช้ำ ($n = 9$) ในแต่ละเดือน

ตารางที่ 20 จำนวนช้าที่เหมาะสมที่ความคล้ายคลึงแบบ Bray-Curtis 95 และ 90% ในแต่ละเดือน

Month	Bray-Curtis similarity 95%		Bray-Curtis similarity 90%		lost species number
	Replication	Species number	Replication	Species number	
	number		number		
April 1998	9	82	5	73	9
June	9	98	5	86	22
August	7	99	3	79	20
October	9	99	3	68	31
December	9	92	5	79	13
February 1999	7	77	7	76	1

3. ค่าความคล้ายคลึงของประชาคมสัตว์หน้าดินขนาดใหญ่ ซึ่งเก็บตัวอย่างด้วยจำนวนช้าต่างกันโดยรวม

เมื่อจัดกลุ่มแล้วแสดงผลเป็นเดนโดยกราฟของการจัดกลุ่มประชาคอมสัตว์หน้าดินขนาดใหญ่โดยรวม (รูปที่ 12a) และ MDS ของประชาคอมสัตว์หน้าดินโดยรวม (รูปที่ 12b) และเดนโดยกราฟของการจัดกลุ่มประชาคอมสัตว์หน้าดินไฟลัมอีนๆ (รูปที่ 12c-12f) พบว่า จำนวนช้าต่าสุดในกลุ่มที่มีจำนวนช้ามากที่สุดที่ระดับความคล้ายคลึง 95% โดยรวม และ แยกไฟลัมต่างๆ ดังนี้

โดยรวมมี 3 กลุ่มคือ [1] [3-5] และ [7-9-11] จำนวนช้าต่าสุดในกลุ่มที่มีจำนวนช้ามากที่สุด คือ 7 ช้า (แตกต่างอย่างมีนัยสำคัญที่ระดับ 98.9%)

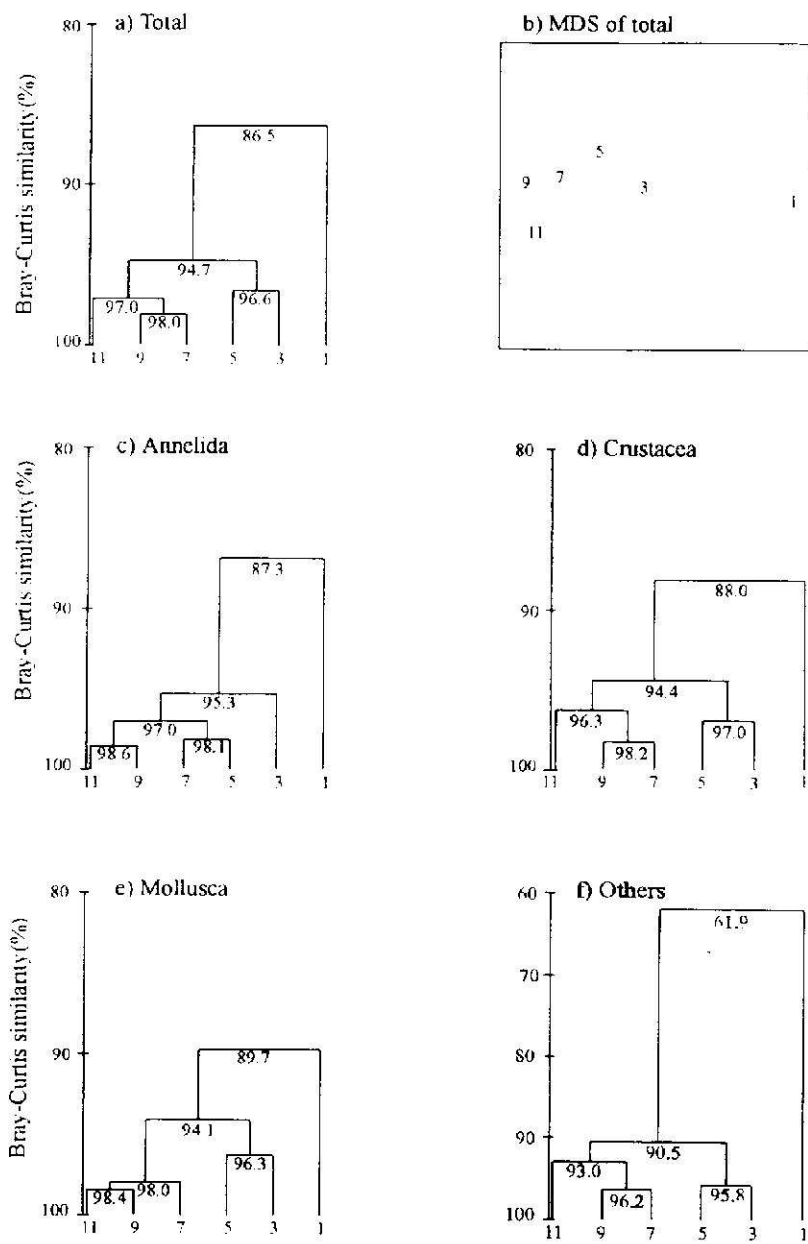
ไฟลัม Annelida มี 2 กลุ่มคือ [1] และ [3-5-7-9-11] จำนวนช้าต่าสุดในกลุ่มที่มีจำนวนช้ามากที่สุด คือ 3 ช้า (แตกต่างอย่างมีนัยสำคัญที่ระดับ 99.6%)

ไฟลัม Crustacea มี 3 กลุ่มคือ [1] [3-5] และ [7-9-11] จำนวนช้าต่าสุดในกลุ่มที่มีจำนวนช้ามากที่สุด คือ 7 ช้า (ไม่แตกต่างอย่างมีนัยสำคัญที่ระดับ 95%)

ไฟลัม Mollusca มี 3 กลุ่มคือ [1] [3-5] และ [7-9-11] จำนวนช้าต่าสุดในกลุ่มที่มีจำนวนช้ามากที่สุด คือ 7 ช้า (แตกต่างอย่างมีนัยสำคัญที่ระดับ 100%)

ไฟลัมอีนๆ มี 4 กลุ่มคือ [1] [3-5] และ [7-9] และ [11] จำนวนช้าต่าสุดในกลุ่มที่มีจำนวนช้ามากที่สุด คือ 11 ช้า (แตกต่างอย่างมีนัยสำคัญที่ระดับ 97.7%)

จำนวนช้าที่เหมาะสมในการศึกษาสัตว์หน้าดินขนาดใหญ่โดยรวมคือ 7 ช้า จำนวนช้าที่เหมาะสมในการศึกษาสัตว์หน้าดินไฟลัม Annelida, Crustacea, Mollusca และอีนๆ คือ 3, 7, 7 และ 11 ช้า ตามลำดับ (Bray-Curtis similarity 95%) อย่างไรก็ตาม ถ้าพิจารณาที่ความคล้ายคลึง 90% จำนวนช้าที่เหมาะสมอาจลดลง คือ 3 ช้า (ตารางที่ 21) แต่เป็นการเพิ่มโอกาสที่จะไม่ได้สัตว์หน้าดินบางชนิดที่มีน้อย



รูปที่ 12 เดโนดรัมของการจัดกลุ่มประชากรมัตต์วิทยานาดใหญ่ ซึ่งเก็บตัวอย่างด้วยจำนวนช้ำ 1, 3, 5, 7, 9, และ 11 ช้ำ ($n = 54$) โดยรวมและไฟล์ต่างๆ และ MDS ของการจัดกลุ่มโดยรวม

ตารางที่ 21 จำนวนช้าที่เหมาะสมที่ความคล้ายคลึงแบบ Bray-Curtis 95 และ 90% โดยรวม

Total and Phyla	Bray-Curtis similarity 95%		Bray-Curtis similarity 90%		lost species number
	Replication number	Species number	Replication number	Species number	
Total	7	158	3	144	14
Annelida	3	61	3	61	0
Crustacea	7	51	3	45	6
Mollusca	7	23	3	19	4
Others	11	23	7	20	3

ขนาดตะแกรงแยกตัวอย่าง

Univariate analysis

1. ค่า univariate indices ของประชากรมสัตว์หน้าดินขนาดใหญ่ที่แยกตัวอย่างสัตว์หน้าดินด้วยตะแกรงขนาดต่างกันในแต่ละสถานี

ถึงแม้ว่าสถานี 6 และ สถานี 9 จะมีจำนวนสปีชีส์มากที่สุด (107 สปีชีส์) แต่การใช้ตะแกรงขนาดตา ≥ 1.0 มิลลิเมตร และ ≥ 0.5 มิลลิเมตร พบรสปีชีส์ต่างกัน 15 สปีชีส์ ในขณะที่สถานี 1 และ 2 มีจำนวนสปีชีส์เพียง 100 และ 86 สปีชีส์ตามลำดับ แต่มีจำนวนสปีชีส์ที่แตกต่างกันจากการใช้ตะแกรง 2 ขนาดมากถึง 19 สปีชีส์ ส่วนสถานี 5 มีจำนวนสปีชีส์ต่างกันน้อยที่สุด (9 สปีชีส์) จำนวนตัวเฉลี่ยต่อตะแกรงเพิ่มขึ้นเมื่อใช้ตะแกรงขนาดตา ≥ 0.5 มิลลิเมตร โดยพบจำนวนตัวเฉลี่ยต่อตะแกรงสูงสุดที่สถานี 6 (531 ตัว/ตะแกรง) เนื่องจากมีลูกหอยวัยอ่อน (*Brachidontes arcuatulus*) อยู่เป็นจำนวนมาก และพบจำนวนตัวเฉลี่ยต่อตะแกรงต่ำสุดที่สถานี 7 (46 ตัว/ต่อตะแกรง) แต่ในทางสถิติ (ANOSIM) ไม่พบความแตกต่างอย่างมีนัยสำคัญที่ระดับ 95%

ค่า univariate indices ของประชากรมสัตว์หน้าดินขนาดใหญ่ที่แยกตัวอย่างสัตว์ด้วยตะแกรงขนาดตา > 1.0 และ ≥ 0.5 มิลลิเมตร ในแต่ละสถานี ดังตารางที่ 22

2 ค่า univariate indices ของประชากรมสัตว์หน้าดินขนาดใหญ่ที่แยกตัวอย่างสัตว์ด้วยตะแกรงขนาดตา ≥ 1.0 และ ≥ 0.5 มิลลิเมตร ในแต่ละเดือน

จำนวนสปีชีส์ต่ำสุดพบในเดือนกุมภาพันธ์ จำนวน 81 สปีชีส์ และพบจำนวนสปีชีส์สูงสุดในเดือนสิงหาคม จำนวน 112 สปีชีส์ จำนวนสปีชีส์ที่แตกต่างกันน้อยที่สุดเมื่อใช้ตะแกรงขนาดตา ≥ 1.0 และ ≥ 0.5 มิลลิเมตร พบรในเดือนตุลาคมจำนวน 9 สปีชีส์ เดือนธันวาคมและเดือนกุมภาพันธ์ เป็นช่วงที่พบ *Ctenapseudes* sp., และ *Pseudotanais* sp.? มีอยู่ และพบ Annelida วัยอ่อน เช่น Capitellidae, Goniadidae, Nephtyidae, Nereidae, Pectinariidae, Phyllodocidae Pilargidae และ ลูกปลาวัยอ่อน ได้แก่ fish larvae sp.2, fish larvae sp.3 และ fish larvae sp.4 นอกจากนี้ ในเดือนกุมภาพันธ์ บังพน *Cyathura* sp.1 มีอยู่และตัวอ่อนซึ่งยังอยู่ในท้องของตัวเมีย จำนวนสปีชีส์ที่แตกต่างกันเมื่อใช้ตะแกรงขนาดตา ≥ 1.0 และ ≥ 0.5 มิลลิเมตร ในเดือนกุมภาพันธ์มีเพียง 10 สปีชีส์ จำนวนสปีชีส์ที่แตกต่างกันมากที่สุดพบในเดือนเมษายนและมิถุนายน จำนวน 18 สปีชีส์ ถึงแม้ว่าในช่วงสองเดือนนี้จะมีจำนวน สปีชีส์ของลูกหอยวัยอ่อนน้อยกว่าช่วงเดือนธันวาคม และเดือนกุมภาพันธ์ แต่มีสปีชีส์ของสัตว์หน้าดินขนาดใหญ่ที่เป็นตัวเต็มวัยขนาดเล็กอยู่มาก เช่น Corophiidae,

Cerapus sp., Melita sp.3, Melita sp.5, Orchestia sp., Exosphaeroma sp., Isotomidae และ Tendipes sp. เป็นต้น จำนวนตัวเฉลี่ยต่อตะแกรงเพิ่มขึ้นเมื่อใช้ตะแกรงขนาดตา ≥ 0.5 มิลลิเมตร โดยเฉพาะในเดือนเมษายน พบว่าจำนวนตัวเฉลี่ยต่อตะแกรงมีค่าสูงสุด (308 ตัว/ตะแกรง) เพราะพบกลุ่มหอยวัยอ่อน (*Brachidontes arcuatus*) จำนวนมาก และจำนวนตัวเฉลี่ยต่อตะแกรงต่ำสุดในเดือนสิงหาคม (108 ตัว/ตร.ม.)

ค่า univariate indices ของประชากรมสัตว์หน้าดินขนาดใหญ่ที่แยกตัวอย่างสัตว์ตัวอย่างตะแกรงขนาดตา ≥ 1.0 และ ≥ 0.5 มิลลิเมตร ในแต่ละเดือน ดังตารางที่ 23

ตารางที่ 22 ค่า univariate indices ของประชากรมสัตว์หน้าดินขนาดใหญ่ที่แยกตัวอย่างสัตว์ตัวอย่างตะแกรงขนาดตา ≥ 1.0 และ ≥ 0.5 มิลลิเมตร ($n=6$) ในแต่ละสถานี

Station	Mesh size (mm)	Average species number/sieve	Total species	Average individual number/sieve	Shannon-Wiener index	Evenness
1	≥ 1.0	7	81	96	1.49	0.340
	≥ 0.5	11	100	134	1.68	0.365
2	≥ 1.0	7	67	80	1.43	0.341
	≥ 0.5	11	86	124	1.76	0.395
3	≥ 1.0	7	76	49	1.91	0.444
	≥ 0.5	10	92	74	2.35	0.520
4	≥ 1.0	7	70	135	1.54	0.364
	≥ 0.5	10	82	177	1.80	0.409
5	≥ 1.0	7	56	78	1.21	0.301
	≥ 0.5	8	65	103	1.54	0.370
6	≥ 1.0	13	90	216	2.09	0.465
	≥ 0.5	19	105	531	1.84	0.396
7	≥ 1.0	8	80	30	2.84	0.648
	≥ 0.5	11	95	46	3.06	0.671
8	≥ 1.0	8	78	43	2.08	0.479
	≥ 0.5	12	91	81	2.28	0.505
9	≥ 1.0	10	90	58	3.03	0.673
	≥ 0.5	14	105	96	3.23	0.695

ตารางที่ 23 ค่า univariate indices ของประชากรมัตต์หน้าดินขนาดใหญ่ซึ่งแยกตัวยตามตะแกรงขนาดตา ≥ 1.0 และ ≥ 0.5 มิลลิเมตร ($n=9$) ในแต่ละเดือน

Month	Mesh size (mm)	Average species number/sieve	Total species	Average individual number/sieve	Shannon- Wiener index	Evenness
April 1998	≥ 1.0	6	72	100	1.73	0.492
	≥ 0.5	10	90	308	2.11	0.385
June	≥ 1.0	10	84	121	2.37	0.536
	≥ 0.5	14	102	180	2.76	0.596
August	≥ 1.0	11	101	82	2.60	0.563
	≥ 0.5	15	112	108	2.92	0.618
October	≥ 1.0	9	96	48	2.90	0.636
	≥ 0.5	12	105	75	3.24	0.696
December	≥ 1.0	8	84	76	2.36	0.533
	≥ 0.5	12	95	114	2.66	0.583
February 1999	≥ 1.0	8	71	97	1.62	0.379
	≥ 0.5	8	81	125	1.75	0.399

3. ค่า univariate indices ของประชากรมัตต์หน้าดินขนาดใหญ่ซึ่งแยกตัวอย่างสัตว์ด้วยตะแกรงขนาดตา ≥ 1.0 และ ≥ 0.5 มิลลิเมตร โดยรวม

ประชากรมัตต์หน้าดินขนาดใหญ่โดยรวมที่แยกตัวอย่างด้วยตะแกรงขนาดตา ≥ 1.0 มิลลิเมตร พบรากวนสปีชีส์ 158 สปีชีส์ จำนวนตัวเฉลี่ย 87 ตัวต่อตะแกรง และแยกตัวยตามตะแกรงขนาดตา ≥ 0.5 มิลลิเมตร พบรากวนสปีชีส์ 170 สปีชีส์ จำนวนตัวเฉลี่ย 152 ตัวต่อตะแกรง จำนวนสปีชีส์เพิ่มขึ้น 12 สปีชีส์ จำนวนตัวเฉลี่ยเพิ่มขึ้น 65 ตัวต่อตะแกรง เมื่อแยกเปรียบเทียบการใช้ตะแกรงขนาดตาต่างกันในแต่ละไฟลัม พบรากวนสปีชีส์ที่ได้จากการแยกขนาดตา ≥ 0.5 มิลลิเมตร เพิ่มขึ้นในทุกไฟลัม คือ Annelida (5 สปีชีส์), Crustacea (4 สปีชีส์) Mollusca (1 สปีชีส์) และอื่นๆ (2 สปีชีส์) และจำนวนตัวเฉลี่ยต่อตะแกรงก็เพิ่มขึ้นด้วย จำนวนตัวเฉลี่ยต่อตะแกรงสูงสุดเมื่อเก็บตัวอย่างสัตว์ในไฟลัม Mollusca (69 ตัวต่อตะแกรง) แต่มีจำนวนสปีชีส์เพิ่มขึ้นในไฟลัมนี้ในตะแกรงขนาดตา 0.5 มิลลิเมตรเพียงสปีชีส์เดียว

ค่า univariate indices ของประชากรมัตต์หน้าดินขนาดใหญ่ที่แยกตัวอย่างสัตว์หน้าดินด้วยตะแกรงขนาดตา ≥ 1.0 และ ≥ 0.5 มิลลิเมตร ($n=54$) โดยรวมและไฟลัมต่างๆ ดังตารางที่ 24 สปีชีส์ที่พบเพิ่มขึ้นเมื่อแยกตัวยตามตะแกรงขนาดตา ≥ 0.5 มิลลิเมตร มี 12 สปีชีส์ ได้แก่ *Cirratulus* sp., Dorvilleidae (unidentified sp.), Eunicidae larvae, *Paraleonantes* sp.2, Opheliidae (unidentified sp.), Edwardsiidae (unidentified sp.), *Gari* sp., Isaeidae (unidentified sp.2), *Cerapus* sp., *Melita* sp.3, Ostracoda (unidentified sp.) และ fish larvae sp.1

ตารางที่ 24 ค่า univariate indices ของประชาชุมสัตว์หน้าดินขนาดใหญ่ซึ่งแยกด้วยตะแกรงขนาดตา ≥ 1.0 และ ≥ 0.5 มิลลิเมตร ($n=54$) โดยรวม

Total and phyla	Mesh size (mm)	Total species	Average individual number/sieve	Shannon-Wiene r index	Evenness
Total	≥ 1.0	158	87	2.72	0.536
	≥ 0.5	170	152	2.82	0.549
Annelida	≥ 1.0	63	12	3.02	0.728
	≥ 0.5	68	22	3.12	0.741
Crustacea	≥ 1.0	52	34	1.25	0.316
	≥ 0.5	56	60	1.63	0.405
Mollusca	≥ 1.0	22	41	1.69	0.547
	≥ 0.5	23	69	1.52	0.486
Others	≥ 1.0	21	0.3	2.19	0.718
	≥ 0.5	23	0.4	2.00	0.638

Multivariate analysis

1. ค่าความคล้ายคลึงของประชาชุมสัตว์หน้าดินขนาดใหญ่ซึ่งแยกด้วยตะแกรงขนาดตาต่างกันในแต่ละสถานี

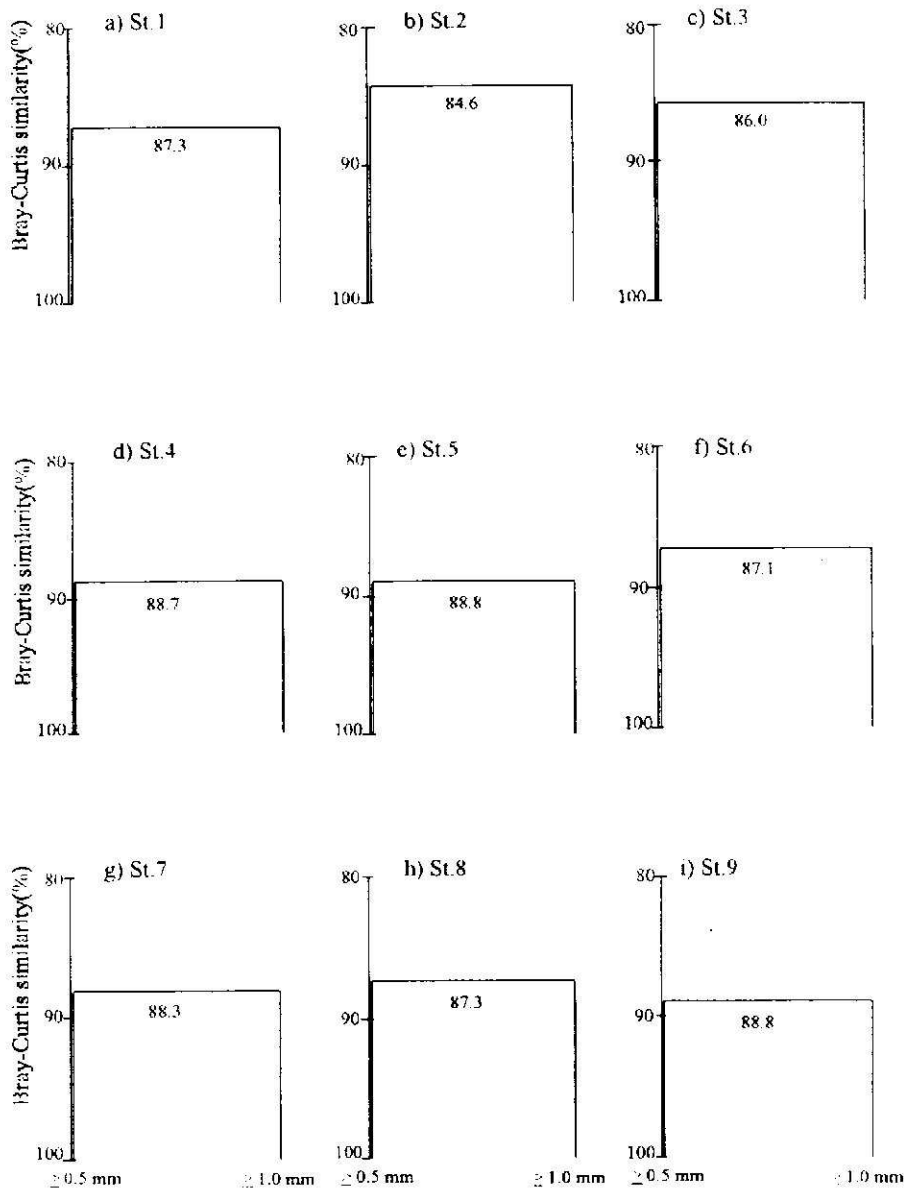
ความคล้ายคลึงแบบ Bray-Curtis ของประชาชุมสัตว์หน้าดินขนาดใหญ่ที่แยกด้วยตะแกรงขนาดตา ≥ 1.0 และ ≥ 0.5 มิลลิเมตร ($n=6$) ในแต่ละสถานีแตกต่างกัน พบร่วมค่าสูงสุดที่สถานี 5 และสถานี 9 (88.8%) และมีค่าต่ำสุดที่สถานี 2 (84.6%) และผลด้วย денโนรกรรมของการจัดกลุ่มประชาชุมสัตว์หน้าดินขนาดใหญ่ ดังรูปที่ 13 แม้ว่าค่าสถิติ (ANOSIM) ของโครงสร้างประชาชุมสัตว์หน้าดินที่แยกด้วยตะแกรงขนาดตา ≥ 1.0 และ ≥ 0.5 มิลลิเมตร ไม่แตกต่างกันแต่การเลิกใช้ตะแกรงขนาดตา 0.5 มิลลิเมตร แยกตัวอย่างสัตว์ในแต่ละสถานี เป็นการเพิ่มโอกาสที่จะไม่ได้สัตว์หน้าดินวัยอ่อน หรือสัตว์หน้าดินที่ตัวเต็มวัยขนาดเล็ก

2. ค่าความคล้ายคลึงของประชาชุมสัตว์หน้าดินขนาดใหญ่ซึ่งแยกด้วยตะแกรงขนาดตาต่างกันในแต่ละเดือน

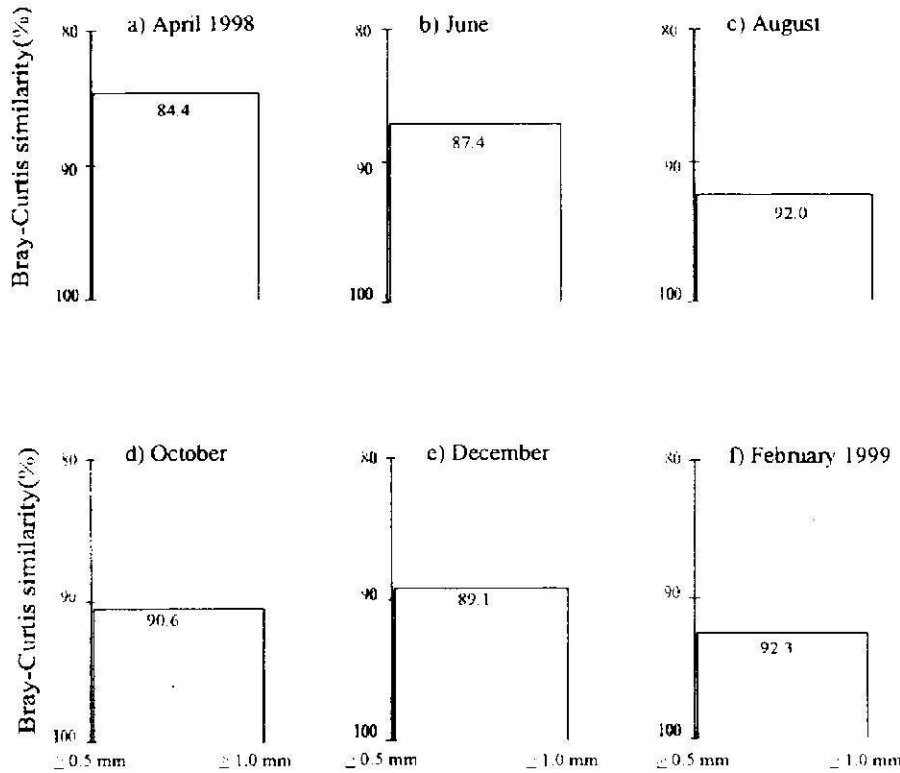
ค่าความคล้ายคลึงแบบ Bray-Curtis ของประชาชุมสัตว์หน้าดินขนาดใหญ่ที่แยกด้วยตะแกรงขนาดตา ≥ 1.0 และ ≥ 0.5 มิลลิเมตร ($n=9$) ในแต่ละเดือนแตกต่างกันพบว่า เดือนกุมภาพันธ์และสิงหาคมมีค่าสูงสุด (92.3%) และมีค่าต่ำสุดในเดือนเมษายน (84.4%) และผลด้วย денโนรกรรมของการจัดกลุ่มประชาชุมสัตว์หน้าดินขนาดใหญ่ ดังรูปที่ 14 แม้ว่าค่าสถิติ ANOSIM ของโครงสร้างประชาชุมสัตว์หน้าดินที่แยกด้วยตะแกรงขนาดตา ≥ 1.0 และ ≥ 0.5 มิลลิเมตร คล้ายคลึงแต่การเลิกใช้ตะแกรงขนาดตา ≥ 0.5 มิลลิเมตร แยกตัวอย่างสัตว์หน้าดินในแต่ละเดือน เป็นการเพิ่มโอกาสที่จะไม่ได้สัตว์หน้าดินวัยอ่อน หรือสัตว์หน้าดินที่ตัวเต็มวัยขนาดเล็ก

3. ค่าความคล้ายคลึงของประชาชุมสัตว์หน้าดินขนาดใหญ่ซึ่งแยกด้วยตะแกรงขนาดต่างกันโดยรวม

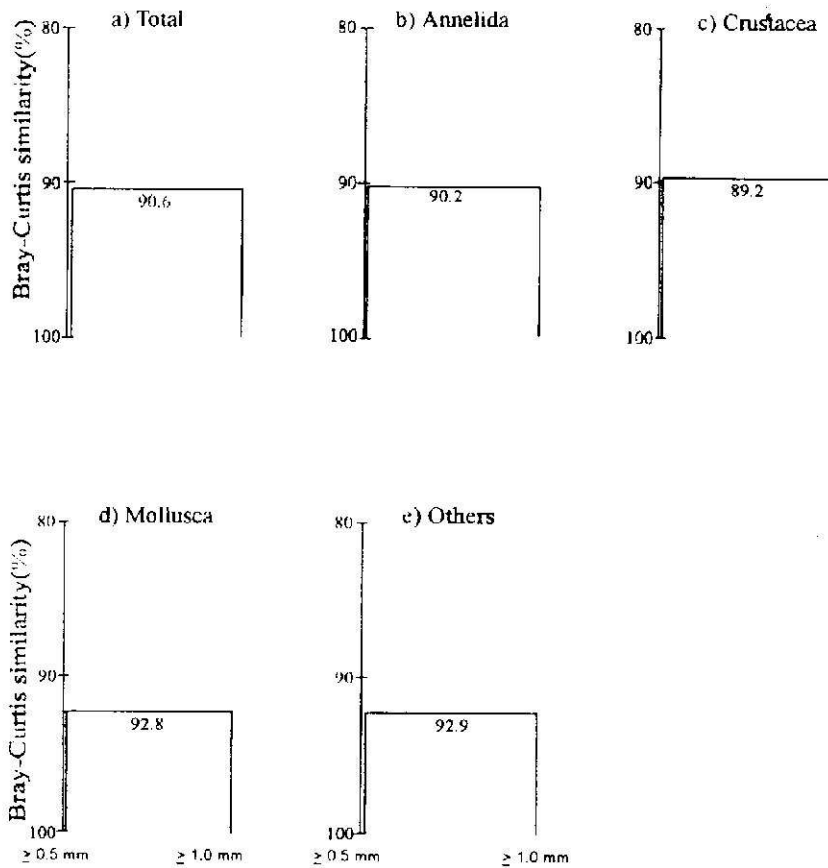
ความคล้ายคลึงแบบ Bray-Curtis ของประชาชุมสัตว์หน้าดินขนาดใหญ่ที่แยกด้วยตะแกรงขนาดตา ≥ 1.0 และ ≥ 0.5 มิลลิเมตร ($n=54$) ในแต่ละไฟล์มแต่กันพบร่วมกับไฟล์ม Crustacea ซึ่งมีตัวเดิมวัยขนาดเล็กเป็นจำนวนมาก มีค่าความคล้ายคลึงต่ำที่สุด (89.2%) และสัตว์หน้าดินในไฟล์มอื่นๆซึ่งมีความซุกชุมน้อยมีความคล้ายคลึงมากที่สุด (92.9%) ค่าความคล้ายคลึงของสัตว์หน้าดินโดยรวมมีค่า 90.6% และงผลด้วยเดนโตรแกรมของการจัดกลุ่มประชาชุมสัตว์หน้าดินขนาดใหญ่ ตั้งรูปที่ 15 แม้ว่า ANOSIM ของโครงสร้างประชาชุมสัตว์หน้าดินที่แยกด้วยตะแกรงขนาดตา ≥ 1.0 และ ≥ 0.5 มิลลิเมตร ไม่แตกต่างกัน แต่การเลิกใช้ตะแกรงขนาดตา ≥ 0.5 มิลลิเมตร ในแต่ละไฟล์ม เป็นการเพิ่มโอกาสที่จะไม่ได้สัตว์หน้าดินขนาดใหญ่วัยอ่อน หรือสัตว์หน้าดินที่ตัวเดิมวัยขนาดเล็ก



รูปที่ 13 เดโนโคแกรมของการจัดกลุ่มประชาชุมสัตว์หน้าดินขนาดใหญ่ซึ่งแยกด้วยตะแกรงขนาดตา ≥ 1.0 และ ≥ 0.5 มิลลิเมตร ($n=6$) ในแต่ละสถานี



รูปที่ 14 เดินได้กราฟของการจัดกลุ่มประชาชัตว์หน้าดินขนาดใหญ่ซึ่งแยกด้วยตะแกรงขนาดตา >1.0 และ >0.5 มิลลิเมตร ($n = 9$) ในแต่ละเดือน



รูปที่ 15 เดินโดยแกรมของการจัดกลุ่มประชาชุมสัตว์หน้าดินขนาดใหญ่ซึ่งแยกด้วยตะแกรงขนาดตา ≥ 1.0 และ ≥ 0.5 มิลลิเมตร ($n = 54$) โดยรวม

วิจารณ์ผลการศึกษา

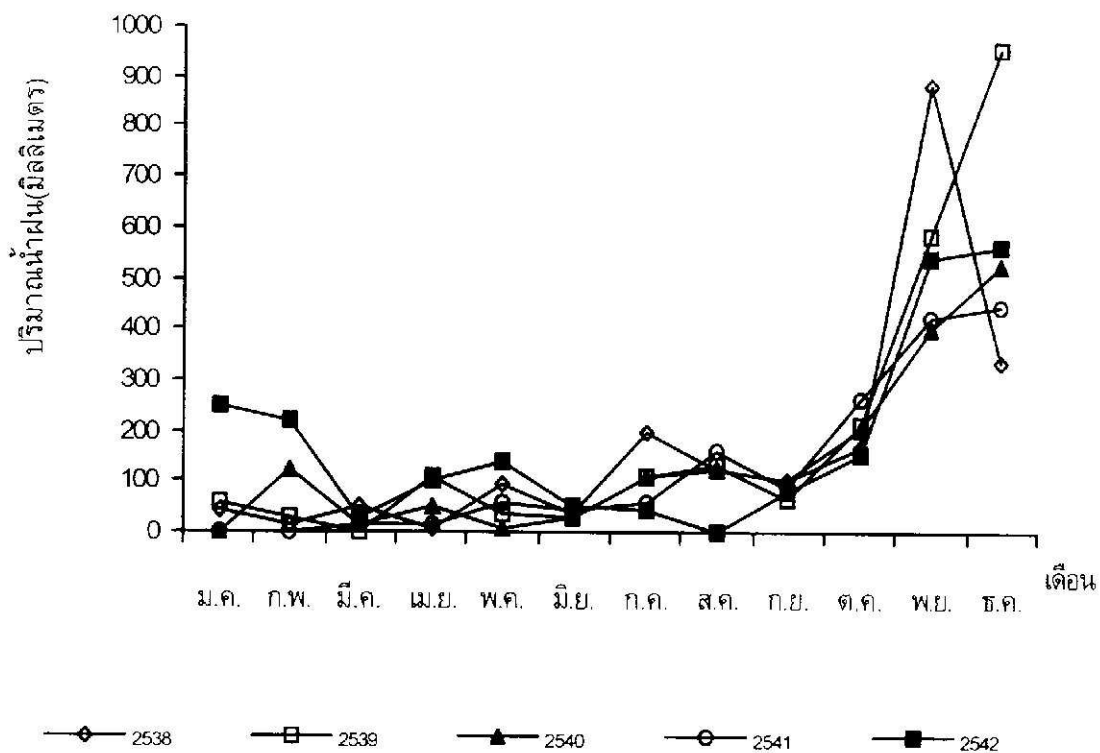
คุณภาพน้ำ

คุณภาพทางกายภาพและเคมีโดยทั่วไปของน้ำในต่อนล่างของทะเลสาบสังขลาตอนในมีลักษณะใกล้เคียงกับทะเลสาบสังขลาตอนนอก (Rakkheaw 1994) และทะเลสาบสังขลาตอนใน (ยงยุทธ ปรีดาลัมพะบุตร และนิคม ละอองศิริวงศ์ 2540) มีเพียงความเค็มของน้ำเท่านั้นที่มีการแปรผันแตกต่างจากการศึกษาที่ผ่านมาซึ่งพบว่านาในทะเลสาบสังขลามีความเค็มต่ำที่สุดหรือเป็นน้ำจืดจนถึงปากทะเลสาบสังขลา ในเดือนพฤษภาคม และ/หรือชันวัคม ซึ่งเป็นฤดูฝนตกหนักเนื่องจากลมมรสุมตะวันออกเฉียงเหนือ (Rakkheaw 1994; ยงยุทธ ปรีดาลัมพะบุตร และนิคม ละอองศิริวงศ์ 2540) แต่จากการตรวจในครั้งนี้พบว่า ความเค็มของน้ำในเดือนชันวัคม 2541 ในต่อนล่างของทะเลสาบสังขลาตอนในอยู่ในช่วง 1.6-3.8 พีโอดู สูญ ในขณะที่ในน้ำในเดือนกุมภาพันธ์ 2542 มีความเค็มต่ำกว่า (0 พีโอดู) ซึ่งต่ำกว่าความเค็มในเดือนกุมภาพันธ์ 2541 (3.0-17.5 พีโอดู) อย่างชัดเจน ทั้งนี้เนื่องจากปริมาณน้ำฝนในฤดูฝนในปี พ.ศ. 2541 มีน้อยกว่า (รูปที่ 16) โดยที่ปริมาณน้ำฝนในเดือนกรกฎาคมและกุมภาพันธ์ 2542 มีมากกว่าในเดือนพฤษภาคม 2 เท่า จากความแตกต่างของความเค็มของน้ำนี้เอง มีผลทำให้ความชุกชุมและการแพร่กระจายของสัตว์น้ำดินในฤดูกาลต่าง ๆ แตกต่างไปจากการศึกษาในอดีตได้เช่นกัน

คุณภาพดินตะกอน

ปริมาณโดยเฉลี่ยของอินทรีย์วัตถุ อินทรีย์คาร์บอน และไนโตรเจนรวม ในต่อนล่างของทะเลสาบสังขลาตอนในที่ศึกษาในครั้งนี้ มีค่าใกล้เคียงกับทะเลสาบสังขลาตอนล่าง (Chatupote *et al.* 1994) และในทะเลหลวง (สมศักดิ์ มณีพงศ์ และสุภารัตน์ รักเรียว 2541) ซึ่งมีแนวโน้มว่ามีปริมาณลดลงเล็กน้อยในฤดูฝนต่อเนื่องกัน ปริมาณอินทรีย์วัตถุไม่มีแนวโน้มว่าเพิ่มขึ้นในรอบ 20 ปี เมื่อเปรียบเทียบกับการศึกษาในปี พ.ศ. 2522 (ณรงค์ ณ เชียงใหม่ 2522) แต่ปริมาณอินทรีย์วัตถุที่ตรวจได้ในทะเลหลวงในครั้งนี้มีค่าน้อยกว่าผลที่ได้จากการรายงานโดย ยงยุทธ ปรีดาลัมพะบุตร และนิคม ละอองศิริวงศ์ (2540) ซึ่งวิเคราะห์อินทรีย์วัตถุโดยการเผา (6-8%) จึงไม่สามารถเปรียบเทียบกับการศึกษาครั้งนี้และเอกสารที่อ้างอิงได้ เนื่องจากการวิเคราะห์โดยวิธีการเผาซึ่งอินทรีย์วัตถุด้วยกรดไฮดริก จะได้ค่าน้อยกว่าวิเคราะห์โดยการเผา เพราะน้ำหนักที่ลดลงจากการเผาไม่ได้มาจากการสลายตัวของอินทรีย์วัตถุเพียงอย่างเดียว (Nelson and Sommers 1982) แต่ยังเกิดจาก การสลายของ NO_2 และ SO_2 สารประกอบอนินทรีย์คาร์บอน (คาร์บอนเตหิว) ในคาร์บอนเนตซึ่งจะเพาใหม่กลายเป็น CO_2 และน้ำที่รวมอยู่กับแร่และอนุภาคตินะจะหายไปด้วย) (สมศักดิ์ มณีพงศ์ และสุภารัตน์ รักเรียว 2541) นอกจากนี้มีจุดที่น่าสังเกตว่า ปริมาณในไตรเจนรวม มีค่าลดลงอย่างเห็นชัดในช่วงต้นถึงปลายฤดูมรสุมตะวันออกเฉียงใต้ (ตุลาคม ชันวัคม และกุมภาพันธ์) การลดลงนี้อาจมีความสัมพันธ์กับมวลซึ่งสภาพของสัตว์น้ำดินรวมที่พบว่ามีแนวโน้มลดลงตั้งแต่เดือนตุลาคมจนถึงกุมภาพันธ์ (รูปที่ 7)

อินทรีย์วัตถุและไนโตรเจนรวมในแต่ละสถานีมีความแตกต่างกันบ้างเล็กน้อยยกเว้นสถานี 9 มีปริมาณอินทรีย์วัตถุสูงกว่าสถานีอื่น ๆ ประมาณ 2-4 เท่า อาจเป็นผลจากชาบีที่ร่วงหล่นและทับถมของพันธุ์ไม้ป่าชายเลนที่ขึ้นอยู่ในบริเวณนั้น ส่วนปริมาณไนโตรเจนรวมโดยเฉลี่ยที่สถานี 6 และ 9 มีค่าใกล้เคียงกันและสูงกว่าสถานีอื่น ๆ ประมาณ 1 เท่า ลักษณะทางกายภาพของพื้นท้องน้ำที่มีหอยยึดเกาะบนผิวน้ำดรอย่างหนาแน่น จนเป็นแหล่งสะสมอินทรีย์ (สถานี 6) และเป็นป่าชายเลนที่มีชาบีไม้ทับถม (สถานี 9) อาจจะเป็นสาเหตุที่สำคัญที่ทำให้ห้องสองสถานีมีสภาพที่อยู่อาศัยที่ค่อนข้างแตกต่างจากสถานีอื่น ๆ



รูปที่ 16 ปริมาณน้ำผ่านรายเดือน (ม.m.) บริเวณทะเลหลวงตอนล่าง จังหวัดสงขลา ระหว่างปี 2538-2542

ที่มา : กรมอุตุนิยมวิทยา ข้อมูลยังไม่พิมพ์เผยแพร่

ความหลากหลายและการแพร่กระจาย

สัตว์น้ำดินในตอนล่างของทะเลสาบสงขลาตอนในมีเพียงไม่กี่ชนิดที่เป็นชนิดเดียวกับที่เคยพบในทะเลสาบสงขลาตอนนอก (Angsupanich and Kuwabara 1995; 1999) ซึ่งได้แก่ Polychaeta 6 สปีชีส์ (*Capitella capitata*, *Nephthys* sp., *Leonnates decipiens*, *Namalycastis indica*, *Prionospio cirrifera* และ *Neanthes cf. mossambica*) Decapoda 1 สปีชีส์ (*Alpheus malabaricus songkla*) และ Tanaidacea 1 สปีชีส์ (*Ctenapseudes* sp. สปีชีส์ที่กล่าวถึงนี้เป็นชนิดเดียวกับ *Apseudes* sp.1 ที่รายงานโดย Angsupanich and Kuwabara 1995, 1999) แม้ว่าจำนวนชนิดของสัตว์น้ำดินที่มีอยู่นั้นน้อยแต่ Polychaeta สามารถเป็นสกุลเดียวกับที่เคยพบในทะเลสาบสงขลาตอนนอก ความหลากหลายของสัตว์น้ำดินที่พบในตอนล่างของทะเลสาบสงขลาตอนใน (160 สปีชีส์ไม่รวมกลุ่มตัวอ่อนต่าง ๆ) มีมากกว่าที่พบในทะเลสาบสงขลาตอนนอก (122 สปีชีส์) ซึ่งรายงานโดย Angsupanich และ Kuwabara (1995) ทั้งนี้อาจเนื่องจากเหตุผลสามประการ ประการแรก จำนวนช้าที่เก็บตัวอย่างในการศึกษาครั้งนี้ (11 ช้า) มากกว่าที่ศึกษาโดย Angsupanich และ Kuwabara 1995 (3 ช้า) ทำให้มีโอกาสเก็บตัวอย่างที่เป็นชนิดพบยากได้มากกว่า (ตารางที่ 18) ประการที่สอง ทะเลหลวงตอนล่างได้รับอิทธิพลจากน้ำจืดมากกว่า ทำให้น้ำมีความเค็มต่ำมากในบางฤดู จึงเปิดโอกาสให้สัตว์น้ำดินที่ชอบน้ำที่มีความเค็มต่ำเดินได้ เช่น *Nesotanais lacustris* ตัวอ่อนแมลงน้ำและลูกปลาบางชนิด *N. lacustris* มีการแพร่ กระจายกว้างขวางและมีปริมาณมากขึ้นในฤดูฝน (ตารางที่ 2) และประการที่สามน้ำในทะเลหลวงตอนล่างอยู่ห่างไกลจากแหล่งซัมชันและแหล่งอุตสาหกรรม จึงอาจจะได้รับผลกระทบจากการลุพิษน้อยกว่าทะเลสาบ

สัตว์กลุ่มหอยท่อในทะเลน้ำเค็มที่พบอยู่ได้ในบริเวณที่เกิดภาระมลพิษหรือออกซิเจนต่ำ (Pals and Pauplit 1979; Rosenberg, et al. 1992) และกันได้น้ำที่มีความเค็มต่ำ (Angsupanich and Kuwabara 1995) แต่เป็นที่น่าสังเกตว่าในตอนล่างของทะเลสาบสัตว์กลุ่มน้ำจืด *Heteromastus* จำนวนน้อยและไม่พบ *H. filiformis* ซึ่งแพร่กระจายอย่างกว้างขวางในทะเลสาบสัตว์กลุ่มน้ำจืดโดยเฉพาะบริเวณใกล้กับปากคลองพะวง และคลองอู่ตะเภาซึ่งมีการปล่อยน้ำทึบลงมา (Angsupanich and Kuwabara 1995; 1999) Nereidae ที่พบในตอนล่างของทะเลสาบสัตว์กลุ่มน้ำจืด มีจำนวนสปีชีส์ (14 สปีชีส์) มากกว่าที่เคยรายงานในทะเลสาบสัตว์กลุ่มน้ำจืด ประมาณ 3 เท่า (Angsupanich and Kuwabara 1995) โดยมี *Namalycastis indica* และ *Ceratonereis burmensis* เป็นสปีชีส์ที่พบมากและมีการแพร่กระจายได้กว้างขวางในทะเลสาบ ส่วนในทะเลสาบสัตว์กลุ่มน้ำจืด *Ceratonereis hircincola* เป็นสปีชีส์เดียว *N. indica* เป็นสปีชีส์ที่พบทุกฤดูกาลในทะเลสาบและพบมากที่สุดเท่าที่ทราบ *Brachidontes arcuatulus* ที่เกาะบนเม็ดกรวดที่สถานี 6 และเคยพบว่ามีการแพร่กระจายในคลองพะวงน้อยกว่าในคลองอู่ตะเภา ซึ่งมีความเค็มต่ำกว่า 0.1-17.0 พีโอดสูตร (Angsupanich and Kuwabara 1999) ดังนั้นกล่าวได้ว่าไส้เดือนทะเลสาบสีน้ำเงินน้ำจืดชอบอาศัยในน้ำกร่อยที่มีความเค็มไม่เกิน 20 พีโอดสูตร และสามารถทนได้บ้างในน้ำที่มีความเค็มต่ำมาก ๆ

Nephrys sp. เป็นไส้เดือนทะเลอีกสปีชีส์หนึ่งที่พบบ่อยมากในทะเลสาบสัตว์กลุ่มน้ำจืด (Angsupanich and Kuwabara 1995) และบริเวณตอนล่างของทะเลสาบสัตว์กลุ่มน้ำจืด เนื่องจากมีการแพร่กระจายได้อย่างกว้างขวางและพบได้ทุกฤดูกาล รวมถึงระยะตัวอ่อนของวงศ์นี้ด้วย นับเป็นชนิดที่สามารถทนได้ในน้ำที่มีความเค็มช่วงกว้าง (euryhaline) แม้ว่ามีจำนวนตัวต่อหน่วยพื้นที่ไม่มากเท่ากับที่พบในทะเลสาบสัตว์กลุ่มน้ำจืด แต่อาจประมาณได้ว่าเป็นไส้เดือนทะเลน้ำเค็มที่มีความสามารถรักษาในห่วงโซ่ออาหารที่ทำหน้าที่เป็นตัวส่งถ่ายพลังงานในกลุ่มผู้ล่า (carnivore) ในทะเลสาบสัตว์กลุ่มน้ำจืด เช่น *Nephrys* sp. ส่วนใหญ่เป็นผู้ล่า แม้ว่ามีบางชนิด (*N. incisa*) เป็นพากที่กินชาgarะกอนเป็นอาหาร (Clark 1962) จากการสังเกตพบว่า *Nephrys* sp. เป็นสัตว์ที่ค่อนข้างแข็งแรง ว่ายน้ำได้เร็ว และหลบหลีกได้อย่างรวดเร็วเมื่อถูกกระทำ จึงเป็นเหตุผลที่ทำให้สัตว์นี้ฐานะว่าไส้เดือนทะเลน้ำเค็มนี้เป็นพากกินเนื้อเป็นหลัก อย่างไรก็ตาม *Nephrys* sp. ที่พบในทะเลสาบสัตว์กลุ่มน้ำจืดเป็น สปีชีส์ใหม่ซึ่งขณะนี้อยู่ระหว่างการจำแนกและติดต่อเอกสารจากต่างประเทศ

จำนวนสปีชีส์ของหอยที่พบในตอนล่างของทะเลสาบสัตว์กลุ่มน้ำจืด (23 สปีชีส์) มีค่าใกล้เคียงกับที่พบในคลองอู่ตะเภา (21 สปีชีส์ คลองพะวง (17 สปีชีส์) และในทะเลสาบสัตว์กลุ่มน้ำจืด (ไม่รวมคลองต่าง ๆ) (28 สปีชีส์) *Marginella* และ *Stenothyra* เป็นหอยฝาเดียวที่พบเหมือนในคลองห้วยสอง (Angsupanich and Kuwabara 1999) ส่วน *Macoma* และ *Corbula* เป็นหอยสองฝาที่พบเหมือนในทะเลสาบสัตว์กลุ่มน้ำจืด (Angsupanich and Kuwabara 1995) *Marginella* และ *Macoma* เป็นหอยที่พบมากในระดับปานกลางอย่างสม่ำเสมอ และมีการแพร่กระจายอย่างกว้างขวางในทะเลสาบ จึงแตกต่างจากที่เคยรายงานในทะเลสาบสัตว์กลุ่มน้ำจืด *Macoma* เป็นจำนวนน้อยเท่านั้น อย่างไรก็ตาม การเปรียบเทียบสปีชีส์หอยกับบริเวณทะเลสาบสัตว์กลุ่มน้ำจืดไม่สามารถอภิปรายได้ชัดเจน เนื่องจากแตกต่างกันในระดับการจำแนกชนิด

Crustacea เป็นกลุ่มสัตว์หอยหนาดินที่สำคัญไม่น้อยไปกว่า *Polychaeta* แม้ว่ามีจำนวนสปีชีส์น้อยกว่าแต่ถ้าพิจารณาความหลากหลายในเชิงชีวประวัติของบรรพบุรุษ (phylogeny) พบร้า *Crustacea* (27 วงศ์) ที่พบแต่ละสปีชีส์มีความห่างไกลทางพันธุกรรมมากกว่า *Polychaeta* (20 วงศ์) อาจทำให้ *Crustacea* มีบทบาทได้หลากหลายในระบบในเวลามากกว่า สกุล *Crustacea* ที่พบว่ามีความซุกซ้อมและมีการแพร่กระจายได้กว้างขวางทั่วโลกในแต่ละสถานีและฤดูกาล คือ *Ctenapseudes* sp. (เป็นชนิดเดียวกับ *Apseudes sapensis* ในรายงานของ Chilton 1926 และ *Apseudes* sp.1 ในรายงานของ Angsupanich and Kuwabara 1995 และ 1999 ต่อมากับ Bamber และคณะ (1996) ได้จำแนกสัตว์สกุลนี้บางชนิดพร้อมกับตั้งเป็นสกุลใหม่คือ *Ctenapseudes* ซึ่งมี

ลักษณะในระดับสกุลตรงกับ *Apseudes sapensis* 1926) โดยพบมากทั้งในทะเลสาบต่อนอกด้วยเห็นกัน ทั้งนี้ ยกเว้นบริเวณปากทางทะเลสาบสงขลาซึ่งเป็นบริเวณที่น้ำมีความเค็มใกล้เคียงกับน้ำทะเลเปิด (Angsupanich and Kuwabara 1995; Yokokawa 1984) เป็นที่น่าสังเกตว่าสปีชีส์นี้มีปริมาณเพิ่มขึ้นช่วงปลายฤดูฝนเดือนกุมภาพันธ์ ซึ่งเป็นช่วงที่น้ำในทะเลสาบสงขลาต่อนอกมีความเค็มค่อนข้างต่ำ (แต่ไม่เป็น 0) (Angsupanich and Kuwabara 1995) เช่นเดียวกับที่พบในตอนล่างของทะเลสาบสงขลาตอนใน นอกจากนี้เคยมีรายงานว่าสัตว์น้ำดินใน Order Tanaidacea ในคลองตากใบมีความชุกชุมสูงในแหล่งน้ำกร่อยตามบริเวณที่มีมลภาวะปานกลางถึงสูง (ยงยุทธ ปรีดาลัมพะบุตร และคณะ ใช้ยาคำ 2537) *Apseudes* sp. ในทะเลสาบสงขลา ก็เช่นกัน (Yokokawa 1984) แต่จากรายงานของ Angsupanich และ Kuwabara (1999) ไม่พบสัตว์สปีชีส์นี้ในบริเวณต้นคลองพะวงซึ่งเป็นบริเวณที่มีภาวะล宥พิษ ส่วน Crustacea อื่น ๆ ที่เป็นสกุลเดียวกับที่พบในทะเลสาบสงขลาตอนนอกและมีจำนวนรองลงมา ได้แก่ amphipod สกุล *Photis* และ *Grandidierella* โดยที่ *Grandidierella* มีการแพร่กระจายทั่วในทะเลสาบต่อนอกและตอนใน นอกจากนี้พบ *Alpheus malabaricus songkla* และ *Alpheus euphrosyne* ซึ่งเคยมีรายงานว่าพบในทะเลสาบสงขลาโดย Banner และ Banner (1966)

ความอุดมสมบูรณ์ของสัตว์น้ำดิน

แม้ว่าในเชิงคุณภาพโดยรวมพบว่าจำนวนสปีชีส์ในตอนล่างของทะเลสาบสงขลาตอนในมีมากกว่าในทะเลสาบสงขลาตอนนอกซึ่งอาจจะด้วยเหตุผลบางประการที่กล่าวข้างต้น แต่ในเชิงปริมาณต่อหน่วยพื้นที่พบว่าในทะเลหลวงมีความอุดมสมบูรณ์น้อยกว่าเล็กน้อย แต่อย่างไรก็ตาม ตอนล่างของทะเลสาบสงขลาตอนในจัดว่ามีความอุดมสมบูรณ์ปานกลางถึงสูงในบางฤดูกาล ซึ่งก็เป็นเหตุการณ์ปกติของแหล่งน้ำที่น้ำเป็นน้ำกร่อยและจืดในบางฤดู โดยทั่วไปความหลากหลายของสัตว์น้ำดินบริเวณชายฝั่งทะเลเมืองคล่องเมื่อน้ำมีความเค็มลดลง (Dauer 1993; Angsupanich and Kuwabara 1995; ยงยุทธ ปรีดาลัมพะบุตร และนิคม ละอองศิริวงศ์ 2540) อย่างไรก็ตามข้อคิดเห็นนี้อาจจะหมายความว่า Polychaeta และ Mollusca มากกว่าพวก Crustacea ในทะเลหลวง เนื่องจากความหลากหลายของ Crustacea ในฤดูฝนเดือนกุมภาพันธ์มีน้อยกว่าในฤดูร้อนเพียงเล็กน้อยเท่านั้น ยิ่งกว่านั้นมี Crustacea บางชนิด (*Ctenapseudes* sp. และ *Nesotanais* sp.) เพิ่มขึ้นเป็นจำนวนมากมากจนมีจำนวนรวมของ Crustacea ใกล้เคียงกับในฤดูร้อน จึงทำให้จำนวนสัตว์น้ำดินรวมทั้งตอนล่างของทะเลสาบสงขลาตอนในไม่แตกต่างตามฤดูกาลมากนัก จากที่ว่าได้รับเป็นข้อดีของทะเลหลวงที่มีอาหารธรรมชาติไว้เลี้ยงสัตว์น้ำอย่างสม่ำเสมอเกือบทตลอดปี อย่างไรก็ตามปรากฏการณ์อาจไม่คงสภาพกาว� เนื่องจากสภาพภูมิอากาศในปีที่ทำการศึกษา (2541-2542) มีความผิดแผกจากสภาพปกติโดย扁ไม่ต่ำตามฤดูกาล ซึ่งสังเกตได้จากต่ำความเค็มของน้ำในเดือนกุมภาพันธ์ 2541 และ 2542 มีความแตกต่างกันอย่างมาก ซึ่งสอดคล้องกับปริมาณน้ำฝนในปีนั้นๆ ส่วนความอุดมสมบูรณ์ของสัตว์น้ำดินในเชิงมวลชีวภาพนั้นมีแนวโน้มว่าสอดคล้องกับความชุกชุมเป็นจำนวนตัว ในกรณีของพวกหอยน้ำหักที่ได้อารมณ์ค่าสูง แม้ว่าหอยมีขนาดเล็ก เนื่องจากทำการซึ่งทั้งเปลือก

โครงสร้างประชาชุมสัตว์น้ำดินและความสัมพันธ์กับปัจจัยสิ่งแวดล้อม

อย่างไรก็ตาม ความอุดมสมบูรณ์ของสัตว์น้ำดินในทะเลหลวงไม่ได้ขึ้นอยู่กับจำนวนหรือปริมาณสัตว์น้ำดินแต่เพียงอย่างเดียว แต่จะต้องคำนึงถึงความหลากหลายด้วย เมื่อพิจารณาโครงสร้างของประชาชุมสัตว์น้ำดิน โดยใช้เบอร์เชนต์ความคล้ายคลึงของ Bray-Curtis similarity ซึ่งแสดงเป็น cluster พบร่วมสัตว์น้ำดินแต่ละกลุ่มมีความคล้ายคลึงกันในระหว่างฤดูกาลปานกลาง (50-80%) ที่ความคล้ายคลึง 70% สัตว์น้ำดินทุกกลุ่มในเดือนเมษายนมีโครงสร้างแตกต่างกันเดือนอื่น ๆ มากที่สุด และเมื่อพิจารณาในภาพโครงสร้างสัตว์น้ำดินรวมพบว่าสามารถจัดเป็น 4 กลุ่ม ตามระดับจากความเค็มต่ำไปสูง ดังนี้ [กุมภาพันธ์] [ธันวาคม]

[ตุลาคม-สิงหาคม-มีถุนายน] และ [เมษายน] โดยที่โครงสร้างสัตว์หน้าดินในเดือนเมษายนคล้ายกับเดือนมีถุนายนมากกว่าคล้ายกับเดือนอื่น ๆ และเดือนกุมภาพันธ์คล้ายกับเดือนธันวาคมมากกว่าคล้ายกับเดือนอื่น ๆ จึงอาจสรุปได้ว่าความคล้ายคลึงของโครงสร้างของสัตว์หน้าดินมี 3 ดูดูกาล คือ ดูดูรสมุตตะวันออกเฉียงเหนือ (ธันวาคม-กุมภาพันธ์) ดูดูร้อน (เมษายน) และดูดูรสมุตตะวันตกเฉียงใต้ (มีถุนายน-สิงหาคม-ตุลาคม)

จากการวิเคราะห์ผลหาค่าสหสัมพันธ์ระหว่างสัตว์หน้าดินรวมกับปัจจัยสิ่งแวดล้อมทางกายภาพและเคมี 13 ปัจจัยร่วมกันในแต่ละเดือน พบร่วมกันที่สีเทาไม่เป็นปัจจัยที่สำคัญถ้าเปรียบเทียบกับอินทรีย์ตถุหรือการบ่อนอนอินทรีย์และปัจจัยอื่น ๆ (%Clay, %Silt, OC, pHs, Depth, DO, TSS และ Temp) ซึ่งมีค่าสหสัมพันธ์ 0.84 เป็นค่าที่แสดงความสัมพันธ์ชัดเจนเนื่องจากมีค่ามากกว่า 0.80 (Clark and Ainsworth 1993) ไม่ว่าจะหาค่าสหสัมพันธ์แยกเป็นไฟลัมสัตว์หน้าดินก็ตาม พบร่วมกับค่าสหสัมพันธ์มากกว่า 0.8 เป็นส่วนใหญ่ยกเว้น Mollusca ปัจจัยที่มีส่วนร่วมในค่าสหสัมพันธ์ที่ชัดเจนเสมอไม่ว่าจะเป็นสัตว์ในไฟลัมเดียว คือ OC, pHs, %Sand, %Silt และ %Clay ซึ่งสัตว์หน้าดินแต่ละไฟลัมมีความสัมพันธ์กับโครงสร้างดินต่างกันที่แตกต่างกันด้วย ความสัมพันธ์อย่างใกล้ชิดระหว่างสัตว์หน้าดินกับองค์ประกอบหรือโครงสร้างของดิน เป็นสิ่งที่ควรเกิดขึ้นอยู่แล้ว เพราะสัตว์หน้าดินต้องสัมผัสโดยตรง ส่วนปัจจัยอื่น ๆ ในมาลงมักเป็นปัจจัยเสริมยกเว้นในการณ์ที่มีการเปลี่ยนแปลงอย่างรุนแรง

นอกจากความอุดมสมบูรณ์และความคล้ายคลึงกันของโครงสร้างสัตว์หน้าดินระหว่างดูดูกาลแล้ว การศึกษาในเชิงพื้นที่ เป็นสิ่งที่ควรศึกษาเช่นกัน ถ้าหากต้องการหาพื้นที่ที่เหมาะสมในการเพาะเลี้ยงหรือปลูกพันธุ์สัตว์น้ำเพื่อเพิ่มผลผลิตทางการประมง

ความอุดมสมบูรณ์โดยเฉลี่ยมีความแตกต่างกันระหว่างสถานี สถานีที่มีความหลากหลายดังเดียวกัน 100 สปีชีส์ ขึ้นไป คือ สถานี 1 ซึ่งสัมผัสกับน้ำทะเลจากชายฝั่งมากที่สุด (100 สปีชีส์) สถานี 6 มีพื้นเป็นกรวดซึ่งเป็นที่เกาะของหอยสองฝ่าย เป็นสถานีที่มีมากที่สุดทั้งสปีชีส์ (105) และปริมาณรวมโดยเฉลี่ย (10616 ตัว/ตร.ม.=1812 กรัม/ตร.ม.) Crustacea มีมากที่สุดที่สถานานี้ ในความเป็นจริงแล้ว สถานี 6 ควรมีสัตว์หน้าดินซากชุมมากกว่านี้ ถ้าไม่มีการทำการทำประมงหอยที่นี่ และสถานี 9 มีพืชป่าชายเลนหลายชนิดมีสัตว์หน้าดิน 105 สปีชีส์ แต่ปริมาณรวมของสัตว์หน้าดินไม่มากนัก สถานานี้มี Polychaeta เป็นกลุ่มสำคัญ ส่วนสถานีอื่น ๆ ใกล้เคียงกัน แต่ถ้าพิจารณาความคล้ายคลึงของประชาชุมสัตว์หน้าดินรวมโดย Bray-Curtis similarity พบร่วม สถานี 6 แตกต่างจากกลุ่มน้ำมากที่สุด รองลงมาเป็นสถานี 9 ตามด้วยสถานี 4 และ 5 ส่วนสถานีที่เหลือค่อนข้างเกากลุ่มใกล้กัน

ความสัมพันธ์ระหว่างสัตว์หน้าดินรวมกับปัจจัยสิ่งแวดล้อมในเชิงพื้นที่ โดยหาค่าสหสัมพันธ์พบว่า ปัจจัยที่สำคัญเป็นเด่นต่างกัน เช่นกัน ต่างกันที่เป็นในโครงเรโนอินทรีย์และมีปัจจัยของมวลน้ำที่สำคัญมีอักษรเจนที่ละลายน้ำเท่านั้น ส่วนโครงสร้างของดินเป็น %Sand เด่นที่สุด ค่าสหสัมพันธ์ที่ชัดเจนที่สุด คือ 0.82 ส่วนค่าสหสัมพันธ์ในสัตว์แต่ละไฟลัมไม่ชัดเจนนัก (0.37-0.74)

แม้ว่าสัตว์หน้าดินในตอนล่างของทะเลสาบสงขลาตอนในมีความซากชุมน้อยกว่าในทะเลสาบสงขลาตอนล่าง และมีจำนวนสัตว์หน้าดินน้อยในบางสถานี (สถานี 3, 7 และ 8) และบางเดือน (ตุลาคม) แต่จะได้ว่าเป็นแหล่งน้ำที่มีความอุดมสมบูรณ์มาก (1500-6000 ตัว/ตร.ม.) และความหลากหลายสูง (12 สปีชีส์/0.05 ตร.ม.) ถ้าเปรียบเทียบกับค่าที่เสนอโดย Kikuchi (1991) (>5 สปีชีส์/0.1 ตร.ม. และ >100 ตัว/ตร.ม.) ยังกว้างน้ำสัตว์ส่วนของกลุ่มสัตว์หน้าดินส่วนใหญ่ทั้งในเดือนต่าง ๆ และสถานีต่าง ๆ มี Crustacea เป็นกลุ่มเด่น ซึ่งแสดงว่ามีน้ำในตอนล่างของทะเลสาบสงขลาตอนในเย็นไม่เกิดภาวะมลพิษ ซึ่งสอดคล้องกับคุณภาพน้ำ (อักษรเจนที่ละลายน้ำ ความขุ่นและพีเอส) และคุณภาพตะกอนดิน (อินทรีย์ตถุต่าง ๆ และพีเอส) ที่ดีแล้วพบว่ามีปรกติที่ดีตามหากมีพาก polychaete เพิ่มขึ้นมากจะทำให้ crustacean ลดลง เนื่องจากสภาพแวดล้อมเกิดภาวะมลพิษ (Amio 1979)

เพื่อเป็นประโยชน์ในการจัดการประมงบริเวณตอนล่างของทะเลสาบสงขลาตอนใน ในเรื่องการปล่อยพันธุ์สัตว์น้ำเพื่อเพิ่มผลผลิต จึงขอเสนอข้อมูลเบื้องต้นที่จำเป็นเพื่อประกอบการพิจารณาดังตารางที่ 25 และ 26

ตารางที่ 25 ข้อมูลเบื้องต้นแต่ละเดือนที่เป็นประโยชน์ต่อการปล่อยพันธุ์สัตว์น้ำ

เดือน	ความเค็ม (พีโอดอส)	จำนวนสัตว์ หน้าดินรวม	Polychaeta	Crustacea	Mollusca
เมษายน 2541	10-30	มากที่สุด	น้อย	มากที่สุด	มากที่สุด
มิถุนายน	10-26	มาก	มาก	มาก	มาก
สิงหาคม	11-26	มาก	มาก	ปานกลาง	ปานกลาง
ตุลาคม	13-23	น้อยที่สุด	ปานกลาง	น้อยที่สุด	น้อย
ธันวาคม*	2-4	มาก	น้อย	มาก	ปานกลาง
กุมภาพันธ์* 2542	0-0	มาก	น้อยที่สุด	มาก	น้อย

* เป็นปีที่ฝนตกไม่เป็นไปตามปกติในรอบ 10 ปี ความเค็มของน้ำในเดือนต่าง ๆ จึงแตกต่างจากการศึกษาในอดีต

ตารางที่ 26 ข้อมูลเบื้องต้นในแต่ละสถานีที่เป็นประโยชน์ต่อการปล่อยพันธุ์สัตว์น้ำ

สถานี	ความลึก (ม.)	ความเค็ม (พีโอดอส)	จำนวนสัตว์ หน้าดินรวม	Polychaeta	Crustacea	Mollusca	หมายเหตุ
1	1.6	0-30	มาก	น้อย	มาก	มาก	-
2	1.2	0-30	มาก	น้อย	มาก	มาก	-
3	1.4	0-26	น้อย	น้อย	น้อย	ปานกลาง	-
4	0.8	0-20	มาก	น้อย	มาก	มาก	-
5	1.2	0-22	ปานกลาง	น้อย	น้อย	มาก	ใกล้ฝั่งมีพืชน้ำ
6	1.3	0-18	มากที่สุด	ปานกลาง	มากที่สุด	มากที่สุด	พื้นเป็นกรวดมีการประมงหอย
7	1.6	0-18	น้อยที่สุด	น้อย	น้อย	น้อย	-
8	2.2	0-24	ปานกลาง	น้อย	มาก	ปานกลาง	ใกล้ชุมชน
9	0.9	0-25	ปานกลาง	ปานกลาง	ปานกลาง	ปานกลาง	มีต้นลำพู โคงกา

จำนวนชั้นของการเก็บตัวอย่าง

การเก็บตัวอย่างให้น่าเชื่อถือมากต้องเก็บตัวอย่างมากกว่า 50 ชั้น แต่เป็นไปไม่ได้ที่จะคัดแยกและนับตัวอย่างจำนวนมากเช่นนั้น (Elliott 1977) ที่ผ่านมาจึงมีการหาจำนวนชั้นที่เหมาะสมโดยกำหนดจำนวนชั้นจากจำนวนตัวหรือจำนวนสปีชีส์ที่เป็นข้อมูลจริง (number taxa) และการวิเคราะห์ข้อมูลให้อยู่ในรูปของตรรชนี แล้วจึงเปรียบเทียบค่าตรรชนีทางจำนวนชั้นที่เหมาะสม จำนวนชั้นที่ได้จากข้อมูลจริงของจำนวนสปีชีส์มักมีมากกว่าจำนวนชั้นที่ได้จากการคำนวณให้อยู่ในรูปของตรรชนี (ตารางที่ 27) แต่การหาทางลดจำนวนชั้นลงนั้นเป็นความต้องการในทางปฏิบัติ อย่างไรก็ตามจำนวนชั้นน้อยอาจจะไม่ถูกต้องเสมอไป เนื่องจากค่าตรรชนีต่างๆ มีข้อแตกต่างกัน Ferraro และ Cole (1992) ศึกษาจำนวนชั้นที่เหมาะสมในการเก็บตัวอย่างสัตว์หน้าดินขนาดใหญ่

บริเวณที่เกิดมลพิษจากน้ำมันต่อประชาคมสัตว์หน้าดินขนาดใหญ่จำนวน 163 taxa บริเวณใกล้คลังน้ำมันที่ช่องแคบ Puget Sound, วอชิงตัน ประเทศสหรัฐอเมริกาโดยใช้เครื่องชนิดต่างๆ กัน พบว่า ให้ผลลัพธ์แตกต่างกันได้แม้ว่าเป็นการคำนวณจากข้อมูลชุดเดียวกัน (ตารางที่ 27) ซึ่งเข้าได้ให้เหตุผลว่า ธรรมนิตระสูตรมีความไว้แฉกต่างกันในการตรวจความมากหรือน้อยของจำนวนสปีชีส์ และการกระจายของจำนวนตัวระหว่างสปีชีส์ Warwick และ Clarke (1991) กล่าวว่าการวิเคราะห์ข้อมูลแบบ Multivariate มีความไวมากในการตรวจความแตกต่างของประชาคมสัตว์หน้าดินขนาดใหญ่

ตารางที่ 27 จำนวนช้าที่เหมาะสมเมื่อจำแนกด้วยตัวอ่อนยังถึงระดับสปีชีส์และใช้ตัวแปรของขนาดต่า ≥ 0.5 มิลลิเมตร

Location	Measure	Area (m ²)	No. of replicate samples	Reference
Puget Sound, Washington	Number taxa	0.06	15	Ferraro and Cole (1992)
	Dominance index	0.06	5	Ferraro and Cole (1992)
	Shannon-Wiener index	0.06	3	Ferraro and Cole (1992)
	1-Simpson index	0.06	3	Ferraro and Cole (1992)
	McIntosh index	0.06	2	Ferraro and Cole (1992)
The Lower Inner Songkhla Lake	Bray-Curtis similarity	0.05	7	This study

การศึกษาครั้งนี้ได้เลือก Multivariate analysis โดยใช้ Bray-Curtis similarity เป็นบรรษณในการจัดกลุ่มโครงสร้างประชาคมสัตว์หน้าดินขนาดใหญ่แทน Shannon-Wiener index เนื่องจากค่า Shannon-Wiener index มักไม่สอดคล้องกับการมีอยู่จริงของจำนวนสปีชีส์ของสัตว์หน้าดิน เช่น การใช้ค่า Shannon-Wiener index วัดความหลากหลายของสัตว์หน้าดินขนาดใหญ่ในแต่ละสถานี (ตารางที่ 16) พบว่า ที่สถานี 2 การเก็บตัวอย่าง 1 ช้า พบจำนวนสปีชีส์รวม 34 สปีชีส์ มีค่า Shannon-Wiener index 1.86 ส่วนการเก็บตัวอย่าง 11 ช้า พบจำนวนสปีชีส์รวมมากกว่า (86 สปีชีส์) แต่มีค่า Shannon-Wiener index ต่ำกว่า (1.77) หรือในสถานี 4 การเก็บตัวอย่าง 1 ช้า พบจำนวนสปีชีส์รวม 42 สปีชีส์ มีค่า Shannon-Wiener index 1.92 ส่วนการเก็บตัวอย่าง 5 ช้า พบจำนวนสปีชีส์รวมมากกว่า (62 สปีชีส์) แต่มีค่า Shannon-Wiener index ต่ำกว่า (1.69) ข้อควรระวังในการใช้บรรษณความหลากหลายนี้ได้มีการวิจารณ์กันบ้างแล้วในหลายทศวรรษ (Rosenberg 1976, 1977; Angsupanich and Kuwabara 1999) ส่วนกรณีการใช้ Bray-Curtis similarity ที่แสดงในรูปแบบเดอนโตรแกรม (รูปที่ 7) มีความสอดคล้องกับจำนวนสปีชีส์ที่ตรงตามความเป็นจริงมากกว่า

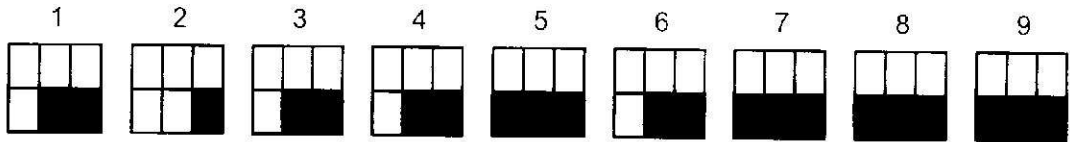
การวิจัยเพื่อหารือเรื่องการศึกษาสัตว์หน้าดินขนาดใหญ่ให้มีประสิทธิภาพโดยเน้นที่จำนวนช้า ขนาดพื้นที่ อุปกรณ์เก็บตัวอย่างสัตว์หน้าดิน และขนาดตัวตะ太งแบบแยกตัวอย่างได้เมื่อหลายทศวรรษแล้ว และได้เสนอผลการวิจัยที่มีทั้งคล้ายกันและต่างกัน โดยต้องพิจารณาควบคู่กับปัจจัยสำคัญอื่นที่มีอิทธิพลต่อการดำรงชีวิตของสัตว์ (ลักษณะแหล่งที่อยู่ และฤดูกาล) และลักษณะหรือพฤติกรรมของสัตว์ด้วย ดังเช่น การวิจัยนิเวศวิทยาของ *Capitella capitata* บริเวณ Lagos Lagoon ประเทศไนจีเรียในฤดูแล้งและฤดูฝน ซึ่งเลือกใช้ van Veen grab ขนาดพื้นที่ 0.1 ตารางเมตร พบว่าในปีแรกของการวิจัยเก็บตัวอย่างจำนวน 5 ช้า ต่อมานี้ปีที่สอง ต้องเพิ่มการเก็บตัวอย่างเป็น 10 ช้า ในสถานีที่มีความหนาแน่นของสัตว์หน้าดินน้อย เนื่องจากสถานีนั้น ๆ ได้รับน้ำจืดมากจากแม่น้ำ ทำให้ปริมาณสัตว์หน้าดินลดลงมาก ทั้ง ๆ ที่เป็นสถานีเดียวกัน (Ajao and Fagade 1990)

นอกจากคุณภาพน้ำแล้วคุณลักษณะดินจะกอนก็มีผลต่อโครงสร้างประชาชัมสัตว์หน้าดินขนาดใหญ่เช่นกัน โดยพบว่า โครงสร้างของอนุภาคดินที่สถานี 6 เป็นกรวดขนาดใหญ่และมีปริมาณมากกว่าสถานีอื่น ก้อนหินดิน พบร่องรอยสปีชีส์และจำนวนตัวเฉลี่ยของสัตว์หน้าดินขนาดใหญ่มากกว่าสถานีอื่นๆด้วย ความสมพันธ์นี้ สอดคล้องกับผลการศึกษาของ Biernbaum (1979) ซึ่งพบว่าการแพร่กระจายของ amphipod ชนิดที่อาศัยอยู่ หน้าดินบริเวณ Fishers Island Sound, Connecticut ประเทศสหรัฐอเมริกา มีจำนวนสปีชีส์เพิ่มขึ้นเมื่อขนาดเม็ด ดินใหญ่ขึ้น แต่แตกต่างกับการศึกษาของ Kuwabara และ Akimoto (1986) ซึ่งกล่าวว่าสัตว์หน้าดินแบบชายฝั่ง Tungkang ด้านตะวันตกเนียงได้หัวน้ำ ซึ่งเป็นบริเวณทรัพยากรายหยาบ มีจำนวนสปีชีส์และความหนาแน่นน้อย และปริมาณอินทริสสารที่ถูกพัดพามาจากแม่น้ำมีผลต่อประชาชัมสัตว์หน้าดินมากที่สุด เป็นที่น่าสังเกตว่าที่ สถานี 6 ซึ่งมีพื้นที่เป็นกรวดก็จริงแต่ผิวกรวดมีหอยภูพงเกาะอยู่อย่างหนาแน่นจนเป็นร่องแทะและมีตะกอน เกลือบอยู่ กล้ายเป็นที่อยู่อาศัยของสัตว์หน้าดินชนิดอื่นๆ เช่น polychaete และ crustacean เป็นต้น

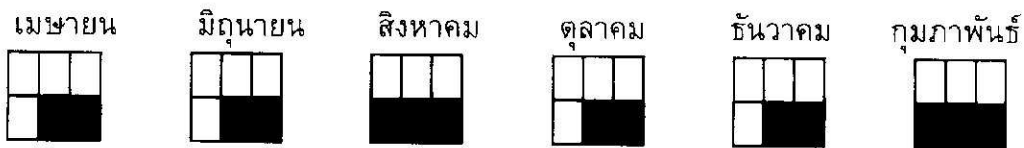
ดังนั้นจากการศึกษาครั้งนี้จำนวนชั้นที่เหมาะสมในการศึกษาโครงสร้างประชาชัมสัตว์หน้าดินขนาดใหญ่แต่ละสถานี 7-11 ชั้น และเวลา 7-9 ชั้น ซึ่งมีความแตกต่างกันเล็กน้อย ทั้งนี้อาจเนื่องจากคุณภาพน้ำระหว่าง ฤดูกาล และความแตกต่างระหว่างพื้นที่ห้องน้ำระหว่างสถานี มีผลต่อการเปลี่ยนแปลงแทนที่ของโครงสร้างสัตว์

นอกจากนี้ หากประสงค์จะศึกษาสัตว์หน้าดินแยกแต่ละไฟลัมหรือกลุ่มอาจเลือกใช้ได้ตามผลในรูปที่ 17 แต่จะต้องคำนึงถึงสภาพแวดล้อมทางกายภาพและเคมีด้วย ถ้ามีสภาพที่มีการแปรผันมากไม่ควรใช้ จำนวนชั้นต่ำกว่าที่เสนอเนื่องจากช่วงที่น้ำมีการแปรผันมากมีผลต่อการเปลี่ยนแปลงแทนที่ของสัตว์บางสปีชีส์ อย่างเช่น Elliott (1977) กล่าวว่า จำนวนชั้นที่เหมาะสมที่ค่อนขานได้สมควรใช้เฉพาะสถานีนั้นๆ แต่ละสถานี มีจำนวนชั้นที่เหมาะสมแตกต่างกัน แต่ในทางปฏิบัติการศึกษาโครงสร้างประชาชัมสัตว์หน้าดินขนาดใหญ่ มากเป็นการศึกษาโดยรวมในพื้นที่ทั้งหมด และครอบคลุมทุกฤดูกาล จากการศึกษาโดยรวมสรุปได้ว่าควรใช้ จำนวน 7 ชั้นด้วยอุปกรณ์ขนาด 0.05 ตารางเมตร ที่ 95% ของความคล้ายคลึงกันแบบ Bray-Curtis จึงเป็นพื้นที่ (7×0.05 ตร.ม.) น้อยกว่าพื้นที่มาตรฐาน (5×0.1 ตร.ม.) ที่นิยมใช้กัน (McIntyre *et al.* 1984; Ferraro *et al.* 1994) ยิ่งกว่านั้นการใช้หน่วยตัวอย่างที่มีขนาดเล็กกว่า แต่เพิ่มจำนวนชั้นมีประสิทธิภาพมากกว่าขนาดใหญ่ (Elliott 1977) การเก็บตัวอย่างควรใช้อุปกรณ์ขนาดเล็กเก็บตัวอย่างหลายชั้น (Botton 1979; Gray 1981; Cochran 1977; Heitshe and Ritchey 1984) จึงไม่จำเป็นต้องใช้อุปกรณ์ที่มีพื้นที่หน้าดินขนาดใหญ่ อย่างไรก็ตาม อาจใช้เพียง 3 ชั้น แต่จะต้องยอมรับว่า เป็นค่าที่ได้จากการพิจารณาความคล้ายคลึงกันแบบ Bray-Curtis ที่ 90% ซึ่งมีโอกาสพบจำนวนสปีชีส์น้อยลง ทั้งนี้ต้องพิจารณาดูประสค์ในการศึกษาด้วย (McIntyre *et al.* 1984) ซึ่งอาจจะเหมาะสมกับการศึกษาโครงสร้างประชาชัมสัตว์หน้าดินในบริเวณที่เกิดภาวะลิปิช ซึ่งมักพบ สัตว์หน้าดินน้อยชนิดโดยมีบางชนิดมีจำนวนมาก (Clarke and Warwick 1994) แต่จำนวน 3 ชั้น นี้อาจน้อยเกินไปไม่เหมาะสมสำหรับการศึกษาเชิงคุณภาพซึ่งต้องศึกษาทางอนุกรมวิธาน และการศึกษาเชิงปริมาณเพื่อประเมิน จำนวนตัวหรือมวลซึ่งภาพต่อหน่วยพื้นที่ เนื่องจากอาจสูมตัวอย่างได้น้อยชนิดและความซุกซุ่มอาจจะมากหรือ น้อยกว่าความเป็นจริง (จำนวนชั้นน้อย ค่าวาเรียนซ์ของจำนวนตัวในแต่ละชั้นมาก) โดยจำนวนชั้นมากจะให้คำ ตอบที่น่าเชื่อถือมาก (Oxley 1994) ดังนั้นจำนวน 3 ชั้น ไม่เหมาะสมกับการศึกษาซึ่งกำหนด 9 สถานี บริเวณ ต่อนล่างของทะเลสาบสงขลาตอนในซึ่งมีความหลากหลายและความซุกซุ่มสูงมากเมื่อเปรียบเทียบกับเกณฑ์ของ Kikuchi (1991) อ้างโดย Angsupanich และ Kuwabara (1995) ซึ่งกล่าวว่าสัตว์หน้าดินมีความซุกซุ่มสูงเมื่อมี จำนวนสปีชีส์มากกว่า 5 สปีชีส์ต่อ 0.1 ตารางเมตร หรือจำนวนตัวมากกว่า 100 ตัวต่อตารางเมตร บริเวณ ต่อนล่างของทะเลสาบสงขลาตอนใน พบร่วมจำนวนสปีชีส์เฉลี่ย 12 ± 5.38 สปีชีส์ต่อ 0.05 ตารางเมตร และ จำนวนตัวเฉลี่ย 152 ± 329.06 ตัวต่อ 0.05 ตารางเมตร ($n=594$) อย่างไรก็ตาม หากมีการกำหนดจำนวนสถานี เก็บตัวอย่างมากขึ้นอาจลดจำนวนชั้นแต่ละสถานีลงได้

ก) เชิงพื้นที่ (สถานีต่างๆ)



ข) เชิงเวลา (เดือนต่างๆ)



ค) โดยรวม (ไฟลัมต่างๆ)



1	3	5
7	9	11

ตัวเลขในแต่ละช่อง หมายถึง จำนวนช้า

ແຮງເສີດໍາ ໝາຍຖິ່ງ ກລຸມຈຳນວນຫັ້ມາກທີ່ມີໂຄຮງສ້າງປະຊາມສັດວ

ໜ້າດິນຂະນາດໃໝ່ຄລ້າຍຄລິ່ງກັນແບບ Bray-Curtis 95%

ຮູບທີ 17 ກລຸມຂອງຈຳນວນຫັ້ມາກທີ່ມີໂຄຮງສ້າງປະຊາມສັດວໜ້າດິນຂະນາດໃໝ່ຄລ້າຍຄລິ່ງແບບ

Bray-Curtis 95 %

ขนาดตะแกรงแยกตัวอย่าง

การศึกษาสัตว์หน้าดินนิยมใช้ตะแกรงขนาดตา $0.5-2.0$ มิลลิเมตร โดยใช้ตะแกรงตามระเอียดเมื่อรวบรวมสัตว์หน้าดินวัยอ่อน และใช้ตาขานดใหญ่มากที่สุดในการเก็บตัวอย่างจากทะเลสาบ (Eleftheriou and Holme 1984) Ferraro และคณะ (1994) รายงานว่า ตะแกรงขนาดตา 1.0 มิลลิเมตร แยกจำนวนสปีชีส์ได้ 73% และตะแกรงขนาดตา 0.5 มิลลิเมตร แยกจำนวนตัวได้ 49% เวลาที่ใช้ในขั้นตอนต่างๆ ของการศึกษาตัวอย่างที่ได้จากการใช้ตะแกรงขนาดตา ≥ 0.5 มิลลิเมตร ใช้เวลามากกว่าการใช้ตะแกรงขนาดตา ≥ 1.0 มิลลิเมตร ถึง 2.5 เท่า การศึกษาในครั้งนี้ใช้ตะแกรงขนาดตา ≥ 1.0 มิลลิเมตร แยกสปีชีส์ได้ 93% ($160/172$) ของจำนวนสปีชีส์ทั้งหมด และจำนวนตัว 58% ($51930/90194$) ของจำนวนตัวทั้งหมด และการใช้ตะแกรงขนาดตา 0.5 มิลลิเมตร แยกสปีชีส์ได้ 7% ($12/172$) ของจำนวนสปีชีส์ทั้งหมด และจำนวนตัว 42% ($38264/90194$) ของจำนวนตัวทั้งหมด

จำนวนสปีชีส์ที่พบในตะแกรงขนาดตา ≥ 0.5 มิลลิเมตร ในช่วงเดือนเมษายน-มิถุนายน มีจำนวนมากเนื่องจากมีสปีชีส์ที่ตัวเต็มวัยมีขนาดเล็กและมีลูกหอยวัยอ่อน ในขณะที่เดือนธันวาคม-กุมภาพันธ์ มี crustacea วัยอ่อน แต่พบจำนวนสปีชีส์และจำนวนตัวน้อยกว่าช่วงเดือนเมษายน-มิถุนายน Reish (1959) อ้างโดย Gray (1981) เก็บตัวอย่างสัตว์หน้าดินขนาดใหญ่ที่ชายฝั่งแคลิฟอร์เนีย พบร่วมมี crustacea ส่วนใหญ่ลดรอดจากตะแกรงขนาดตา ≥ 0.5 มิลลิเมตร เมื่อเปรียบเทียบกับเบอร์เร็นต์สัตว์หน้าดินที่ร่วงรรมได้บริเวณตอนล่างของทะเลสาบสงขลาตอนใน ดังตารางที่ 28 พบร่วมเบอร์เร็นต์จำนวนตัวของสัตว์หน้าดินขนาดใหญ่ที่ค้างอยู่บนตะแกรง 0.5 มิลลิเมตร ที่ศึกษาริเวณชายฝั่งカリฟอร์เนีย (30.7) ต่ำกว่าที่ศึกษาริเวณตอนล่างของทะเลสาบสงขลาตอนใน (42.4%) ทั้งสองแห่งนี้มีตัวอย่างมอลลัสคาจำนวนมาก และการศึกษาสัตว์หน้าดินที่แคลิฟอร์เนียไม่พบการหลุดรอดของ mollusca เลย ส่วน crustacea มีตัวอ่อนขนาดเล็ก จึงไม่ได้ทำให้เบอร์เร็นต์ที่พบในตะแกรงขนาดตา 0.5 มิลลิเมตร มีจำนวนตัวเพิ่มขึ้น Rodriguez and Magnan (1993) กล่าวว่า สัตว์หน้าดินที่มีขนาดเล็กส่วนใหญ่สามารถหลุดแห่นตะแกรงขนาด 0.6 มิลลิเมตรได้ ทำให้การประเมินความซุกซุมและการเปลี่ยนแปลงตามฤดูกาลของกลุ่มสัตว์ที่มีขนาดเล็กที่สุดต่ำกว่าความเป็นจริง Schwinghamer (1991) อ้างโดย Rodriguez and Magnan (1993) จึงได้เลือกใช้ตะแกรงขนาด 0.42 มิลลิเมตร แยกสัตว์หน้าดินขนาดใหญ่ แต่การใช้ตะแกรงขนาดตาที่แตกต่างกัน มีผลต่อการเปรียบเทียบกับการศึกษาของผู้อื่น

นอกจากขนาดของตาตะแกรงแล้ว ลักษณะของตาตะแกรงมีผลต่อปริมาณตัวอย่างขณะที่ร่อนออกจาทดินตะกอนเช่นกัน เนื่องจากเบอร์เร็นต์ของพื้นที่ของตาที่เป็นสี่เหลี่ยมมีมากกว่าตากลม (Eleftheriou and Holme 1984) ใน การศึกษาครั้งนี้ ปัจจัยเนื่องจากลักษณะของตาตะแกรงไม่มีผลตอข้อมูลที่ได้เนื่องจากใช้ตะแกรงตาสี่เหลี่ยม

การศึกษาเพื่อประเมินความหลากหลายและความซุกซุมในครั้งนี้ควรใช้ตะแกรงขนาดตา 0.5 มิลลิเมตร ด้วย เพราะจำนวนตัวของสปีชีส์ที่มีขนาดเล็ก และลูกสัตว์วัยอ่อนมีมากเกือบครึ่งหนึ่ง (42.4%) ของจำนวนตัวทั้งหมด แม้ว่าค่าสถิติ (ANOSIM) สรุปว่า โครงสร้างประชากรมสัตว์หน้าดินขนาดใหญ่ซึ่งแยกได้ด้วยตะแกรงขนาดตา 1.0 และ 0.5 มิลลิเมตร ไม่มีความแตกต่างอย่างมีนัยสำคัญที่ระดับ 95%

ตารางที่ 28 เปอร์เซ็นต์จำนวนตัวของสัตว์หน้าดินขนาดใหญ่ซึ่งได้จากการเก็บตัวอย่างด้วยตะแกรงขนาดตา ≥ 1.0 และ ≥ 0.5 มิลลิเมตร

Location	California (Reish 1959 Gray 1981)	quoted in		This study	
		1.0 mm	0.5 mm	Residue	1.0 mm
Taxa / Mesh size :					0.5 mm
Nematoda	0.0	1.5	98.5	-	-
Nemertea	69.2	30.8	0	51.3	48.7
Polychaeta				55.5	44.5
<i>Lumbrineris</i>	95.2	4.8	0	-	-
<i>Dorvillea articulata</i>	62.2	34.4	3.4	-	-
<i>Prionospio cirrifera</i>	42.8	57.0	0.2	-	-
<i>Capitita ambiseta</i>	45.8	53.6	0.6	-	-
<i>Cossura candida</i>	1.4	75.2	23.4	-	-
Other polychaetes	58.3	35.1	6.6	-	-
Crustacea	17.6	35.3	47.1	57.1	42.9
Mollusca	87.5	12.5	0	58.6	41.4
Others	-	-	-	63.2	36.8
Total	37.0	30.7	32.3	57.6	42.4

สรุป

แหล่งที่อยู่อาศัยบริเวณดอนล่างของทะเลสาบสงขลาตอนในประกอบด้วยแหล่งพืชน้ำ ป่าชายเลน พื้นที่เป็นตะกอนดินโคลน กรวดทราย มีกิจกรรมต่างๆ เช่น นาภูง และแหล่งเครื่องมือประมงประจำถิ่น การเลี้ยงปลาในกระชัง และมีทั้งพื้นที่ใกล้หรือไกลแหล่งชุมชน เป็นเด่น พบสัตว์หน้าดินขนาดใหญ่จำนวน 8 ไฟลัม คือ Annelida (58 สปีชีส์) Crustacea (56 สปีชีส์) Mollusca (23 สปีชีส์) Platyhelminthes (1 สปีชีส์) Cnidaria (4 สปีชีส์) Hexapoda (7 สปีชีส์) Chordata (10 สปีชีส์) และ Nemertea (1 สปีชีส์) จำนวนสปีชีส์เฉลี่ย 12 สปีชีส์ ต่อ 0.05 ตารางเมตร จำนวนตัวเฉลี่ย 152 ตัวต่อ 0.05 ตารางเมตร จัดเป็นแหล่งน้ำที่มีความชุกชุมมาก แหล่งที่อยู่ชึ้นแรกต่างกันทำให้โครงสร้างประชาคมสัตว์หน้าดินขนาดใหญ่แตกต่างกัน บริเวณที่เป็นกรวดทรายและพื้นที่ป่าชายเลนมีความหลากหลายมากที่สุด (105 สปีชีส์) จำนวนสปีชีส์น้อยที่สุดพบในแหล่งพืชน้ำ (65 สปีชีส์)

จำนวนช้าที่เหมาะสมเมื่อวัดด้วยความคล้ายคลึงแบบ Bray-Curtis ที่ระดับ 95% ในการเก็บตัวอย่างในแต่ละสถานี 7-11 ช้า และแต่ละเดือน 7-9 ช้า ส่วนจำนวนช้าที่เหมาะสมในการศึกษาโครงสร้างประชาคมสัตว์หน้าดินขนาดใหญ่แต่ละไฟลัม ได้แก่ Annelida, Crustacea, Mollusca และไฟลัมอื่น ๆ คือ 3, 7, 7 และ 11 ช้า ตามลำดับ จำนวนช้าที่เหมาะสมในการเก็บตัวอย่างในบริเวณดอนล่างของทะเลสาบสงขลาตอนในคือ 7 ช้า อายุตัวอย่างไว้ก้าว จำนวนช้าที่ได้จากการจัดกลุ่มด้วยดัชนีความคล้ายคลึงแบบ Bray-Curtis ที่ 90% ในแต่ละสถานี และแต่ละเดือน อายุระหว่าง 5-7 ช้า และ 3-7 ช้าตามลำดับ และในการศึกษาโครงสร้างประชาคมสัตว์หน้าดินขนาดใหญ่แต่ละไฟลัม ได้แก่ Annelida, Crustacea, Mollusca และไฟลัมอื่น ๆ คือ 3, 3, 3 และ 7 ช้า ตามลำดับ จำนวนช้าที่เหมาะสมในการเก็บตัวอย่างในบริเวณดอนล่างของทะเลสาบสงขลาตอนใน คือ 3 ช้า อายุไว้ก้าวจะเป็นการเพิ่มโอกาสให้มีได้สัตว์หน้าดินบางชนิดที่มีน้อย

การใช้ตัวแปรรังແยกรดตัวอย่างสัตว์หน้าดินขนาดใหญ่พบว่าตัวแปรรังขนาดต่า ≥ 1.0 มิลลิเมตร แยกสปีชีส์ได้ 93% ของจำนวนสปีชีส์ทั้งหมด และแยกจำนวนตัวได้ 58% ของจำนวนตัวทั้งหมด ส่วนตัวแปรรังขนาดต่า 0.5 มิลลิเมตร แยกตัวอย่างสัตว์หน้าดินขนาดใหญ่แล้วพบจำนวนสปีชีส์และจำนวนตัวเพิ่มขึ้น ทำให้โครงสร้างประชาคอมสัตว์หน้าดินขนาดใหญ่ที่ได้จากการใช้ตัวแปรรังขนาดต่า ≥ 1.0 และ >0.5 มิลลิเมตร มีความคล้ายคลึงแบบ Bray-Curtis ในแต่ละสถานี แต่ละเดือน และโดยรวม แตกต่างกันดังนี้

ในแต่ละสถานี ความคล้ายคลึงแบบ Bray-Curtis ต่าสุด 84.6% ที่สถานี 2 (เพิ่มขึ้น 19 สปีชีส์, 44 ตัว/ตัวแปรรัง) และค่าสูงสุด 88.8% ที่สถานี 5 (เพิ่มขึ้น 9 สปีชีส์, 25 ตัว/ตัวแปรรัง) และสถานี 9 (เพิ่มขึ้น 15 สปีชีส์, 38 ตัว/ตัวแปรรัง) ถือแม่ว่าการเก็บตัวอย่างด้วยตัวแปรรังขนาดต่า ≥ 0.5 มิลลิเมตร ในสถานี 6 พบจำนวนตัวต่อตัวแปรรัง สูงสุด (เพิ่มขึ้น 15 สปีชีส์, 315 ตัว/ตัวแปรรัง) เนื่องจากสถานีนี้มีลูกหอย *Brachidontes arcuatulus* วัยอ่อนจำนวนมาก แต่ความคล้ายคลึงยังมีมากกว่าสถานี 2 ซึ่งมีสปีชีส์เพิ่มขึ้นมากถึง 19 สปีชีส์

ในแต่ละเดือน ความคล้ายคลึงแบบ Bray-Curtis ต่าสุด 84.4% ในเดือนเมษายน (เพิ่มขึ้น 18 สปีชีส์, 208 ตัว/ตัวแปรรัง) พบจำนวนตัวต่อตัวแปรรังสูงสุดเนื่องจากเดือนนี้มีลูกหอยวัยอ่อน (*Brachidontes arcuatulus*) จำนวนมาก และความคล้ายคลึงแบบ Bray-Curtis สูงสุด 92.3% ในเดือนกุมภาพันธ์ (เพิ่มขึ้น 10 สปีชีส์, 28 ตัว/ตัวแปรรัง)

การใช้ตัวแปรรังขนาดต่า ≥ 1.0 และ >0.5 มิลลิเมตร แยกตัวอย่างสัตว์หน้าดินขนาดใหญ่โดยรวมพบว่า มีความคล้ายคลึงแบบ Bray-Curtis 90.7% การวิเคราะห์ค่าทางสถิติ (ANOSIM) พบว่าโครงสร้างประชาคอมสัตว์หน้าดินขนาดใหญ่ชึ้นแยกตัวอย่างตัวแปรรังขนาดต่า ≥ 1.0 และ >0.5 มิลลิเมตร ไม่มีความแตกต่างกันอย่างมีนัยสำคัญที่ระดับ 95% แต่ในความเป็นจริง การใช้ตัวแปรรังขนาดต่า ≥ 0.5 มิลลิเมตร ทำให้พบจำนวนสปีชีส์เพิ่มขึ้น 12 สปีชีส์ เก็บตัวอย่างสัตว์หน้าดินขนาดใหญ่ชึ้นตัวเดียวมีขนาดเล็กและลูกสัตว์วัยอ่อนได้เพิ่มขึ้น 38264 ตัว การเลิกใช้ตัวแปรรังขนาดต่า 0.5 มิลลิเมตร ทำให้การประเมินจำนวนสปีชีส์และจำนวนตัวต่างกับความเป็นจริง

เพราระมีสัตว์หน้าดินวัยอ่อนและสปีชีส์ที่มีขนาดเล็กหลุดรอดไปได้ ดังนั้นการใช้สกิดในการประเมินข้อมูลทางชีวภาพในธรรมชาติ ในบางกรณีจึงควรพิจารณาอย่างรอบคอบก่อนตัดสินใจนำผลไปปฏิบัติ

การนำผลการศึกษาไปปฏิบัติควรจะต้องคำนึงถึงความแตกต่างของแหล่งที่อยู่อาศัย คุณภาพน้ำคุณลักษณะดินตะกอน และคุณภาพ นอกจากนี้ยังต้องพิจารณาขนาดของอุปกรณ์เก็บตัวอย่างสัตว์หน้าดินขนาดใหญ่ และประการสำคัญจะต้องสอดคล้องกับวัตถุประสงค์ด้วย

นอกจากนี้ แม้ว่าทะเลขابสงขลาตอนใน เป็นแหล่งน้ำกร่อยที่น้ำมีการเปลี่ยนแปลงความเค็มช่วงกว้างมาก แต่พบว่ามีสัตว์น้ำหน้าดินที่สามารถแพร่กระจายได้อย่างกว้างขวางและมีปริมาณมากอยู่หลายชนิด แสดงว่าสัตว์น้ำหน้าดินเหล่านี้มีความสามารถในการปรับตัวได้อย่างดีและคงที่แล้ว และเป็นแหล่งอาหารหลักของสัตว์น้ำอื่นๆ ที่มีขนาดใหญ่กว่า ดังนั้นควรมีการป้องกันภาวะมลพิษที่อาจจะเกิดขึ้นจากการทำกิจกรรมทั้งรอบและในทะเลขابสงขลา ไม่ว่าจะเป็นเหตุที่เกิดจากสารมลพิษในตัวเองหรือสารไม่มลพิษในตัวเอง (แต่มีปริมาณมากขึ้นหรือน้อยลงจากสภาพธรรมชาติ) หากจะมีการพัฒนาทะเลขابสงขลาเพื่อการใช้ประโยชน์หรือเพื่อให้คงอยู่ยั่งยืน ควรจะต้องพิจารณาและทำการศึกษาให้รอบคอบเสียก่อน มีฉะนั้น ความหวังต่อจากก่อให้เกิดผลเสียหายได้ เช่นกัน เช่น การสร้างคันกันน้ำเค็มในทะเลขابสงขลา การปล่อยพันธุ์สัตว์น้ำและการเลี้ยงปลาในกระชังในทะเลขاب ซึ่งจะต้องคำนึงถึงทั้งชนิดและปริมาณปลาตลอดจนจำนวนกระชัง

เอกสารอ้างอิง

กองภูมิอากาศ. 2532. ภูมิอากาศน่ารู้. กรมอุตุนิยมวิทยา, กระทรวงคมนาคม. กรุงเทพฯ.

แพร์ ณ เชียงใหม่. 2522. รายงานผลการวิจัยโครงการพัฒนาศักยภาพสังคม 2521-2522.

มหาวิทยาลัยสงขลานครินทร์ หาดใหญ่.

ไฟรอน์ สิริมนต์ภารណ์ และคณะ ไชยาคำ. 2525. การศึกษานิเวศวิทยาในทະเลสถาบสงขลา. หน้า 206-214.

รายงานผลงานทางวิชาการปี 2525. สถาบันเพาะเลี้ยงสัตว์น้ำชายฝั่ง สงขลา กรมประมง.

ไฟรอน์ สิริมนต์ภารណ์, สุชาติ วิเชียรสรรค์ และสุจิตรา กระบวนการรัตน์. 2520. การศึกษาชนิดและปริมาณ
เบนโทสในทະเลสถาบสงขลา. หน้า 312-330. รายงานผลการปฏิบัติงานทางวิชาการประจำปี 2520.

สถานีประมง จังหวัดสงขลา กรมประมง.

ไฟรอน์ สิริมนต์ภารណ์, สุชาติ วิเชียรสรรค์ และสุจิตรา กระบวนการรัตน์. 2521. การศึกษาชนิดและปริมาณ
เบนโทสในทະเลสถาบสงขลา. หน้า 322-340. รายงานผลการปฏิบัติงานทางวิชาการประจำปี 2521.

สถานีประมง จังหวัดสงขลา กรมประมง.

ยงยุทธ บรีดาลัมพะบุตร และนิคม ละอองศิริวงศ์. 2540ก. การเปลี่ยนแปลงและความสัมพันธ์ระหว่างคุณภาพ
ตะกอนดินกับสัตว์น้ำดินในทະเลสถาบสงขลา. เอกสารวิชาการฉบับที่ 3/2540. สถาบันวิจัยการเพาะเลี้ยง
สัตว์น้ำชายฝั่ง สงขลา. 37 หน้า.

ยงยุทธ บรีดาลัมพะบุตร และนิคม ละอองศิริวงศ์. 2540ข. การเปลี่ยนแปลงและความสัมพันธ์ระหว่าง
คุณภาพน้ำกับแพลงก์ตอนพืชในทະเลสถาบสงขลา. เอกสารวิชาการฉบับที่ 4/2540. สถาบันวิจัย
การเพาะเลี้ยงสัตว์น้ำชายฝั่ง สงขลา. 49 หน้า.

สวัสดิ์ วงศ์สมนึก และสมชาติ สุขวงศ์. 2512. การสำรวจความชุกชุมและการแพร่กระจายของเบนโทสใน
ทະเลสถาบสงขลา ปี 2512. หน้า 69-100. รายงานประจำปี 2512. สถานีประมงทະเลสงขลา กรมประมง.

สวัสดิ์ วงศ์สมนึก และสมชาติ สุขวงศ์. 2513. การสำรวจความชุกชุมและการแพร่กระจายของเบนโทสใน
ทະเลสถาบสงขลา ปี 2513. หน้า 231-243. รายงานประจำปี 2513. สถานีประมงทະเลสงขลา กรมประมง.

- เสาวภา อังสุวนิช. 2539. คุณภาพน้ำและดินตะกอน. หน้า 7-21. รายงานการวิจัย เรื่องระบบนิเวศและ การใช้ทรัพยากรชั่วคราว : การศึกษาเขตต่อเนื่องชายฝั่งทะเลสาบสงขลาตอนนอกบริเวณคลองพะวง และคลองอู่ตะเภา. ภาควิชาわりชศาสตร์ คณะทรัพยากรธรรมชาติ มหาวิทยาลัยสงขลานครินทร์ หาดใหญ่. สมศักดิ์ มณีพงศ์ และสุภาพร รักเขียว. 2541. รายงานการวิจัย เรื่องการศึกษาสมบัติทางเคมีของตะกอนใน ทะเลสาบและทะเลหลวง. คณะทรัพยากรธรรมชาติ มหาวิทยาลัยสงขลานครินทร์ หาดใหญ่. 72 หน้า.
- อังสุนีย์ ชุมประภุ, จุพารณ์ รัตนไชย และอภารณ์ มีชูขันธ์. 2539. ประเมินผลการจับสัตว์น้ำจากทะเลสาบ สงขลา ปี 2537-2538. เอกสารวิชาการฉบับที่ 4/2539. สถาบันวิจัยการเพาะเลี้ยงสัตว์น้ำชายฝั่ง สงขลา. 32 หน้า.
- Ajao, E. A. and Fagade, S. O. 1990. The ecology of *Capitella capitata* in Lagos Lagoon, Nigeria. Arch. Hydrobiol. 120 : 229-239.
- Amio, M. 1979. Macrofauna and aquatic animals. p. 2-3, 59-83. In : Report on the effect of waste water effluent from sewage disposal plant in Takamatsu City to fishing grounds. Res. Org. on the Effect of Waste Water Effluent from Sewage Disposal Plant in Takamatsu City to Fishing Grounds. Takamatsu. (in Japanese).
- Angsupanich, S. and Kuwabara, R. 1995. Macrofauna in Thale Sap Songkhla, a brackish lake in southern Thailand. Lake & Reservoirs : Research Management. 1 : 115-125.
- Angsupanich, S. and Kuwabara, R. 1999. Distribution of macrobenthic fauna in Phawong and U-Taphao canals flowing into a lagoonal lake, Songkhla, Thailand. Lakes Reserv. Res. Manage. 4 : 1-13.
- Bamber, R. N., Ariyananda, T. and Silva, E. I. L. 1996. A new genus and species of apseudomorph tanaidacean from Sri Lanka. Asian Mar. Biol. 13 : 133-140.
- Banner, A. and Banner, D. 1966. The Alpheus Shrimp of Thailand. The Siam Society Monograph Series No.3. Bangkok.
- Barnard, K. H. 1935. Report on the Amphipoda, Isopoda and Tanaidacea in the collections of the Indian Museum. Records of the Indian Museum. 37 : 314-316.
- Biernbaum, C. K. 1979. Influence of sedimentary factors on the distribution of benthic amphipods of Fishers Island Sound, Connecticut. J. Exp. Mar. Biol. Ecol. 38 : 201-223.
- Botton, M. L. 1979. Effects of sewage sludge on the benthic invertebrate community of the inshore New York Bight. Estuar. Coast. Mar. Sci. 8 : 169-180.
- Brohmanonda, P. And Sungkasem, P. 1982. Lake Songkhla in Thailand. p. 59-61. In: Report of Training Course on Seabass Spawning and Larval Rearing. Held in Songkhla, Thailand during 1-20 June 1982. UNDP/FAO.
- Brown, J.R., Gowen, R.J. and McLusky, D.S. 1987. The effect of salmon farming on the benthos of a Scottish sea loch. J. Exp. Mar. Biol. Ecol. 109 : 39-51.
- Carr, M. R. 1997. Primer User Manual (Plymouth Routines in Multivariate Ecological Research). Plymouth : Plymouth Marine Laboratory.

- Chatupote, W., Maneepong, S. and Matsumoto, S. 1994. Dynamics of soil nutrients in sediment. p. 137-153 In : Ecosystem Dynamics of the Outer Songkhla Lake, Southern Thailand. Angsupanich, S. and Aruga, Y. (eds.). Nodai Center for International Programs, Tokyo University of Agriculture, Tokyo.
- Clark, R.B. 1962. Observations on the food of *Nephrys*. Limnol. Oceanogr. 7 : 380-385.
- Clarke, K.R. and Ainsworth, M. 1993. A method of linking multivariate community structure to environment variables. Mar. Ecol. Prog. Ser. 92 : 205-219.
- Clarke, K. R. and Warwick, R. M. 1994. Change in Marine Communities : an Approach to Statistical Analysis and Interpretation. Bournemouth : Bourne Press Limited.
- Cochran, W. G. 1977. Sampling Techniques. 3d ed. New York : John Wiley & Sons.
- Dauer, M.D. 1993. Biological criteria, environmental health and estuarine macrobenthic community structure. Mar. Poll. Bull. 26 : 249-257.
- Eletheriou, A. and Holme, N. A. 1984. Macrofauna techniques. pp.140-216. In Methods for the Study of Marine Benthos. Holme, N.A. and . McIntyre, A.D. (eds.). 2d ed. Melbourne : Blackwell Scientific Publications.
- Elliott, J. M. 1977. Some Methods for the Statistical Analysis of Samples of Benthic Invertebrates. Freshwater. Biological. Association. Scientific. Publication. No. 25. U.K. : Ferry House.
- FAO. 1960. Manual of Field Methods in Fisheries Biology. FAO Manuals in Fisheries Science No.1. FAO, Rome.
- Ferraro, S.P. and Cole, F.A. 1992. Taxonomic level sufficient for assessing a moderate impact on macrobenthic communities in Puget Sound, Washington, USA. Can. J. Fish. Aquat. Sci. 49 : 1184-1188.
- Ferraro, S.P., Cole, F.A., DeBen, W.A. and Swartz, R.C. 1989. Power-cost efficiency of eight macrobenthic sampling schemes in Puget Sound, Washington, USA. Can. J. Fish. Aquat. Sci. 43 : 2157-2165.
- Ferraro, S.P., Swartz, R.C., Cole, F.A. and Deben, W.A. 1994. Optimum macrobenthic sampling protocol for detecting pollution impacts in the Southern California Bight. Environ. Monit. Assess. 29 : 127-153.
- Gamito, S. and Raffaelli, D. 1992. The sensitivity of several ordination methods to sample replication in benthic surveys. J. Exp. Mar. Biol. Ecol. 164 : 221-232.
- Gee, G.W. and Bauder, J.W. 1986. Particle-size analysis. p. 539-577. In : Methods of Soil Analysis Part 1 : Physical and Mineralogical Methods-Agronomy Monograph no. 9 2nd. Klute, A. (ed.). American Society of Agronomy and Soil Science Society of America, Wisconsin.
- Gray, J. 1981. The Ecology of Marine Sediments. Cambridge : Cambridge University Press.
- Green, R.H. 1980. Comment on optimal survey design. Can. J. Fish. Aquat. Sci. 37 : 288-296.
- Hawthorne, S. D. and Dauer, D. M. 1983. Macrobenthic communities of the Lower Chesapeake Bay. III Southern Branch of the Elezabeth River. Int. Revue ges. Hydrobiol. 68 : 193-205.
- Heltshe, J. F. and Ritchey, T. A. 1984. Spatial pattern detection using quadrat samples. Biometrics. 40 : 877-885.

- Henderson, R.A. and Ross, D.J. 1995. Use of macrobenthic infaunal communities in the monitoring and control of the impact of marine cage fish farming. *Aquaculture Research.* 26 : 659-678.
- Kamnalrat, A., Sopanodora, P. and Chitapong, P. 1994. The present ecosystem and socio-economic activities around the lake. p. 179-186. In : *Ecosystem Dynamics of the Outer Songkhla Lake, Southern Thailand.* Angsupanich, S. and Aruga, Y. (eds.). Nodai Center for International Programs, Tokyo University of Agriculture, Tokyo.
- Kikuchi, T. 1991. Macrobenthic succession in the organically polluted waters and ecological characteristics of some pollution indicator species. (eds. J. Mauchline and T. Nemoto). *Marine Biology Its Accomplishment and Future Prospect.* Hokusensha, Tokyo. pp. 144-163.
- Kjerfve, B. 1986. Comparative oceanography of coastal lagoons. p. 63-81. In: *Estuarine Variability.* Wolf, D. A. (ed.). Florida : Academic Press, Inc.
- Kuwabara, R. and Akimoto, Y. 1986. The offshore environment of Tungkang, Southwest Taiwan II. Macrobenthos. (eds. J.L. Maclean, L.B. Dizon and L.V. Hosillos). *Proceedings of the First Asian Fisheries Forum, Manila, Philippines, 26-31 May 1986.* pp. 193-198.
- Lake Biwa Research Institute and International Lake Environment Committee. 1989. *Data Book of world Lake Environments-A Survey of the State of World Lakes-Vol. II.* International Lake Environment Committee, United Nations Environment Programme, Otsu. Japan.
- Limpadanan, D. 1977. *Lake Songkhla : Status Report for Ecological Impact Evaluation.* Submitted to National Environment Board. Thailand.
- Lindegaard, C. 1994. The role of zoobenthos in energy flow in two shallow lakes. *Hydrobiologia.* 275/276 : 313-322.
- Maneepong, S. 1996. Distribution of heavy metals in sediments from outer part of Songkhla Lagoon, southern Thailand. *Songklanakarin J. Sci. Technol.* 18 : 87-97.
- Maurer, D., Vargas J. and Dean, H. 1988. Polychaetous annelids from the Gulf on Nicoya, Costa Rica. *Int. Revue ges. Hydrobiol.* 73 : 43-59.
- McIntyre, A. D., Elliott, J. M. and Ellis, D.V. 1984. Introduction : Design of sampling programmes. p. 1-26. In : *Methods for the Study of Marine Benthos.* Holme, N. A. and McIntyre, A. D. (eds.). Blackwell Scientific Publications, London.
- Nelson, D.W. and Sommer, L.E. 1982. Organic matter. p. 539-577. In : *Methods of Soil Analysis Part 2 : Chemical and Biological Properties 2nd.* Page, A. L., Miller, R.H. and Keeney, D.R. (eds.). American Society of Agronomy and Soil Science Society of America, Wisconsin.
- Oxley, W. G. 1994. Sampling design and monitoring. p. 299-312. In : *Survey Manual for Tropical Marine Resources.* English, S. A., Wilkinson ,C. and Baker, V. (eds.). Townsville : ASEAN-Australia Marine Science Project.
- Pals G., and Paupert, E. 1979. Oxygen binding properties of the coelomic haemoglobin of the polychaete *Heteromastus filiformis* related with some environmental factors. *Neth. Sea Res.* 13 : 581-92.

- Rakkheaw, S. 1994. Water quality. p. 12-47. In : Ecosystem Dynamics of the Outer Songkhla Lake, Southern Thailand. Angsupanich, S. and Aruga, Y. (eds.). Nodai Center for International Programs, Tokyo University of Agriculture, Tokyo.
- Rodriguez, M. A. and Magnan, P. 1993. Community structure of lacustrine macrobenthos : do taxon-based and size-based approaches yield similar insights? Can. J. Fish. Aquat. Sci. 50 : 800-815.
- Rosenberg, R. 1976. Benthic faunal dynamics during succession following pollution abatement in a Swedish estuary. Oikos. 27 : 414-427.
- Rosenberg, R. 1977. Benthic macrofaunal dynamics, production, and dispersion in an oxygen-deficient estuary of west Sweden. J. Exp. Mar. Biol. Ecol. 26 : 107-133.
- Rosenberg R., Loo L. O. and Moler P. 1992. Hypoxia, salinity and temperature as structuring factors for marine benthic communities in a eutrophic area. Neth. J. Sea Res. 30 : 121-9.
- Sirimontaporn, P., Nitithamyong, C. and Angsupanich, S. 1995. The niche of fish and shellfish in Thale Sap Songkhla, Southern Thailand. J. ISSAAS. 1 : 40-55.
- van Nes, E. H. and Smit, H. 1993. Multivariate analysis of macrozoobenthos in Lake Volkerak-Zoommeer (The Netherlands) : changes in an estuary before and after closure. Arch. Hydrobiol. 127 : 185-203.
- Wu, R. S. S. 1982. Periodic defaunation and recovery in a subtropical epibenthic community in relation to organic pollution. J. Exp. Mar. Biol. Ecol. 64 : 253-269.
- Warwick, R. M. and Clarke, K. R. 1991. A comparison of some methods for analyzing changes in benthic community structure. J. Mar. Biol. Ass. U.K. 71 : 225-244.
- Yakokawa, T. 1984. Report on Aquaculture Ground of Songkhla Lake. National Institute of Coastal Aquaculture, Songkhla, Thailand.